MINISTÉRIO DA EDUCAÇÃO UNIVERSIDADE FEDERAL DO RIO GRANDE PROGRAMA DE PÓS-GRADUAÇÃO EM MODELAGEM COMPUTACIONAL

DESENVOLVIMENTO DE UM MODELO COMPUTACIONAL DE PLACA ENRIJECIDA EMPREGANDO A CONDIÇÃO DE CONTORNO DE SIMETRIA

por

Rodrigo Reis Amaral

Dissertação para obtenção do Título de Mestre em Modelagem Computacional

DESENVOLVIMENTO DE UM MODELO COMPUTACIONAL DE PLACA ENRIJECIDA EMPREGANDO A CONDIÇÃO DE CONTORNO DE SIMETRIA

por

Rodrigo Reis Amaral Engenheiro Civil

Dissertação submetida ao programa de Pós-Graduação em Modelagem Computacional (PPGMC) da Escola de Engenharia da Universidade Federal do Rio Grande (FURG), como parte dos requisitos necessários para a obtenção do Título de Mestre em Modelagem Computacional.

Área de Concentração: Engenharia Marítima

Linha de Pesquisa: Estruturas e Equipamentos Oceânicos

Orientador: Prof. Dr. Liércio André Isoldi

Comissão de Avaliação:

Prof. Dr. Eduardo Costa Couto

UFPEL

Prof. Dr. Mauro de Vasconcellos Real

FURG

Prof. Dr. Paulo Roberto de Freitas Teixeira

FURG

Prof. Dr. Wiliam Correa Marques

Coordenador do Programa de Pós-Graduação em Modelagem Computacional

Rio Grande, 26 de Abril de 2019

Rodrigo Reis Amaral

"Desenvolvimento de um modelo computacional de placa enrijecida empregando a condição de contorno de simetria "

Dissertação apresentada ao Programa de Pós Graduação em Modelagem Computacional da Universidade Federal do Rio Grande - FURG, como requisito parcial para obtenção do Grau de Mestre. Área concentração: Modelagem Computacional.

Aprovado em

BANCA EXAMINADORA

Prof. Dr. Liércio André/Isoldi

Orientador - FURG

Prof. Dr. Mauro de Vasconcellos Real

FURG

Prof. Dr. Eduardo Costa Couto

UFPEL

Prof. Dr. Paulo Roberto de Freitas Teixeira

FURG

AGRADECIMENTOS

Ao Prof. Dr. Liércio André Isoldi pela orientação e incentivo ao longo do desenvolvimento deste trabalho.

À Banca examinadora pela disposição e contribuição para o desenvolvimento do trabalho.

À CAPES – Coordenação de Aperfeiçoamento de Pessoal de Nível Superior – pelo suporte financeiro.

À FURG por ofertar o curso de Mestrado em Modelagem Computacional.

Aos professores do PPGMC pela dedicação e competência.

Aos meus pais, Raul Vieira Amaral e Loreci Reis, pelo apoio, incentivo e suporte durante esta etapa de minha vida.

RESUMO

A solução numérica de sistemas estruturais com emprego de recursos computacionais permite o acesso à previsão do comportamento estrutural de estruturas de aço, destacando a capacidade de prever, conceber e aperfeiçoar sua geometria. Com uma forma muito próxima da realidade, com auxílio da discretização espacial, esta combinação permite constituir um modelo de sólido quase contínuo. Tornando-se, assim, um instrumento valioso e indispensável na pesquisa sobre o comportamento das estruturas por permitir compatibilizar de forma realista os resultados da análise numérica. Nesse contexto, o desenvolvimento de um modelo computacional de placa enrijecida utilizando a condição de contorno de simetria será apresentado. O modelo computacional foi desenvolvido no software ANSYS, baseado no Método dos Elementos Finitos (MEF), e utiliza o elemento finito SHELL281. As simulações que empregam a condição de contorno de simetria demonstram uma diminuição de tempo no processamento computacional sem perda de precisão devida a uma quantidade menor de elementos finitos serem utilizados na obtenção dos valores independentes de malha dos resultados numéricos do deslocamento transversal (deflexão) e tensão de von Mises. Para isso, o modelo computacional com simetria será utilizado em uma avaliação geométrica de placas enrijecidas (estudo de caso). Nesta avaliação, utilizou-se o Método Design Construtal e, em conjunto com a técnica da Busca Exaustiva, determinou-se o melhor comportamento mecânico das placas enrijecidas através da alteração de alguns parâmetros geométricos, de modo que o volume do material não sofresse nenhuma alteração. Para este propósito, foi utilizada uma placa de referência sem enrijecedores em que parte do seu volume de material foi transformada em enrijecedores, através da diminuição da espessura da mesma, mantendo, assim, o valor do comprimento e o da largura como constantes. O objetivo aqui consiste em determinar as configurações geométricas que minimizam a deflexão máxima e a tensão máxima de von Mises das placas enrijecidas através da alteração de parâmetros geométricos característicos. Desse modo, foi possível avaliar a influência dos seguintes graus de liberdade: número de enrijecedores longitudinais, número de enrijecedores transversais e a relação altura de enrijecedor por espessura de enrijecedor. Portanto, foi possível desenvolver e verificar um modelo computacional que utiliza a condição de contorno de simetria para a análise de deflexão e tensão das placas enrijecidas. E, os resultados obtidos demonstraram que ao transformar parte do volume da placa de referência em enrijecedores, ganhos no comportamento mecânico podem ocorrer.

Palavras-chaves: Minimização da deflexão, Minimização da tensão, Avaliação geométrica, Placas com enrijecedores, Enrijecedores.

ABSTRACT

The numerical solution of structural systems using computational resources allows access to the prediction of the structural behavior of steel structures, highlighting the ability to predict, design and improve their geometry. With a form very close to reality, with the aid of spatial discretization, this combination allows to constitute a model of almost continuous solid. Thus, it is a valuable and indispensable instrument in the research on the behavior of the structures, in order to allow realistic matching of the results of the numerical analysis. In this context, the development of a computer model of stiffened plate using the symmetry boundary condition will be presented. The computational model was developed in the ANSYS software, based on the Finite Element Method (FEM), and uses the finite element SHELL281. Simulations employing the symmetry boundary condition demonstrate a decrease in computational processing time without loss of precision due to a smaller amount of finite elements being used to obtain the independent mesh values of the numerical results of the transverse displacement (deflection) and stress of von Mises. For this, the computational model with symmetry will be used in a geometric evaluation of stiffened plates (case study). In this evaluation, the Construtal Design Method was used and, together with the Exhaustive Search Technique, the best mechanical behavior of the stiffened plates was determined by altering some geometric parameters, so that the volume of the material did not change. For this purpose, a reference plate without stiffeners was used in which part of its volume of material was transformed into stiffeners by reducing the thickness thereof, thereby maintaining the length value and the width value as constants. The purpose here is to determine the geometric configurations that minimize the maximum deflection and the maximum von Mises stress of the stiffened plates by changing characteristic geometric parameters. In this way, it was possible to evaluate the influence of the following degrees of freedom: number of longitudinal stiffeners, number of transversal stiffeners and the ratio of stiffener height to stiffener thickness. Thus, it was possible to develop and verify a computational model that uses the boundary condition of symmetry for the analysis of deflection and stress of the stiffened plates. And, the results obtained demonstrated that by transforming part of the volume of the reference plate into stiffeners, gains in mechanical behavior can occur.

Keywords: Minimization of deflection, Minimization of stress, Geometric evaluation, Plates with stiffeners, Stiffeners.

ÍNDICE

| 1. INTRODUÇÃO | 16 |
|--|----|
| 1.1. Estado da arte | 18 |
| 1.2. Objetivos | 22 |
| 1.3. Metodologia | 23 |
| 1.4. Organização da dissertação | 25 |
| 2. TEORIA DE PLACAS | 27 |
| 2.1. Teoria das placas finas e suas equações governantes | 28 |
| 2.1.1. Teoria clássica para placas finas com pequenas deflexões | 28 |
| 2.1.2. Equações Cinéticas | 30 |
| 2.1.3. Equações Cinemáticas, Equações Constitutivas e Equação governante | 31 |
| 2.1.4. Condição de contorno | 34 |
| 2.2. Soluções para equações diferenciais governantes | 37 |
| 2.2.1. Solução de Navier para placas sem enrijecedores com apoio simples | 37 |
| 2.2.2. Placas sem enrijecedores com engaste nas quatro bordas | 39 |
| 2.3. Placas com enrijecedores | 41 |
| 3. MODELAGEM COMPUTACIONAL | 44 |
| 3.1. Método dos elementos finitos | 45 |
| 3.1.1. Introdução | 45 |
| 3.1.2. Elemento SHELL281 e Software ANSYS 18.2 Versão Acadêmica | 49 |
| 4. TEORIA CONSTRUTAL E A TÉCNICA DA BUSCA EXAUSTIVA | 51 |
| 4.1. Aplicação do Método Design Construtal no estudo de caso | 53 |
| 5. RESULTADOS E DISCUSSÕES | 57 |
| 5.1. Verificação do modelo computacional | 57 |
| 5.1.1. Placa retangular com enrijecedores em cruz | 57 |
| 5.1.2. Placa quadrada com dois enrijecedores ortogonais | 59 |
| 5.1.3. Placa com três enrijecedores longitudinais e quatro transversais | 64 |
| 5.1.4. Placa com quatro enrijecedores longitudinais e cinco transversais | 66 |
| 5.2. Teste de convergência de malha | 68 |
| 5.3. Aplicação do modelo computacional com simetria no estudo de caso | 70 |
| 6. CONCLUSÃO | 88 |
| 6.1. Proposta de continuidade | 90 |
| 7. REFERÊNCIAS | 91 |

| APÊNDICE A – Teste de convergência de malha das placas enrijecidas P(Nls, Nts)94 | |
|--|--|
| APÊNDICE B – Resultados numéricos obtidos para cada configuração geométrica103 | |

LISTA DE FIGURAS

| Figura 1.1. – Utilização de placas enrijecidas na construção civil (a) e em estruturas marítimas (l |)); |
|---|-----|
| (Fonte: adaptado de Szilard, 2004) | 16 |
| Figura 1.2. – Processo de análise pelo MEF (Fonte: adaptado de Bathe, 2014) | 17 |
| Figura 1.3 Representação das excentricidades entre as placas e os enrijecedores (Fonte: Silv | /a, |
| 2010) | 21 |
| Figura 2.1. – (a) Placa retangular submetida a um carregamento transversal e (b) Tensões intern | ıas |
| de um elemento infinitesimal de placa (Fonte: adaptado de Szilard, 2004) | 29 |
| Figura 2.2 Esforços externos e internos na superfície média do elemento de placa (Fon- | te: |
| adaptado de Szilard, 2004) | 30 |
| Figura 2.3. – Condições de contorno utilizadas nas placas (Fonte: adaptado de Szilard, 2004) | 35 |
| Figura 2.4. – Placa sem ancoramento nos cantos (Fonte: adaptado de Szilard, 2004) | 37 |
| Figura 2.5. – Placa retangular com apoios simples (Fonte: retirado de Bhaskar e Varadan, 2013) | 37 |
| Figura 2.6. – Placa retangular com engaste e sujeita a um carregamento transversal uniforme (Fon | te: |
| retirado de Timoshenko e Woinowsky-Krieger, 1959) | 40 |
| Figura 2.7. – (a) Placa enrijecida; e, (b) sistema laje-viga (Fonte: adaptado de Szilard, 2004) | 41 |
| Figura 3.1. – Etapas de uma análise por um sistema numérico (Fonte: Maria, 1997) | 45 |
| Figura 3.2. – Processo evolutivo do MEF (Fonte: adaptado de Zienkiewicz e Taylor, 2000) | 47 |
| Figura 3.3. – Elemento finito SHELL281 (Fonte: ANSYS, 2017) | 50 |
| Figura 4.1. – Placa de referência | 53 |
| Figura 4.2. – Placa enrijecida com suas variáveis. | 54 |
| Figura 4.3. – Configurações geométricas geradas pelo Design Construtal (Fonte: Troina, 2017) | 56 |
| Figura 5.1. – Placa com enrijecedores em cruz (Fonte: adaptado de Silva, 2010) | 58 |
| Figura 5.2. – Convergência de malha e verificação para a placa com enrijecedores em cruz | 59 |
| Figura 5.3 Placa quadrada com enrijecedores ortogonais em relação aos eixos x e y (Fon | te: |
| adaptado de Salomon, 2001) | 60 |
| Figura 5.4. – Teste de convergência de malha para o deslocamento máximo para h = 100 mm | 61 |
| Figura $5.5.$ – Teste de convergência de malha para a tensão de flexão dos enrijecedores para $h=1$ | 00 |
| mm | 61 |
| Figura 5.6. – Comparativo dos resultados numéricos de deflexão máxima | 63 |
| Figura 5.7. – Comparativo dos resultados numéricos da tensão de flexão dos enrijecedores | 63 |
| Figura 5.8. – Teste de convergência de malha para a placa com três enrijecedores longitudinais | e |
| quatro transversais com hs/ts = 53,4905 | 65 |

| Figura 5.9 Comparativo dos resultados numéricos da deflexão central da placa com três |
|--|
| enrijecedores longitudinais e quatro transversais em relação à variação do grau de liberdade hs/ts65 |
| Figura 5.10. – Teste de convergência de malha para a placa com quatro enrijecedores longitudinais e |
| cinco transversais com hs/ts = 91,7305 |
| Figura 5.11 Comparativo dos resultados numéricos da deflexão central da placa com quatro |
| enrijecedores longitudinais e cinco transversais em relação à variação hs/ts |
| Figura 5.12 . – Placa com enrijecedores $P(6,6)$ com $hs/ts = 66,3476$: (a) domínio computacional da |
| placa completa, e (b) domínio considerando 1/4 da placa |
| Figura 5.13. – Teste de convergência de malha para: (a) deflexão máxima e (b) tensão de von Mises |
| da placa P(6,6) com hs/ts igual a 66,3476 com simetria |
| Figura 5.14. – Variações da deflexão máxima em função de hs/ts para Nls = 270 |
| Figura 5.15. – Variações da deflexão máxima em função de hs/ts para Nls = 371 |
| Figura 5.16. – Variações da deflexão máxima em função de hs/ts para Nls = 471 |
| Figura 5.17. – Variações da deflexão máxima em função de hs/ts para Nls = 572 |
| Figura 5.18. – Variações da deflexão máxima em função de hs/ts para NIs = 672 |
| Figura 5.19. – Variações da tensão máxima de von Mises em função de hs/ts para Nls = 273 |
| Figura 5.20. – Variações da tensão máxima de von Mises em função de hs/ts para Nls = 373 |
| Figura 5.21. – Variações da tensão máxima de von Mises em função de hs/ts para Nls = 474 |
| Figura 5.22. – Variações da tensão máxima de von Mises em função de hs/ts para Nls = 574 |
| Figura 5.23. – Variações da tensão máxima de von Mises em função de hs/ts para Nls = 675 |
| Figura 5.24. – Variações da deflexão máxima em função de Nts |
| Figura 5.25. – Variações da tensão máxima de von Mises em função de Nts |
| Figura 5.26. – Forma defletida da placa de referência sem enrijecedor a) inteira e b) considerando a |
| condição de contorno de simetria |
| Figura 5.27. – Forma defletida da placa $P(6,2)$ com $hs/ts = 1,3581$ a) inteira e b) considerando a |
| condição de contorno de simetria83 |
| Figura 5.28 . – Forma defletida da placa $P(2,6)$ com $hs/ts = 53,4905$ a) inteira e b) considerando a |
| condição de contorno de simetria |
| Figura 5.29 Distribuição de tensões da placa de referência sem enrijecedor a) inteira e b) |
| considerando a condição de contorno de simetria |
| Figura 5.30. – Distribuição de tensões da placa P(6,3) com hs/ts = 1,2790 a) inteira e b) |
| considerando a condição de contorno de simetria |
| Figura 5.31. – Distribuição de tensões da placa P(2,5) com hs/ts = 59,4087 a) inteira e b) |
| considerando a condição de contorno de simetria |

LISTA DE TABELAS

| Tabela 2.1. Deflexão central e momentos de flexão de uma placa engastada nas quatro b | ordas |
|--|--------|
| (Fonte: retirado de Timoshenko e Woinowsky-Krieger, 1959) | 40 |
| Tabela 3.1. Aplicações do MEF nas áreas de pesquisa das engenharias envolvendo problem | ıas de |
| equilíbrio (adaptado de RAO, 2011). | 46 |
| Tabela 5.1. Tamanho do elemento simulado para a placa completa e a placa com simetria | 62 |
| Tabela 5.3. Tamanho do elemento finito SHELL281 utilizado em cada P(Nls, Nts) | 76 |
| Tabela 5.4. Melhores configurações geométricas que minimizaram as deflexões e as tensões | 78 |
| Tabela A.1. Teste de convergência de malha para a configuração geométrica P(2,2) | 94 |
| Tabela A.2. Teste de convergência de malha para a configuração geométrica P(2,3) | 94 |
| Tabela A.3. Teste de convergência de malha para a configuração geométrica P(2,4) | 94 |
| Tabela A.4. Teste de convergência de malha para a configuração geométrica P(2,5) | 95 |
| Tabela A.5. Teste de convergência de malha para a configuração geométrica P(2,6) | 95 |
| Tabela A.6. Teste de convergência de malha para a configuração geométrica P(3,2) | 95 |
| Tabela A.7. Teste de convergência de malha para a configuração geométrica P(3,3) | 96 |
| Tabela A.8. Teste de convergência de malha para a configuração geométrica P(3,4) | 96 |
| Tabela A.9. Teste de convergência de malha para a configuração geométrica P(3,5) | 96 |
| Tabela A.10. Teste de convergência de malha para a configuração geométrica P(3,6) | 97 |
| Tabela A.11. Teste de convergência de malha para a configuração geométrica P(4,2) | 97 |
| Tabela A.12. Teste de convergência de malha para a configuração geométrica P(4,3) | 97 |
| Tabela A.13. Teste de convergência de malha para a configuração geométrica P(4,4) | 98 |
| Tabela A.14. Teste de convergência de malha para a configuração geométrica P(4,5) | 98 |
| Tabela A.15. Teste de convergência de malha para a configuração geométrica P(4,6) | 98 |
| Tabela A.16. Teste de convergência de malha para a configuração geométrica P(5,2) | 99 |
| Tabela A.17. Teste de convergência de malha para a configuração geométrica P(5,3) | 99 |
| Tabela A.18. Teste de convergência de malha para a configuração geométrica P(5,4) | 99 |
| Tabela A.19. Teste de convergência de malha para a configuração geométrica P(5,5) | 100 |
| Tabela A.20. Teste de convergência de malha para a configuração geométrica P(5,6) | 100 |
| Tabela A.21. Teste de convergência de malha para a configuração geométrica P(6,2) | 100 |
| Tabela A.22. Teste de convergência de malha para a configuração geométrica P(6,3) | 101 |
| Tabela A.23. Teste de convergência de malha para a configuração geométrica P(6,4) | 101 |
| Tabela A.24. Teste de convergência de malha para a configuração geométrica P(6,5) | 101 |
| Tabela A.25. Teste de convergência de malha para a configuração geométrica P(6,6) | 102 |

| Tabela B.1. Resultados numéricos para a placa P(2,2) com simetria. | 103 |
|---|-----|
| Tabela B.2. Resultados numéricos para a placa P(2,3) com simetria. | 103 |
| Tabela B.3. Resultados numéricos para a placa P(2,4) com simetria. | 104 |
| Tabela B.4. Resultados numéricos para a placa P(2,5) com simetria. | 104 |
| Tabela B.5. Resultados numéricos para a placa P(2,6) com simetria. | 105 |
| Tabela B.6. Resultados numéricos para a placa P(3,2) com simetria. | 105 |
| Tabela B.7. Resultados numéricos para a placa P(3,3) com simetria. | 106 |
| Tabela B.8. Resultados numéricos para a placa P(3,4) com simetria. | 106 |
| Tabela B.9. Resultados numéricos para a placa P(3,5) com simetria. | 107 |
| Tabela B.10. Resultados numéricos para a placa P(3,6) com simetria. | 107 |
| Tabela B.11. Resultados numéricos para a placa P(4,2) com simetria. | 108 |
| Tabela B.12. Resultados numéricos para a placa P(4,3) com simetria. | 108 |
| Tabela B.13. Resultados numéricos para a placa P(4,4) com simetria. | 109 |
| Tabela B.14. Resultados numéricos para a placa P(4,5) com simetria. | 109 |
| Tabela B.15. Resultados numéricos para a placa P(4,6) com simetria. | 110 |
| Tabela B.16. Resultados numéricos para a placa P(5,2) com simetria. | 110 |
| Tabela B.17. Resultados numéricos para a placa P(5,3) com simetria. | 111 |
| Tabela B.18. Resultados numéricos para a placa P(5,4) com simetria. | 111 |
| Tabela B.19. Resultados numéricos para a placa P(5,5) com simetria. | 112 |
| Tabela B.20. Resultados numéricos para a placa P(5,6) com simetria. | 112 |
| Tabela B.21. Resultados numéricos para a placa P(6,2) com simetria. | 113 |
| Tabela B.22. Resultados numéricos para a placa P(6,3) com simetria. | |
| Tabela B.23. Resultados numéricos para a placa P(6,4) com simetria. | 114 |
| Tabela B.24. Resultados numéricos para a placa P(6,5) com simetria. | 114 |
| Tabela B.25. Resultados numéricos para a placa P(6,6) com simetria. | 115 |

LISTA DE SÍMBOLOS

| а | Comprimento da placa [m] |
|-------------------|--|
| b | Largura [m] |
| В | Rigidez à torção efetiva da placa [N.m] |
| D | Rigidez à flexão da placa [N.m] |
| D_{x} | Rigidez à flexão da placa na direção x [N.m] |
| $D_{\mathcal{Y}}$ | Rigidez à flexão da placa na direção y [N.m] |
| D_t | Rigidez a torção da placa [N.m] |
| Ε | Módulo de elasticidade longitudinal (módulo de Young) [Pa] |
| E_{x} | Módulo de elasticidade longitudinal na direção x [Pa] |
| $E_{\mathcal{Y}}$ | Módulo de elasticidade longitudinal na direção y [Pa] |
| G | Módulo de elasticidade transversal [Pa] |
| G_{xy} | Módulo de cisalhamento [Pa] |
| h_s | Altura do enrijecedor [m] |
| M_{χ} | Momento fletor em x [N.m] |
| m_{x} | Momento fletor por unidade de comprimento em x [N.m/m] |
| M_y | Momento fletor em y [N.m] |
| m_y | Momento fletor por unidade de comprimento em y [N.m/m] |
| M_{xy} | Momento de torção que atua no plano ortogonal ao eixo x [N.m] |
| n_{xy} | Momento de torção distribuído que atua no plano ortogonal ao eixo x [N.m/m |
| M_{yx} | Momento de torção que atua no plano ortogonal ao eixo y [N.m] |
| n_{xy} | Momento de torção distribuído que atua no plano ortogonal ao eixo y [N.m/m |
| N_{ls} | Número de enrijecedores longitudinais [un.] |
| N_{ts} | Número de enrijecedores transversais [un.] |
| n | Carga distribuída aplicada à placa na direção x [N/m²] |

| p_{y} | Carga distribuída aplicada à placa na direção y [N/m²] |
|-------------------|---|
| p_z | Carga distribuída aplicada à placa na direção z [N/m²] |
| Q_x | Força de cisalhamento transversal em x [N] |
| q_x | Força de cisalhamento transversal por unidade de comprimento em x [N/m] |
| $Q_{\mathcal{Y}}$ | Força de cisalhamento transversal em y [N] |
| q_y | Força de cisalhamento transversal por unidade de comprimento em y [N/m] |
| S_{ls} | Espaçamento entre os enrijecedores longitudinais [m] |
| S_{ts} | Espaçamento entre os enrijecedores transversais [m] |
| t | Espessura da placa sem enrijecedores [m] |
| t_p | Espessura da placa com enrijecedores [m] |
| t_s | Espessura dos enrijecedores [m] |
| и | Componente de deslocamento na direção x [m] |
| v | Componente de deslocamento na direção y [m] |
| V | Volume genérico de um corpo sólido [m³] |
| V_{s} | Volume de material dos enrijecedores [m³] |
| V_r | Volume total da placa de referência [m³] |
| W | Componente de deslocamento na direção z [m] |
| x | Coordenada em x do sistema cartesiano |
| у | Coordenada em y do sistema cartesiano |
| Z | Coordenada em z do sistema cartesiano |

Símbolos gregos

| ϕ | Fração volumétrica |
|-------------------|--|
| γ_{xy} | Deformação por cisalhamento |
| ε_{x} | Deformação normal na direção do eixo x |
| $arepsilon_y$ | Deformação normal na direção do eixo y |

| $\sigma_{\!\scriptscriptstyle \chi}$ | Tensão normal na direção do eixo x [Pa] |
|--------------------------------------|---|
| σ_y | Tensão normal na direção do eixo y [Pa] |
| σ_z | Tensão normal na direção do eixo z [Pa] |
| τ | Tensão de cisalhamento [Pa] |
| $	au_{xy}$ | Tensão de cisalhamento no plano ortogonal ao eixo x na direção y [Pa] |
| $	au_{yx}$ | Tensão de cisalhamento no plano ortogonal ao eixo y na direção x [Pa] |
| $	au_{\chi_Z}$ | Tensão de cisalhamento no plano ortogonal ao eixo x na direção z [Pa] |
| $	au_{zx}$ | Tensão de cisalhamento no plano ortogonal ao eixo z na direção x [Pa] |
| $	au_{yz}$ | Tensão de cisalhamento no plano ortogonal ao eixo y na direção z [Pa] |
| $	au_{zy}$ | Tensão de cisalhamento no plano ortogonal ao eixo z na direção y [Pa] |
| v | Coeficiente de Poisson |
| v_x | Coeficiente de Poisson na direção x |
| v_y | Coeficiente de Poisson na direção y |

1. INTRODUÇÃO

As placas ou painéis são componentes estruturais que utilizam, principalmente, o aço como material para fabricação destas estruturas em razão de sua alta resistência nos diversos estados de tensão (tração, compressão e flexão). O emprego desta estrutura pode ocorrer na construção civil (Fig. 1.1 – a), no reparo ou na elaboração de estruturas navais (Fig. 1.1 – b), estruturas aeroespaciais e estruturas automobilísticas. Com relação à rigidez, ela pode ser aumentada através da soldagem de enrijecedores transversal e/ou longitudinalmente em uma de suas faces (Bellei, 1998; Bhaskar e Varadan, 2013).

A sua análise pode ser feita através de uma aproximação distribuída ou discreta, conforme aponta Kolli e Chandrashekhara (1996). Entende-se que a aproximação distribuída representa as propriedades do enrijecedor sobre a área da placa e sua utilização só ocorre em situações que não há grandes espaçamentos entre os enrijecedores; enquanto que a aproximação discreta trata o sistema como proposto, tornando a análise mais precisa.

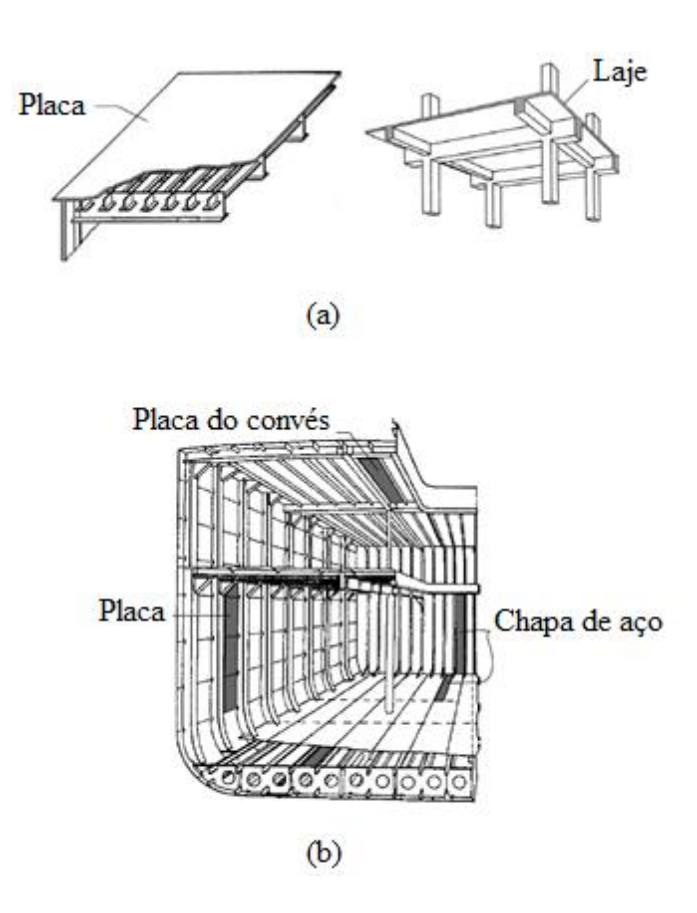


Figura 1.1. – Utilização de placas enrijecidas na construção civil (a) e em estruturas marítimas (b); (Fonte: adaptado de Szilard, 2004)

Previamente à análise, deve-se escolher um modelo matemático de um problema físico em que é determinada a geometria que irá ser modelada, o tipo de força aplicada, as propriedades do material, as condições de vinculação, as equações que irão discretizar o sistema e os parâmetros de solução. Para isto, a Fig. 1.2 expõe o processo de análise pelo Método dos Elementos Finitos (MEF) e Liu e Quek (2003) distinguem algumas características que podem ser abordadas quando se estiver trabalhando com placas, tais como:

- Força: estática, em que as estruturas estão sujeitas a um carregamento em repouso; e dinâmica, no qual a tensão, a deformação e o deslocamento variam ao longo do tempo.
- ii. Material: elástico, devido à capacidade da deformação desaparecer quando a estrutura for descarregada, ou seja, voltando à sua forma inicial; plástico sendo mantido seu estado deformado após o seu descarregamento; anisotrópico, o que significa que as propriedades do material variam quando há mudança de direção; e, isotrópico, em que não há uma dependência das propriedades do material com a direção.

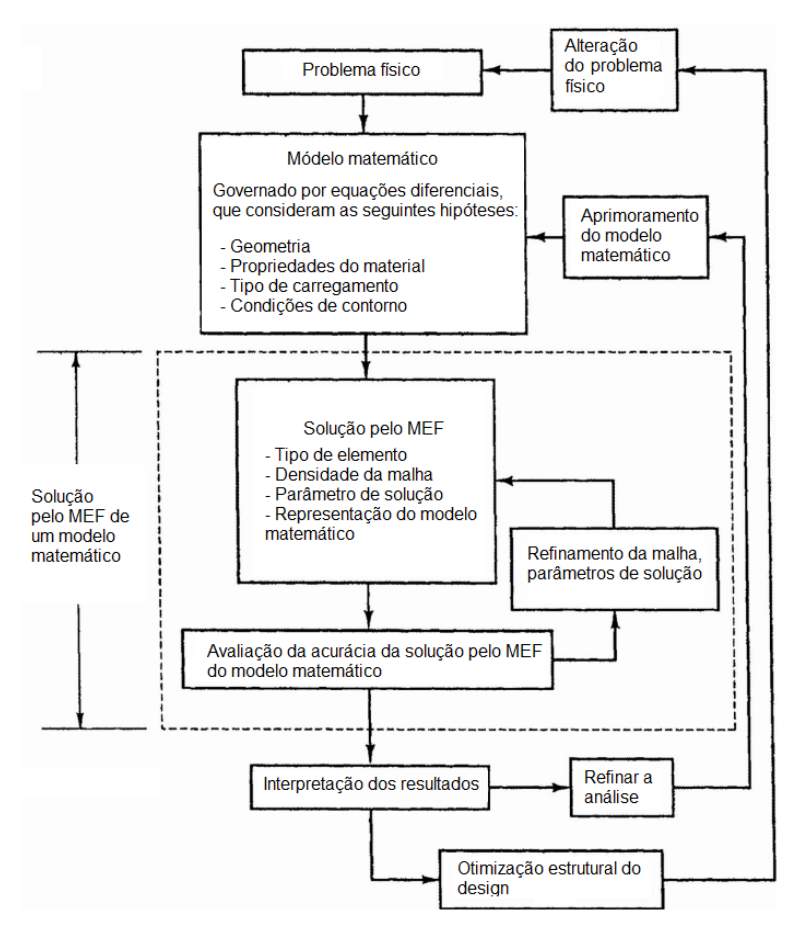


Figura 1.2. – Processo de análise pelo MEF (Fonte: adaptado de Bathe, 2014)

Portanto, um dos principais objetivos de uma modelagem numérica baseado no MEF de estruturas de aço consiste em, depois de devidamente verificadas e/ou validadas, expandir o banco de dados referente a um determinado comportamento estrutural. A expansão é feita por meio de uma análise paramétrica, que possibilita a redução do tempo e custo da solução quando comparados com ensaios de laboratório convencionais (experimentos). Apesar disso, alguns cuidados devem ser tomados na especificação do escopo dessas análises, pois se elas foram calibradas para uma dada faixa de variação de suas principais variáveis controladoras, análises paramétricas fora destes limites serão sempre questionadas e muitas vezes invalidadas (Vellasco et al., 2014).

1.1. Estado da arte

Os engenheiros estruturais vem há muito tempo buscando a concepção de estruturas mais esbeltas que resistam a elevados carregamentos. De modo que, com o desenvolvimento de novos materiais e processos computacionais mais rápidos, uma nova fronteira foi aberta para a concepção e o desenvolvimento de ferramentas, técnicas, métodos e sistemas numéricos que atendessem essa necessidade (Vellasco et al., 2014).

Dentre as pesquisas que envolvam o comportamento mecânico das placas enrijecidas, pode-se citar Rossow e Ibrahimkhail (1978) por desenvolver uma análise de placas enrijecidas concêntricas e excêntricas através da utilização do Método da Restrição em conjunto com o MEF. O Método da Restrição é baseado no teorema da mínima energia potencial e pode ser compreendido matematicamente como a minimização da energia potencial das estruturas elásticas sujeitas a uma variedade de restrições. Os problemas abordados foram solucionados numericamente pelos programas NASTRAN (para os casos das placas excêntricas) e STRUDL (para os casos das placas concêntricas). Os resultados numéricos, obtidos pelos modelos computacionais baseados em elementos triangulares, demonstraram que a discretização de um domínio computacional em elementos com alta ordem polinomial apresentam um número menor de elementos e uma boa acurácia quando comparados a elementos com ordem polinomial menor.

O'Leary e Harari (1985) desenvolveram um procedimento baseado no MEF para a modelagem de placas finas reforçadas com enrijecedores mais espessos e amplamente espaçados. O estudo considerou o acoplamento entre a placa e o enrijecedor (restrição) através da utilização dos multiplicadores Lagrangeanos. Em geral, este método converte problemas com uma ou mais restrições em problemas sem nenhuma restrição através da inserção de um novo parâmetro (λ). Os resultados foram gerados no programa SAPIV e obtidos pela utilização de elementos de viga bidimensionais.

Bedair (1997) apresentou uma nova metodologia para análise de placas enrijecidas sujeitas a um carregamento transversal. O estudo tratou o sistema placa-enrijecedor conectados de forma rígida em suas junções e a energia de deformação desta estrutura foi obtida a partir de termos de funções generalizadas de deslocamentos dentro e fora do plano. Os resultados numéricos da deflexão sofrida pelas placas utilizadas pelo autor foram obtidos a partir de uma combinação do método de energia e o método da Programação Sequencial Quadrática (SQP).

Sapountzakis e Katsikadelis (2000) apresentaram uma análise de placas enrijecidas que considera as forças e as deformações no plano da placa assim como os esforços e deformações axiais presentes nos enrijecedores. Também, o estudo possibilitou avaliar os esforços existentes na interface localizada entre a placa e os enrijecedores. A solução desta pesquisa foi obtida através da aplicação do Método da Equação Análoga e os resultados gerados, em relação aos demais trabalhos utilizados como referência, demonstraram certa discrepância em virtude dos esforços que foram considerados em sua análise.

Salomon (2001) analisou e propôs diversas formas de como modelar placas enrijecidas através de modelos computacionais baseados no MEF. Os modelos, elaborados e solucionados no software ADINA, foram baseados em elementos de viga Hermitiano, elementos de viga isoparamétrico e elementos de casca. Dentre estes modelos, duas modificações foram propostas. A primeira alterou a excentricidade dos enrijecedores do elemento Hermitiano devido à deflexão ocorrer em torno da superfície média da placa, e não sobre o eixo neutro da seção transversal. Já, a segunda modificação, tratou a placa e o enrijecedor como uma única estrutura por causa da sobreposição de superfícies que ocorria entre a placa e o enrijecedor quando utilizando apenas elementos de casca. Além disso, duas abordagens foram apresentadas envolvendo os elementos de casca: a primeira considera o acréscimo de meia espessura de placa na altura dos enrijecedores (elemento de casca rígido); e, a segunda, faz com que o enrijecedor chegue até a metade da placa, causando sobreposição de estrutura e perda de resistência (elemento de casca flexível). O estudo comprovou que todas as modificações dos modelos computacionais propostas apresentam boa concordância de resultados com o modelo computacional 3D utilizado como referência.

Banai e Pedatzur (2006) desenvolveram um algoritmo de um modelo ortotrópico de placa enrijecida para estimar a deflexão máxima ocasionada por uma carga transversal uniformemente distribuída. O modelo computacional foi baseado numa série de artigos publicado por Schade (1940, 1941, e 1951). Estes artigos geraram um novo método composto por gráficos e equações que, quando seguido um determinado número de etapas, possibilita determinar a deflexão gerada no centro da placa. Ainda, a linguagem de programação utilizada foi a *Visual Basic.NET* e o software

utilizado para obter os resultados foi o ADINA.

Sapountzakis e Mokos (2008) apresentaram uma solução geral para placas enrijecidas em sua configuração deformada. A análise deste modelo considerou a distribuição não linear da força de cisalhamento transversal da interface entre a placa e o enrijecedor; tal como a torção não uniforme dos enrijecedores. Os resultados de deflexão presentes neste trabalho foram gerados a partir do emprego do Método da Equação Análoga e por métodos numéricos iterativos.

Orozco (2009) realizou uma comparação entre duas metodologias, Método da Chapa Ortotrópica e MEF, de placas enrijecidas submetidas a uma carga transversal. As placas utilizadas apresentaram diferentes espaçamentos e uma variação da inércia dos enrijecedores quando utilizando engaste ou apoio simples em suas bordas. As análises obtidas possibilitaram determinar o comportamento das curvas do parâmetro adimensional das tensões e das deflexões. Os resultados demonstraram que as curvas derivadas da metodologia analítica fornecem bons resultados para as deflexões e para as tensões transversais dos enrijecedores quando analisado o centro da placa. Em relação às tensões longitudinais e transversais, os valores obtidos pela metodologia analítica demonstraram uma piora em relação aos resultados numéricos obtidos pelo MEF.

Silva (2010) determinou a influência da excentricidade no comportamento estrutural em placas com enrijecedores através da utilização de modelos computacionais desenvolvidos no software ANSYS, conforme pode ser observado na Fig. 1.3. As simulações utilizaram os elementos BEAM4 e BEAM44 na modelagem dos enrijecedores; e o elemento SHELL63 para a modelagem das placas. O estudo demonstrou que os modelos excêntricos apresentam esforços axiais maiores do que os concêntricos, e, desconsiderar a excentricidade, na ligação placa-enrijecedor pode causar a superestimação dos resultados dos deslocamentos e das tensões.

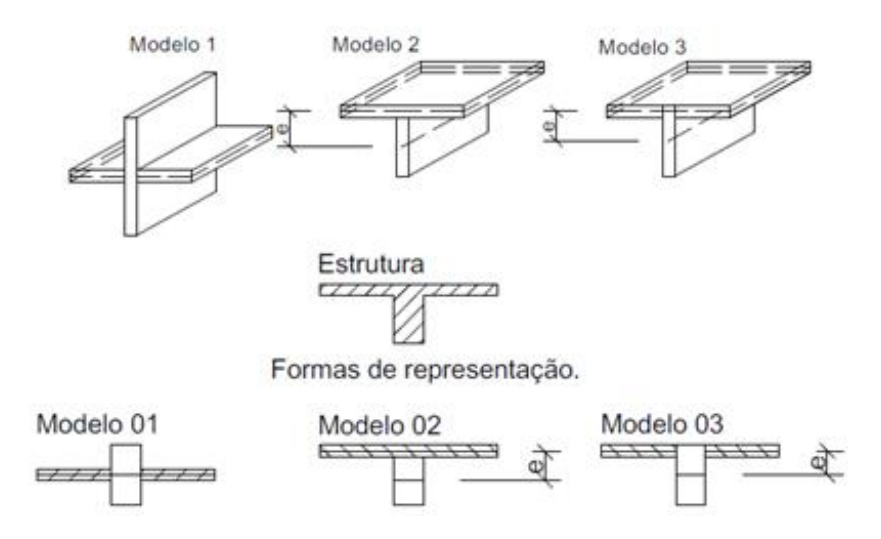


Figura 1.3. – Representação das excentricidades entre as placas e os enrijecedores (Fonte: Silva, 2010)

Sapountzakis e Dikaros (2012) apresentam uma solução geral para a análise não linear de placas enrijecidas com seção transversal duplamente simétrica. O modelo proposto, baseado no Método da Equação Análoga, trata os enrijecedores de forma isolada da placa através de seções fictícias que se encontram nesta interface. O objetivo destas seções consiste em captar os esforços cisalhantes longitudinais e transversais presentes entre a placa e os enrijecedores. Além disso, os resultados numéricos de deflexão demonstrado neste trabalho utilizam a linguagem FORTRAN.

Bhaskar e Pydah (2014) apresentam uma solução elástica analítica para placas enrijecidas. A placa é modelada como um sólido 3D e os enrijecedores são tratados como um problema de tensão plana. O motivo disto é para considerar a deformação causada pela força cisalhante e a inércia rotacional. Os resultados apresentados quantificaram a contribuição individual da placa e dos enrijecedores na deformação total da estrutura, por meio da variação geométrica e das propriedades do material.

Pydah e Bhaskar (2015) apresentam uma nova abordagem analítica e um estudo paramétrico para problemas estáticos e dinâmicos de placas com um enrijecedor descentralizado. Esta abordagem considera a flexão lateral e a torção dos enrijecedores através da Teoria Clássica de Euler-Bernoulli e pela Teoria de torção de Saint Venant, respectivamente. Os resultados obtidos demonstraram que as cinemáticas do enrijecedor não necessitam da utilização de modelos tridimensionais para a obtenção de resultados com boa precisão.

Troina (2017) apresentou uma otimização geométrica pelo Método do Design Construtal, via Busca Exaustiva, de modelos computacionais de placas enrijecidas submetidas a carregamentos

transversais desenvolvidas no software ANSYS. Os modelos computacionais foram baseados nos elementos finitos bidimensionais SHELL93 e tridimensionais SOLID95. O estudo avaliou a influência da altura de enrijecedor por espessura de enrijecedor h_s/t_s e do parâmetro da fração de volume de material transformada em enrijecedor ϕ . A pesquisa determinou que a redistribuição do material empregado na construção de placas enrijecidas possibilita uma melhora significativa na rigidez estrutural.

1.2. Objetivos

O objetivo geral desta dissertação será realizar uma análise numérica pelo software ANSYS 18.2 (versão acadêmica), que é baseado no MEF, de um modelo computacional para placas finas isotrópicas com enrijecedores submetidas a um carregamento transversal uniformemente distribuído, de modo que seja considerada a condição de contorno de simetria.

Os objetivos específicos, no desígnio da realização do objetivo geral, serão:

- a) Determinar o número de elementos finitos necessários para a estabilização de um teste de convergência de malha que atenda a acurácia necessária para a análise de deflexão e análise da tensão de von Mises do modelo computacional que utiliza a condição de contorno de simetria.
- b) Desenvolver modelos de placas enrijecidas baseadas no elemento finito de casca SHELL281. Nestes modelos, na etapa da verificação, haverá um comparativo da placa completa com o seu equivalente de 1/4 de placa com condição de contorno de simetria.
- c) Realizar alterações nos parâmetros geométricos da placa enrijecida, através da aplicação do Método Design Construtal, no intuito de minimizar a deflexão máxima e a tensão máxima de von Mises dos modelos computacionais de placas que utilizam a condição de contorno de simetria.
- d) Avaliar a influência do número de enrijecedores longitudinais e transversais na minimização das deflexões máximas e das tensões máximas de von Mises sofridas pela placa com a condição de contorno de simetria.
- e) Avaliar a influência da relação entre altura e a espessura dos enrijecedores quanto à minimização das deflexões e das tensões sofridas pela placa enrijecida com a condição de contorno de simetria.
- f) Analisar a influência estrutural da transformação de 30% do volume da placa em enrijecedores quanto à minimização da deflexão e da tensão de von Mises.

1.3. Metodologia

O presente trabalho apresenta o desenvolvimento de um modelo computacional de placas enrijecidas empregando a condição de contorno de simetria. O modelo computacional foi desenvolvido no software ANSYS, baseado no MEF, empregando o elemento finito de casca SHELL281. Além disso, empregando o Método Design Construtal, este modelo com simetria foi aplicado em uma avaliação geométrica de placas enrijecidas submetidas a um carregamento transversal uniformemente distribuído (estudo de caso).

Inicialmente, foi desenvolvido um teste de convergência de malha no intuito de determinar a partir de que ponto o número de elementos finitos deixa de influenciar nos resultados numéricos obtidos para a análise de deflexão e tensão de von Mises. Para isto, foi desenvolvido um teste com a placa enrijecida com maior complexidade geométrica considerada nesta dissertação, ou seja, a placa com 6 enrijecedores longitudinais e 6 transversais P(6,6) e com $h_s/t_s = 66,3476$. Além disso, foi considerada a condição de vinculação de engaste nas quatro bordas da placa e aplicada à condição de contorno de simetria, possibilitando que as simulações utilizassem apenas 1/4 de placa no domínio computacional. Neste teste foi constatada uma independência de malha para a análise da deflexão; mas, para a análise da tensão de von Mises os resultados obtidos indicaram a necessidade da utilização de malhas mais refinadas devido a não ocorrência de sua estabilização. No entanto, a versão acadêmica do ANSYS limita as simulações a um uso máximo de 32.000 nós por simulação, impossibilitando que fosse atingida essa independência. Consequentemente, outros testes de convergência de malha foram realizados para as demais geometrias $P(N_{ls}, N_{ts})$, onde são variados os seguintes graus de liberdade: número de enrijecedores longitudinais $N_{ls}=2,3,4,5,6$ e número de enrijecedores transversais $N_{ts} = 2, 3, 4, 5, 6$. O motivo é devido à incerteza da discrepância dos resultados numéricos obtidos na análise da tensão de von Mises. Nestes testes, optou-se em escolher sempre o menor tamanho de elemento possível.

Após, quatro casos de placas enrijecidas foram utilizados para compor o processo de verificação. Para isto, foram simuladas as seguintes placas: i) placa retangular com enrijecedores em cruz (baseada nos dados geométricos de Rossowt e Ibrahimkhail (1978) e utilizada por Silva (2010) e Troina (2017) nos seus respectivos processos de verificação dos seus modelos computacionais); ii) placa quadrada com 2 enrijecedores ortogonais (foi comparado o modelo computacional baseado no elemento finito SHELL281 com os modelos numéricos utilizados por Salomon (2001)); iii) placa com 3 enrijecedores longitudinais e 4 enrijecedores transversais (foi feito um comparativo entre os modelos numéricos baseado nos elementos finitos SHELL281 em relação ao modelo SOLID95 utilizado por Troina (2017)); e iv) placa com 4 enrijecedores

longitudinais e 5 enrijecedores transversais (foi feito um comparativo entre o modelo numérico SHELL281 em relação ao modelo SOLID95 utilizado por Troina (2017)).

Para os casos em que há a utilização da condição de contorno de apoio simples, nestes a verificação foi dividida em dois momentos. No primeiro, onde é apenas verificada a deflexão da placa, o problema foi tratado conforme os outros autores dispuseram, ou seja, sem alteração na geometria, nas propriedades dos materiais, nas condições de vinculação e na carga aplicada. Em seguida, ocorre à substituição da condição de contorno de apoio simples para engaste nas quatro bordas. Nesta etapa, será feito uma comparação dos resultados numéricos de deflexão e tensão de von Mises entre a placa completa com seu equivalente de 1/4 de placa com simetria. Ainda, foi averiguado se o local por onde passa a simetria pode ou não influenciar no resultado (cortando nenhum enrijecedor, apenas um enrijecedor no sentido longitudinal, apenas um enrijecedor no sentido transversal, cortando um enrijecedor no sentido longitudinal e outro no sentido transversal).

Por fim, há a utilização do Método Design Construtal em conjunto com a técnica da Busca Exaustiva com o propósito definir o espaço de busca através da alteração dos parâmetros geométricos, de modo que o volume do material não sofra nenhuma alteração. Para isto, adotou-se uma placa não enrijecida como referência, de comprimento a, largura b e espessura t onde uma fração de seu volume de material ϕ é transformada em enrijecedor a partir da diminuição de sua espessura, mantendo o comprimento e a largura com valores constantes. Consequentemente, todas as geometrias analisadas possuem a mesma quantidade de material, possibilitando uma avaliação comparativa do desempenho estrutural dessas placas.

A análise envolveu placas formadas por 25 combinações de enrijecedores longitudinais e transversais, obedecendo ao formato $P(N_{ls}, N_{ts})$, variando os seguintes graus de liberdade: $N_{ls} = 2$, 3, 4, 5, 6 e $N_{ts} = 2$, 3, 4, 5, 6. Em vista disto, foram analisadas as seguintes placas: P(2,2), P(2,3), P(2,4), P(2,5), P(2,6), P(3,2), P(3,3), P(3,4), P(3,5), P(3,6), P(4,2), P(4,3), P(4,4), P(4,5), P(4,6), P(5,2), P(5,3), P(5,4), P(5,5), P(5,6), P(6,2), P(6,3), P(6,4), P(6,5) e P(6,6). Sobre os enrijecedores, eles apresentam uma seção transversal retangular, espaçamentos longitudinais S_{ls} e espaçamentos transversais S_{ts} equidistantes; e, foram adotados valores comerciais de espessuras de placas de aço. Além disso, são impostas duas restrições geométricas: a altura dos enrijecedores não pode ser maior do que 0,3 m, no intuito de evitar desproporções geométricas entre a altura do enrijecedor e as dimensões laterais da placa; e a relação h_s/t_s deve ser maior do que 1 para evitar que a espessura do enrijecedor seja maior que sua altura, motivo este que descaracterizaria o enrijecedor que deve possuir altura maior do que sua espessura.

Então, o estudo de caso foi simulado numericamente de modo que foi empregado o modelo

computacional utilizando a condição de contorno de simetria. Após a simulação das 25 configurações geométricas de placas com enrijecedores, houve a elaboração de gráficos de dispersão de pontos com valores das deflexões máximas e tensões máximas de von Mises para cada combinação gerada $P(N_{ls}, N_{ts})$ em função do grau de liberdade h_s/t_s . Também, foi simulada numericamente a placa de referência sem enrijecedor, considerando a condição de contorno de simetria, e com engaste nas quatro bordas no intuito de compará-la com as demais placas enrijecidas. Ainda, uma avaliação qualitativa da forma defletida e da distribuição das tensões foi realizada dos resultados obtidos com o modelo computacional que emprega a condição de contorno de simetria em relação ao modelo que considera a placa inteira. Para isso, foi comparada a placa enrijecida P(2,6) com $h_s/t_s = 53,4905$ (melhor configuração geométrica defletida) em relação à placa P(6,2) com $h_s/t_s = 1,3581$ (pior configuração geométrica defletida), a placa P(2,5) com $h_s/t_s = 59,4087$ (melhor minimização da tensão de von Mises) em relação à placa P(6,3) com $h_s/t_s = 1,2790$ (pior minimização da tensão de von Mises) e foi considerada a placa de referência para ambas as avaliações.

1.4. Organização da dissertação

No Capítulo 1, uma introdução abrangendo todo o conteúdo abordado na realização da dissertação foi apresentada, bem como um levantamento da literatura científica existente (estado da arte) sobre o conteúdo em estudo, os objetivos referentes à pesquisa e a metodologia empregada são também apresentados.

No Capítulo 2 são apresentadas soluções analíticas empregadas para os problemas de placas (Teoria das Placas Finas de Kirchhoff), mostrando em alguns casos as possíveis soluções analíticas propostas na literatura obtidas através de simplificações e aproximações.

No Capítulo 3 é feita uma descrição do processo de Modelagem Computacional, bem como a aplicação do Método dos Elementos Finitos no software ANSYS 18.2 versão acadêmica e do modelo computacional baseado no elemento finito SHELL281.

No Capítulo 4, é apresentada a Teoria Construtal, método que foi aplicado para definir as diferentes configurações geométricas de placas com enrijecedores que foram simuladas numericamente para obtenção dos resultados de deflexão e tensão desta pesquisa.

No Capítulo 5, são apresentados as verificações, os testes de convergência de malha e os resultados numéricos obtidos pelas simulações realizadas no software ANSYS. Neste capítulo, é avaliado o efeito da variação dos graus de liberdade N_{ls} , N_{ts} e h_s/t_s e da transformação da fração de seu volume de material $\phi = 0.30$ na magnitude das deflexões e tensões que surgem nas placas

enrijecidas quando sujeitas a carregamentos transversais uniformemente distribuídos.

No Capítulo 6, são apresentadas as conclusões do estudo e sugestões para futuros trabalhos.

Também, constam a lista de referências bibliográficas (Capítulo 7) e os Apêndices (A – Teste de convergência de malha das placas enrijecidas $P(N_{ls}, N_{ts})$ e B – Resultados numéricos obtidos para cada configuração geométrica) referentes à dissertação.

2. TEORIA DE PLACAS

As placas são elementos estruturais planos, tridimensionais e, geralmente, finas, que podem estar sujeitas a carregamentos que lhe provoquem deflexão. A maioria dos casos apresenta a dimensão da espessura tão pequena, a ponto de que a análise dos deslocamentos, deformações e das tensões possa ser reduzida a um problema bidimensional. Logo, a melhor forma para realizar está análise, por meios analíticos, será através da Teoria das Placas Finas de Kirchhoff (Bhaskar e Varadan, 2013).

Segundo Ventsel e Krauthammer (2001), o estudo por esta teoria é uma importante aplicação da teoria da elasticidade por tratar das relações de forças, deslocamentos, tensões e deformações em um corpo elástico. A deformação depende da configuração geométrica do corpo, da carga aplicada e das propriedades mecânicas de seu material. A teoria da elasticidade assume que o material é homogêneo e isotrópico, ou seja, suas propriedades mecânicas são as mesmas em todas as direções e em todos os pontos.

As propriedades de flexão da placa dependem mais de sua espessura do que das demais dimensões. De acordo com Ventsel e Krauthammer (2001), estes elementos estruturais podem ser classificados em três grupos de acordo com a relação criada entre a/t, onde a é o comprimento ou a largura da placa, enquanto que t representa a espessura da placa. Então, têm-se os seguintes intervalos:

- a) $a/t \le 10$: são classificadas como placa espessa e a análise inclui todas as componentes de tensão, deformação e deslocamento.
- b) a/t ≥ 80: são classificadas como membranas e são desprovidos da rigidez de flexão.
 As membranas transportam as cargas laterais por forças de tração axiais (e forças cisalhantes) agindo na superfície média da placa.
- c) 10 < a/t < 80: são classificadas como placas finas e, dependendo da relação da deflexão máxima pela espessura w/t, a parte da flexão e das forças da membrana pode ser diferente. Deste modo, esse grupo subdivide-se em dois grupos, sendo eles:</p>
 - i. Placas rígidas: apresentam uma relação de w/t ≤ 0,2 e são consideradas placas finas flexuralmente rígidas. O carregamento transportado é bidimensional, composto pelos momentos interno de flexão, torção e pelas forças cisalhantes. Ainda, as deformações do plano médio e as forças de membrana podem ter seus valores desconsiderados.
 - ii. Placas flexíveis: apresentam uma relação de $w/t \ge 0.3$ e as deflexões laterais

são acompanhadas com o alongamento da superfície média da placa. As características desta placa são semelhantes a uma combinação das membranas com as placas enrijecidas por causa do transporte das cargas externas ocorrerem pela ação combinada dos momentos internos, forças cisalhantes e as forças de membrana. Um ponto a ser ressaltado deste tipo de classificação, é que em situações que a magnitude da deflexão máxima é maior que a espessura (w/t > 5), a placa apresentará as características de membrana como predominante, ou seja, a tensão de flexão poderá ser desconsiderada quando comparada com a tensão da membrana.

2.1. Teoria das placas finas e suas equações governantes

2.1.1. Teoria clássica para placas finas com pequenas deflexões

A Teoria das Placas Finas de Kirchhoff foi desenvolvida usando o método semi-inverso, em que uma estimativa é feita sobre o campo dos deslocamentos ou o campo das tensões de um sólido, permitindo bastante liberdade no campo assumido para satisfazer as equações de elasticidade. No caso das placas, o campo de deslocamento é em termos de funções desconhecidas das coordenadas de superfície (x, y) (Reddy, 2007).

Segundo Szilard (2004), algumas hipóteses devem ser respeitadas para a utilização desta teoria, tais como:

- a) O material deverá ser homogêneo, isotrópico e elástico linear.
- b) A placa, em seu estado inicial, deverá ser plana.
- c) A superficie média da placa permanece sem restrições durante a flexão.
- d) A espessura t será pequena em relação às dimensões do comprimento e da largura, de modo que seja dez vezes menor que uma destas dimensões.
- e) As deflexões transversais w(x, y) não devem se equivaler a um décimo da espessura da placa.
- f) As seções planas e normais ao plano médio da placa antes de sua deformação permanecem planas e normais ao plano médio da placa defletida.
- g) A tensão normal σ_z na direção transversal à placa pode ser desconsiderada.
- h) As deformações cisalhantes γ_{yz} e γ_{xz} devem ser nulas.

Respeitando as hipóteses apresentadas, é possível reduzir um problema de placa tridimensional para bidimensional, permitindo que a equação governante da placa possa ser derivada de uma forma concisa e direta (Ventsel e Krauthammer, 2001). A utilização de um sistema

de coordenadas cartesianas é o mais conveniente para resolver problemas que envolvem placas retangulares (Fig. 2.1), pois os carregamentos externos e internos, as tensões e as componentes da deflexão u, v e w são considerados nas direções dos eixos x, y e z (Szilard, 2004).

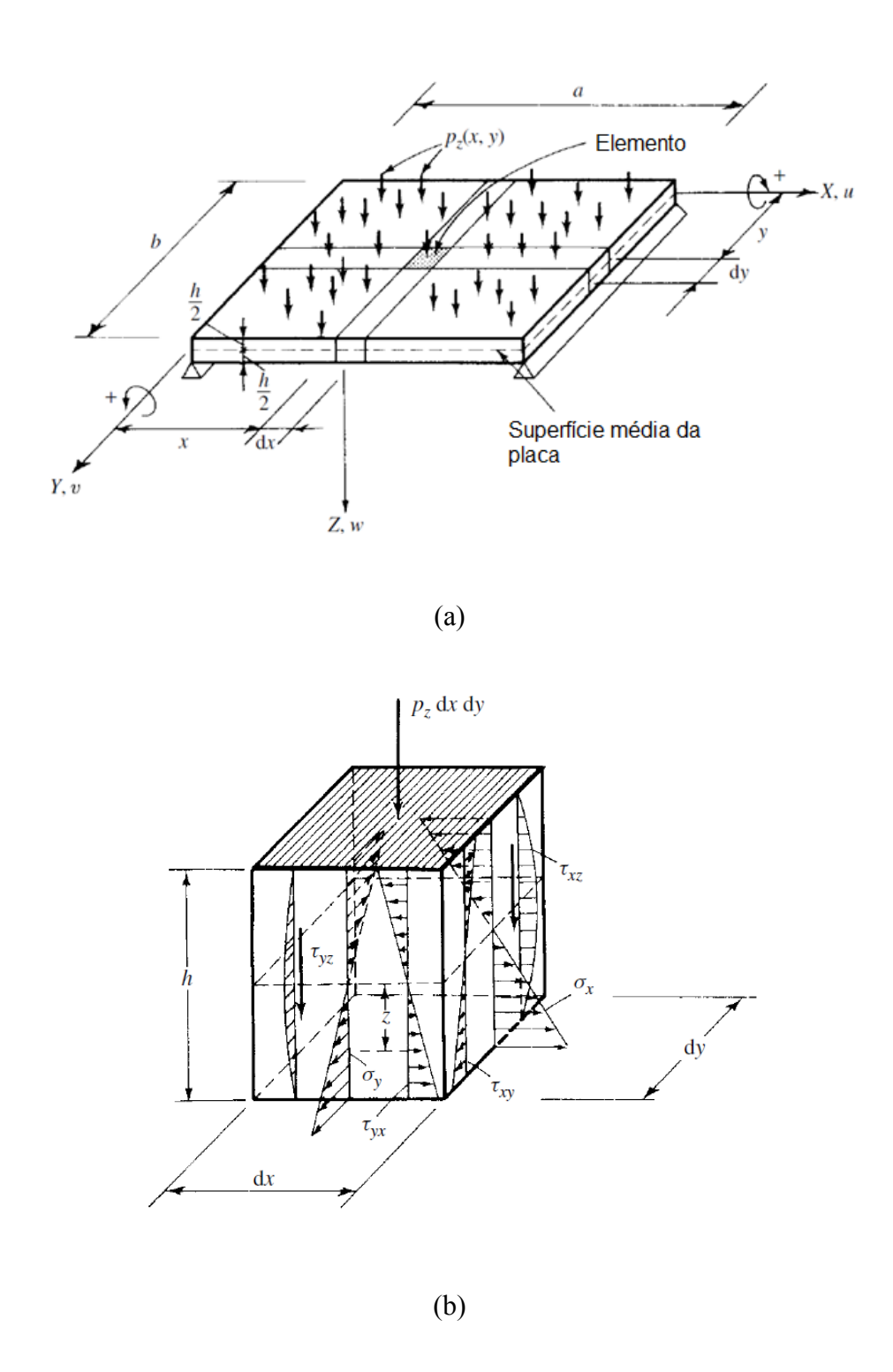


Figura 2.1. – (a) Placa retangular submetida a um carregamento transversal e (b) Tensões internas de um elemento infinitesimal de placa (Fonte: adaptado de Szilard, 2004)

De acordo com Reddy (2007), as equações governantes de um corpo elástico podem ser classificadas nas seguintes categorias: Cinemáticas, Cinéticas, Termodinâmicas e Constitutivas. As equações Cinemáticas abordam as mudanças geométricas ou deformações em um corpo sem a consideração das forças agindo sobre ele. A Cinética trata do equilíbrio estático ou dinâmico das forças atuando sobre uma estrutura.

Os princípios termodinâmicos dizem respeito à conservação de energia e às relações entre calor, trabalho mecânico e propriedades termodinâmicas de uma estrutura. As equações Constitutivas descrevem o comportamento constitutivo do corpo através de variáveis que relacionam a descrição cinética com as das descrições cinemáticas e termodinâmicas. Além disso, essas equações são complementadas por condições de contorno e condições iniciais impostas as estruturas.

Portanto, na sequência serão demonstradas as equações fundamentais para placas com pequenas deflexões.

2.1.2. Equações Cinéticas

Segundo Szilard (2004), para a obtenção da equação de equilíbrio de um elemento de placa (Fig. 2.1 – b), será adotada uma placa sujeita a carregamentos transversais. Os esforços internos e externos, presentes na superfície média da placa podem ser observados na Fig. 2.2.

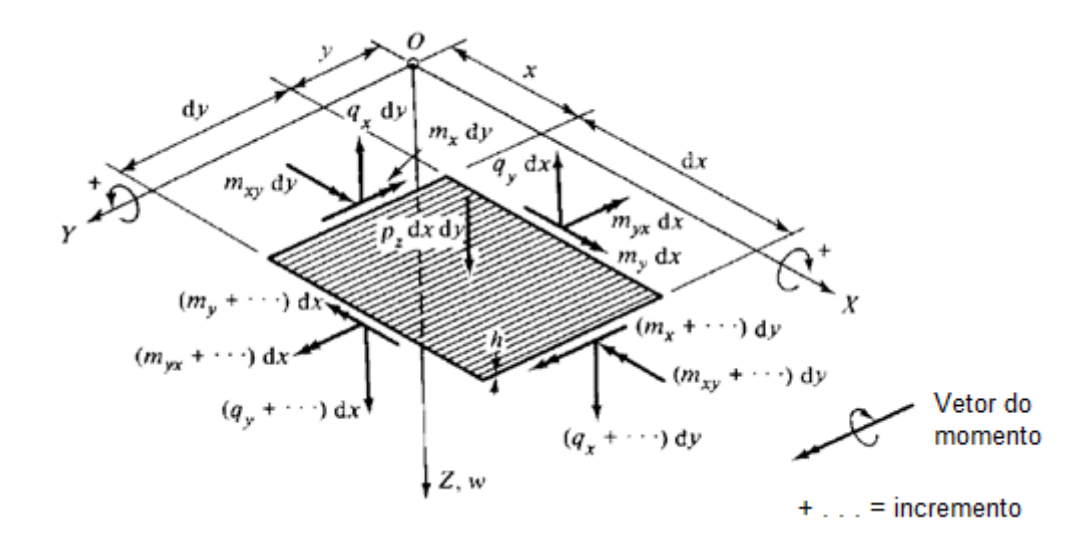


Figura 2.2. – Esforços externos e internos na superfície média do elemento de placa (Fonte: adaptado de Szilard, 2004)

Inicialmente, será expresso o somatório de todos os momentos em torno do eixo y:

$$\left(m_x + \frac{\partial m_x}{\partial x}dx\right)dy - m_x dy + \left(m_{yx} + \frac{\partial m_{yx}}{\partial y}dy\right)dx - m_{yx}dx - \left(q_x + \frac{\partial q_x}{\partial x}dx\right)dy \frac{dx}{2} - q_x dy \frac{dx}{2} = 0$$
(2.1)

Após, o termo $1/2(\partial q_x/\partial x)(dx)^2 dy$ é desconsiderado da Eq. (2.1). Então, obtém-se:

$$\frac{\partial m_x}{\partial x} dx \, dy + \frac{\partial m_{yx}}{\partial y} dy \, dx - q_x dx \, dy = 0 \tag{2.2}$$

E, simplificando os termos dx dy:

$$\frac{\partial m_x}{\partial x} + \frac{\partial m_{yx}}{\partial y} = q_x \tag{2.3}$$

De uma forma similar, é obtida a equação do somatório dos momentos em torno do eixo x:

$$\frac{\partial m_y}{\partial y} + \frac{\partial m_{xy}}{\partial x} = q_y \tag{2.4}$$

Em relação ao somatório das forças na direção z, tem-se:

$$\frac{\partial q_x}{\partial x} dx dy + \frac{\partial q_y}{\partial y} dx dy + p_z dx dy = 0$$
 (2.5)

E, simplificando os termos dx dy:

$$\frac{\partial q_x}{\partial x} + \frac{\partial q_y}{\partial y} = -p_z \tag{2.6}$$

Por fim, há a substituição dos termos das Eqs. (2.3) e (2.4) na Eq. (2.6), salientando que os momentos de torção são iguais, ou seja, $m_{yx}=m_{xy}$:

$$\frac{\partial^2 m_x}{\partial x^2} + 2 \frac{\partial^2 m_{xy}}{\partial x \, \partial y} + \frac{\partial^2 m_y}{\partial y^2} = -p_z(x, y) \tag{2.7}$$

De acordo com Szilard (2004), os momentos fletores m_x e m_y e de torção m_{xy} presentes na Eq. (2.7) dependem das equações da deformação.

2.1.3. Equações Cinemáticas, Equações Constitutivas e Equação governante

Com base na hipótese cinemática 'f' da Teoria das Placas Finas de Kirchhoff é possível

descrever os campos de deslocamento das placas à flexão, como (Vaz, 2011):

$$\begin{cases} u(x, y, z) = -z \frac{\partial w(x, y)}{\partial x} \\ v(x, y, z) = -z \frac{\partial w(x, y)}{\partial y} \end{cases}$$
 (2.8)

onde u(x,y,z), v(x,y,z) e w(x,y) são as componentes do vetor de deslocamento de pontos localizados na superfície média da placa, ocorrendo nas direções x, y e z, respectivamente.

Na sequência, são demonstradas as equações de deformação de um elemento infinitesimal de um plano de cota z paralelo ao plano médio da placa, que pode ser obtidos a partir da Eq. (2.8). Logo, tem-se:

$$\begin{cases}
\varepsilon_{x} = \frac{\partial u(x, y, z)}{\partial x} = -z w_{xx} \\
\varepsilon_{y} = \frac{\partial v(x, y, z)}{\partial y} = -z w_{yy} \\
\gamma_{xy} = \frac{\partial u(x, y, z)}{\partial y} + \frac{\partial v(x, y, z)}{\partial x} = -2z w_{xy}
\end{cases} (2.9)$$

onde ε_x corresponde à deformação normal na direção do eixo x, ε_y corresponde à deformação normal na direção do eixo y e w_{xx} , w_{yy} e w_{xy} são componentes do vetor que contém as curvaturas da Teoria das Placas Finas de Kirchhoff relativas a um ponto do plano médio da placa que está na mesma reta vertical que o ponto onde foi calculado o vetor das deformações.

Ainda, para placas submetidas à flexão, assim como ocorre nas vigas, os momentos fletores e esforços cortantes também atuam na deflexão das placas finas. De modo que este último contribui com a produção de tensões cisalhantes verticais e distorções que podem ser expressas na seguinte forma:

$$\begin{cases} \gamma_{xz} = \frac{\partial w(x,y)}{\partial x} + \frac{\partial u(x,y,z)}{\partial z} = w_y - w_y = 0\\ \gamma_{yz} = \frac{\partial w(x,y)}{\partial y} + \frac{\partial v(x,y,z)}{\partial z} = w_x - w_x = 0 \end{cases}$$
(2.10)

Em relação às equações constitutivas, que relacionam as componentes de tensão com as componentes de deformação, a sua aplicação considera a lei de Hooke, o efeito de Poisson e que estas estruturas se encontram sob o estado plano de tensão por causa da tensão normal σ_z ser nula. Consequentemente, as componentes de tensão que caracterizam este estado são σ_x , σ_y e τ_{xy} , que representam, respectivamente, a tensão normal na direção x, a tensão normal na direção y e a tensão

cisalhante no plano xy. Além disso, dois parâmetros são suficientes para descrever o comportamento mecânico de estruturas com material isotrópico e linear-elástico: o módulo de elasticidade E e o coeficiente de Poisson v (Ventsel e Krauthammer, 2001; Vaz, 2011).

Então, as equações constitutivas podem ser expressas na seguinte forma:

$$\begin{Bmatrix} \sigma_x \\ \sigma_y \\ \tau_{xy} \end{Bmatrix} = \frac{E}{(1-v^2)} \begin{bmatrix} 1 & v & 0 \\ v & 1 & 0 \\ 0 & 0 & \frac{1-v}{2} \end{bmatrix} \begin{Bmatrix} \varepsilon_x \\ \varepsilon_y \\ \gamma_{xy} \end{Bmatrix}$$
(2.11)

ou, na sua forma sucinta:

$$\sigma = C_k \varepsilon_x = -z C_k k_x \tag{2.12}$$

onde k_x é o vetor que contém as curvaturas da Teoria das Placas Finas de Kirchhoff relativas a um ponto do plano médio da placa que está na mesma reta vertical que o ponto onde foi calculado o vetor das deformações ε e C_k é a matriz constitutiva para o estado plano de tensão, definida por:

$$C_k = \frac{E}{(1 - v^2)} \begin{bmatrix} 1 & v & 0 \\ v & 1 & 0 \\ 0 & 0 & \frac{1 - v}{2} \end{bmatrix}$$
 (2.13)

Após, há a representação dos esforços internos por unidade de comprimento num sistema de coordenadas cartesianas:

E, substituindo a Eq. (2.11) na Eq. (2.14):

$${ m_x \\ m_y \\ m_{xy} } = -\frac{t^3}{12} \frac{E}{(1-v^2)} \begin{bmatrix} 1 & v & 0 \\ v & 1 & 0 \\ 0 & 0 & \frac{1-v}{2} \end{bmatrix} { \varepsilon_x \\ \varepsilon_y \\ \gamma_{xy} }$$
(2.15)

ou, na sua forma sucinta:

$$m_k = \frac{t^3}{12} C_k k_x = -D_k k_x \tag{2.16}$$

onde m_k é um vetor do momento num ponto da superfície média da placa e D_k é a matriz constitutiva ou de rigidez à flexão de placas pela Teoria das Placas Finas de Kirchhoff, expressa por:

$$D_k = \frac{t^3}{12} C_k \tag{2.17}$$

E, de acordo com as hipóteses da Teoria das Placas Finas de Kirchhoff, as tensões cisalhantes também devem ser nulas devido às deformações cisalhantes equivalerem à zero. Logo:

$$\begin{cases}
\tau_{xz} = \frac{E}{2(1+v)} \gamma_{xz} = 0 \\
\tau_{yz} = \frac{E}{2(1+v)} \gamma_{yz} = 0
\end{cases}$$
(2.18)

Assim como os esforços cortantes q_x e q_y , visto que eles são obtidos a partir da integração das tensões cisalhantes e pelas equações de equilíbrios estáticas (Vaz, 2011).

$$\begin{cases} q_x = \int_{-\left(\frac{t}{2}\right)}^{+\left(\frac{t}{2}\right)} \tau_{xz} \, dz = 0 \\ q_y = \int_{-\left(\frac{t}{2}\right)}^{+\left(\frac{t}{2}\right)} \tau_{yz} \, dz = 0 \end{cases}$$
(2.19)

De acordo com Szilard (2004), a Equação governante da placa pode ser obtida a partir da substituição das Eq. (2.15) na Eq. (2.7):

$$\frac{\partial^4 w(x,y)}{\partial x^4} + 2 \frac{\partial^4 w(x,y)}{\partial x^2 \partial y^2} + \frac{\partial^4 w(x,y)}{\partial y^4} = \frac{p_z(x,y)}{D_k}$$
(2.20)

ou na forma em que é considerado o operador diferencial Laplaciano:

$$\nabla^2(\cdot) = \frac{\partial^2(\cdot)}{\partial x^2} + \frac{\partial^2(\cdot)}{\partial y^2}$$
 (2.21)

2.1.4. Condição de contorno

As condições de contorno são as condições conhecidas da superfície da placa que devem ser prescritas a fim de obter a solução da equação governante correspondente a um problema específico. A Eq. (2.20), por ser de quarta ordem, necessita de duas condições de contorno a serem satisfeitas para cada borda. As condições de contorno podem ser classificadas em condição de contorno geométrica, quando seu emprego estiver relacionado aos deslocamentos (deflexão transversal ou rotação do plano médio da placa); ou como condição de contorno estática, por estar relacionada às componentes dos esforços internos (flexão, torção e forças de cisalhamento

transversal); ou condição de contorno mista, por apresentar considerações tanto em relação aos deslocamentos quanto aos esforços internos (Ventsel e Krauthammer, 2001; Szilard, 2004). A Figura 2.3 ilustra as principais condições de contorno utilizadas nos problemas de placas finas.

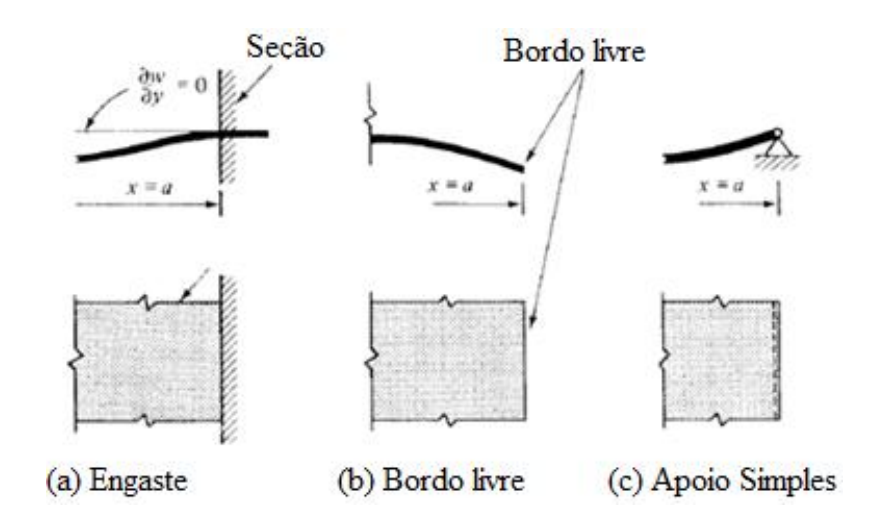


Figura 2.3. – Condições de contorno utilizadas nas placas (Fonte: adaptado de Szilard, 2004)

Segundo Timoshenko e Woinowsky-Krieger (1959), a aplicação da condição de contorno de engaste anula os valores de deslocamento e de inclinação nas bordas de uma placa retangular de comprimento a e largura b. Assim, é possível representar matematicamente essa condição de contorno na seguinte forma:

$$(w)_x = 0,$$
 $\left(\frac{\partial w}{\partial x}\right)_x = 0$ em $x = 0 e x = a$
 $(w)_y = 0,$ $\left(\frac{\partial w}{\partial x}\right)_y = 0$ em $y = 0 e y = b$ (2.22)

Segundo Szilard (2004), para os casos em que a condição de contorno utilizada é a de bordo livre, os momentos de flexão assim como os esforços cortantes devem equivaler à zero. Logo, temse:

$$(m_x)_x = (v_x)_x = 0$$
 em $x = 0 e x = a$
 $(m_y)_y = (v_y)_y = 0$ em $y = 0 e y = b$ (2.23)

onde v_x e v_y são os esforços cortantes por unidade de comprimento que atuam nos planos normais aos eixos cartesianos expressos na Eq. (2.24).

$$v_{x} = q_{x} + \frac{\partial m_{xy}}{\partial y} = -D \left[\frac{\partial^{3} w}{\partial x^{3}} + (2 - v) \frac{\partial^{3} w}{\partial x \partial y^{2}} \right] \qquad \text{em} \qquad x = 0 \text{ e } x = a$$

$$v_{y} = q_{y} + \frac{\partial m_{yx}}{\partial x} = -D \left[\frac{\partial^{3} w}{\partial y^{3}} + (2 - v) \frac{\partial^{3} w}{\partial x^{2} \partial y} \right] \qquad \text{em} \qquad y = 0 \text{ e } y = b$$

$$(2.24)$$

Um ponto a se salientar da Eq. (2.24), é da possibilidade de transformar os termos $\partial m_{xy}/\partial y$ e $\partial m_{yx}/\partial x$ (referentes aos momentos de torção) nas forças suplementares de Kirchhoff q_x^* e q_y^* , respectivamente. A transformação faz com que estes termos passem a contribuir ao esforço cortante total do bordo da placa ao invés de contribuir ao esforço do momento torsor. Portanto, a equação referente à condição de contorno de bordo livre pode ser expressa da seguinte forma:

$$\left(\frac{\partial^2 w}{\partial x^2} + v \frac{\partial^2 w}{\partial y^2}\right)_x = 0, \qquad \left[\frac{\partial^3 w}{\partial x^3} + (2 - v) \frac{\partial^3 w}{\partial x \partial y^2}\right]_x = 0 \qquad \text{em} \qquad x = 0 \text{ e } x = a$$

$$\left(\frac{\partial^2 w}{\partial y^2} + v \frac{\partial^2 w}{\partial x^2}\right)_y = 0, \qquad \left[\frac{\partial^3 w}{\partial y^3} + (2 - v) \frac{\partial^3 w}{\partial x^2 \partial y}\right]_y = 0 \qquad \text{em} \qquad y = 0 \text{ e } y = b$$
(2.25)

Sobre a condição de contorno de apoio simples, definida na Eq. (2.26), esta apresenta o deslocamento transversal e o momento fletor nulos nas suas bordas.

$$(w)_x = 0,$$
 $(m_x)_x = \left(\frac{\partial^2 w}{\partial x} + v \frac{\partial^2 w}{\partial y^2}\right)_x = 0$ em $x = 0 e x = a$
 $(w)_y = 0,$ $(m_y)_y = \left(\frac{\partial^2 w}{\partial y^2} + v \frac{\partial^2 w}{\partial x^2}\right)_y = 0$ em $y = 0 e y = b$ (2.26)

Com relação aos efeitos das forças suplementares de Kirchhoff, para os casos de placas retangulares ou quadradas que utilizam a condição de contorno de apoio simples, a utilização de reforços nos cantos da placa se fazem necessários devido ao surgimento de uma força resultante, apresentada na Eq. (2.27), que contribui ao seu levantamento e aos esforços cortantes. A Figura 2.4 ilustra este efeito ocasionado pela força resultante.

$$R_0 = 2m_{xy} = -2D(1-v)\frac{\partial^2 w}{\partial x \,\partial y} \tag{2.27}$$

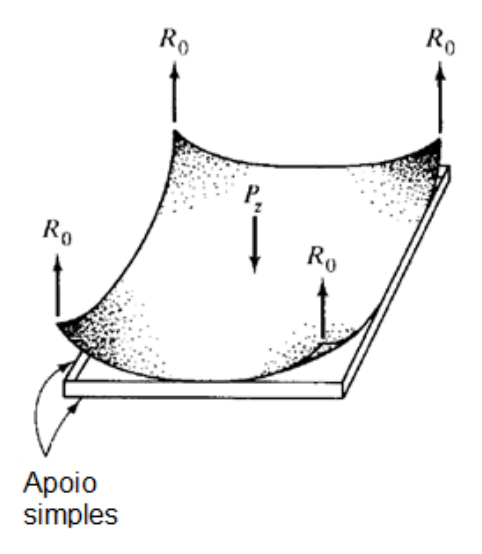


Figura 2.4. – Placa sem ancoramento nos cantos (Fonte: adaptado de Szilard, 2004)

2.2. Soluções para equações diferenciais governantes

2.2.1. Solução de Navier para placas sem enrijecedores com apoio simples

A ideia básica deste método é a procura da solução da deflexão w(x, y) na forma de uma série trigonométrica dupla para placas com apoio simples (Fig. 2.5), de modo que as condições de contorno sejam satisfeitas *a priori* e a equação diferencial governante seja reduzida em simples equações algébricas (Bhaskar e Varadan, 2013).

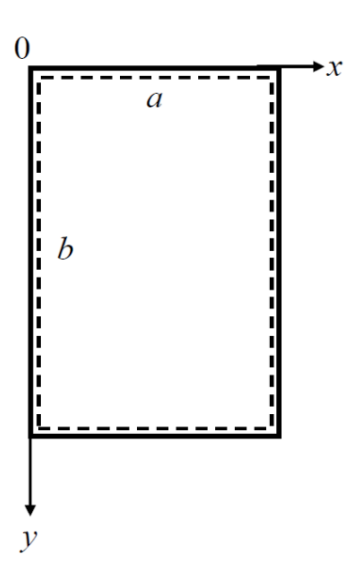


Figura 2.5. – Placa retangular com apoios simples (Fonte: retirado de Bhaskar e Varadan, 2013)

De acordo com Szilard (2004), as condições de contorno utilizadas para a solução da placa com apoio simples são:

$$(w)_{x=0, x=a} = 0$$

 $(w)_{y=0, y=b} = 0$
 $(m_x)_{x=0,x=a} = 0$
 $(m_y)_{v=0,x=b} = 0$
(2.28)

Na sequência, é apresentada a equação da deflexão para qualquer tipo de carregamento na forma de uma série trigonométrica dupla:

$$w(x,y) = \sum_{m=1}^{\infty} \sum_{n=1}^{\infty} a_{mn} \sin \frac{m\pi x}{a} \sin \frac{n\pi y}{b}$$
 (2.29)

Segundo Timoshenko e Woinowsky-Krieger (1959), o cálculo para a obtenção do coeficiente $a_{m'n'}$ desta série, é necessário multiplicar ambos os lados da equação por $\sin(n'\pi y/b) dy$ e desenvolver uma integral de 0 até b, expressa por:

$$\begin{cases}
\int_{0}^{b} \sin \frac{n\pi y}{b} \sin \frac{n'\pi y}{b} dy = 0 & \text{quando } n \neq n' \\
\int_{0}^{b} \sin \frac{n\pi y}{b} \sin \frac{n'\pi y}{b} dy = \frac{b}{2} & \text{quando } n = n'
\end{cases}$$
(2.30)

Portanto, foi obtida a seguinte equação:

$$\int_{0}^{b} w(x,y) \sin \frac{n'\pi y}{b} dy = \frac{b}{2} \sum_{m=1}^{\infty} a_{mn'} \sin \frac{n\pi y}{b}$$
 (2.31)

E, multiplicando ambos os lados da Eq. (2.31) por $\sin(m'\pi x/a) dx$ e integrando de 0 até a:

$$\int_{0}^{a} \int_{0}^{b} w(x, y) \sin \frac{m' \pi x}{a} \sin \frac{n' \pi y}{b} dx dy = \frac{ab}{4} a_{m'n'}$$
 (2.32)

onde

$$a_{m'n'} = \frac{4}{ab} \int_0^a \int_0^b f(x, y) \sin \frac{m'\pi x}{a} \sin \frac{n'\pi y}{b} dx dy$$
 (2.33)

Realizando a integração na Eq. (2.33) para uma carga distribuída, é possível determinar o coeficiente de série trigonométrica e representar o carregamento dado, como:

$$w(x,y) = \frac{1}{\pi^4 D} \sum_{m=1}^{\infty} \sum_{n=1}^{\infty} \frac{a_{mn}}{\left(\frac{m^2}{a^2} + \frac{n^2}{b^2}\right)^2} \sin\frac{m\pi x}{a} \sin\frac{n\pi y}{b}$$
(2.34)

onde a_{mn} corresponde ao coeficiente para cargas transversais uniformemente distribuída, que é definido como:

$$a_{mn} = \frac{4q_o}{ab} \int_0^a \int_0^b \sin \frac{m\pi x}{a} \sin \frac{n\pi x}{b} dx dy = \frac{16q_o}{\pi^2 mn}$$
 (2.35)

De acordo com Szilard (2004), ainda é possível obter as equações referentes aos momentos fletores m_x e m_y e ao momento de torção m_{xy} :

$$m_{x} = \pi^{2}D \sum_{m=1}^{\infty} \sum_{n=1}^{\infty} \left[\left(\frac{m}{a} \right)^{2} + v \left(\frac{n}{b} \right)^{2} \right] a_{mn} \sin \frac{m\pi x}{a} \sin \frac{n\pi y}{b}$$

$$m_{y} = \pi^{2}D \sum_{m=1}^{\infty} \sum_{n=1}^{\infty} \left[\left(\frac{n}{b} \right)^{2} + v \left(\frac{m}{a} \right)^{2} \right] a_{mn} \sin \frac{m\pi x}{a} \sin \frac{n\pi y}{b}$$

$$m_{xy} = -\pi^{2}D(1 - v) \sum_{m=1}^{\infty} \sum_{n=1}^{\infty} \frac{mn}{ab} a_{mn} \cos \frac{m\pi x}{a} \cos \frac{n\pi y}{b}$$
(2.36)

Assim como as forças cisalhantes q_x e q_y :

$$q_{x} = \frac{\pi^{3}D}{a} \sum_{m=1}^{\infty} \sum_{n=1}^{\infty} \left\{ m \left[\left(\frac{m}{a} \right)^{2} + v \left(\frac{n}{b} \right)^{2} + (1 - v) \left(\frac{n}{b} \right)^{2} \right] \right\} \times a_{mn} \cos \frac{m\pi x}{a} \sin \frac{n\pi y}{b}$$

$$q_{y} = \frac{\pi^{3}D}{b} \sum_{m=1}^{\infty} \sum_{n=1}^{\infty} \left\{ n \left[\left(\frac{n}{b} \right)^{2} + v \left(\frac{m}{a} \right)^{2} + (1 - v) \left(\frac{m}{a} \right)^{2} \right] \right\} \times a_{mn} \sin \frac{m\pi x}{a} \cos \frac{n\pi y}{b}$$

$$(2.37)$$

2.2.2. Placas sem enrijecedores com engaste nas quatro bordas

De acordo com Timoshenko e Woinowsky-Krieger (1959), a deflexão central e os momentos fletores de uma placa sem enrijecedor e engastada nas quatro bordas sujeita a um carregamento transversal uniforme serão simétricos em relação aos eixos de coordenadas expostos na Fig. 2.6, isto é, $(M_y)_{y=b/2} = (M_y)_{y=-b/2}$ e $(M_x)_{x=a/2} = (M_x)_{x=-a/2}$. Quanto às equações da deflexão central $(w)_{x=0, y=0}$ da placa, do momento fletor no centro $(M_y)_{x=0, y=0}$ e $(M_x)_{x=0, y=0}$ e nas bordas $(M_y)_{x=0, y=b/2}$ e $(M_x)_{x=a/2, y=0}$ da placa, a obtenção de suas equações, expostos na Tab. 2.1, ocorreu de forma análoga à Solução de Navier.

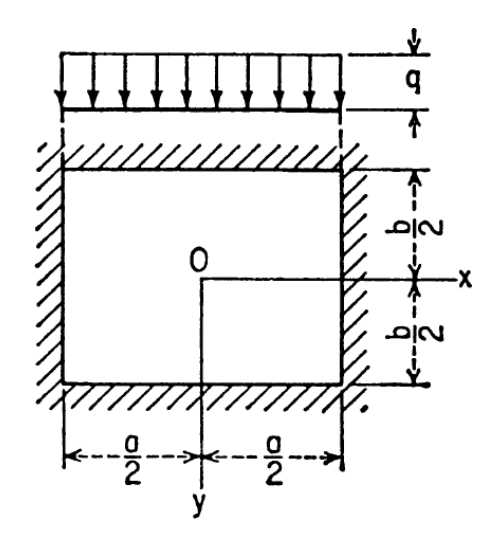


Figura 2.6. – Placa retangular com engaste e sujeita a um carregamento transversal uniforme (Fonte: retirado de Timoshenko e Woinowsky-Krieger, 1959)

Tabela 2.1. Deflexão central e momentos de flexão de uma placa engastada nas quatro bordas (Fonte: retirado de Timoshenko e Woinowsky-Krieger, 1959).

| b/a | $(w)_{x=0, y=0}$ | $\left(M_{y}\right)_{x=0, y=0}$ | $(M_x)_{x=0, y=0}$ | $\left(M_{y}\right)_{x=0, y=b/2}$ | $(M_x)_{x=a/2, y=0}$ |
|-----|------------------|---------------------------------|--------------------|-----------------------------------|----------------------|
| 1,0 | $0,00126qa^4/D$ | $0,0231qa^2$ | $0,0231qa^{2}$ | $-0,0513qa^2$ | $-0.0513qa^{2}$ |
| 1,1 | $0,00150qa^4/D$ | $0,0231qa^2$ | $0.0264qa^2$ | $-0,0538qa^{2}$ | $-0.0581qa^{2}$ |
| 1,2 | $0,00172qa^4/D$ | $0,0228qa^2$ | $0.0299qa^2$ | $-0.0554qa^2$ | $-0,0639qa^2$ |
| 1,3 | $0,00191qa^4/D$ | $0,0222qa^2$ | $0.0327qa^2$ | $-0,0563qa^{2}$ | $-0.0687qa^{2}$ |
| 1,4 | $0,00207qa^4/D$ | $0,0212qa^2$ | $0.0349qa^2$ | $-0.0568qa^2$ | $-0,0726qa^2$ |
| 1,5 | $0,00220qa^4/D$ | $0,0203qa^2$ | $0.0368qa^2$ | $-0.0570qa^2$ | $-0,0757qa^2$ |
| 1,6 | $0,00230qa^4/D$ | $0,0193qa^{2}$ | $0.0381qa^2$ | $-0.0571qa^2$ | $-0.0780qa^{2}$ |
| 1,7 | $0,00238qa^4/D$ | $0,0182qa^2$ | $0.0392qa^2$ | $-0.0571qa^2$ | $-0,0799qa^2$ |
| 1,8 | $0,00245qa^4/D$ | $0,0174qa^2$ | $0.0401qa^2$ | $-0.0571qa^2$ | $-0,0812qa^2$ |
| 1,9 | $0,00249qa^4/D$ | $0,0165qa^{2}$ | $0.0407qa^2$ | $-0,0571qa^{2}$ | $-0.0822qa^2$ |
| 2,0 | $0,00254qa^4/D$ | $0,0158qa^2$ | $0.0412qa^2$ | $-0.0571qa^2$ | $-0.0829qa^2$ |
| ∞ | $0,00260qa^4/D$ | $0,0125qa^{2}$ | $0,0417qa^2$ | $-0.0571qa^2$ | $-0,0833qa^2$ |

Na Tab. 2.1 q é o valor da carga transversal uniformemente distribuída, a é o comprimento da placa e D é a matriz constitutiva ou de rigidez (Eq. (2.38)) à flexão das placas.

$$D = \frac{Et^3}{12(1-v^2)} \tag{2.38}$$

2.3. Placas com enrijecedores

As placas com enrijecedores (Fig. 2.7 (a)) podem apresentar uma maior resistência com uma quantidade relativamente menor de material do que as placas que não contem nenhum tipo de reforço, tornando-as uma estrutura econômica por apresentar uma melhora na resistência em relação ao seu peso. A utilização dessa estrutura pode ocorrer na engenharia de construção, por exemplo, nas lajes de concreto armado com vigas unidirecionais ou bidirecionais (Fig. 2.7 (b)) frequentemente usadas nos piso dos edifícios. Na engenharia civil, os conveses das pontes rodoviárias geralmente consistem de placas enrijecidas com nervuras retangulares, triangulares ou trapezoidais. Também, o uso das placas enrijecidas é indispensável em estruturas navais e aeroespaciais. Isto é, esta estrutura pode ser encontrada no casco, no convés e na parte inferior dos navios; e, inclusive, nas superestruturas navais. Da mesma forma nas estruturas das aeronaves, pois as asas e a fuselagem são compostas principalmente por placas enrijecidas (Szilard, 2004; Shanmugam e Wang, 2006).

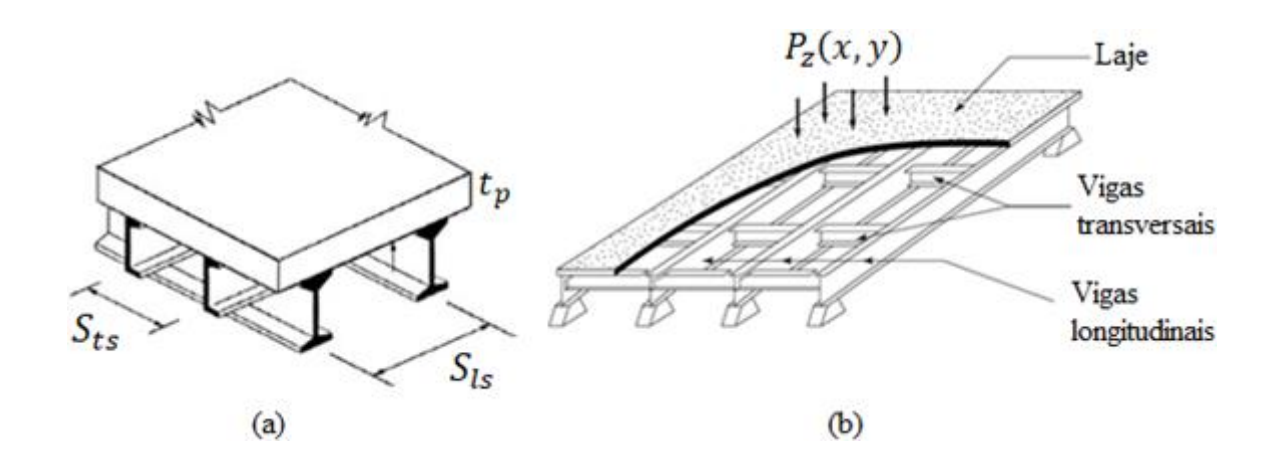


Figura 2.7. – (a) Placa enrijecida; e, (b) sistema laje-viga (Fonte: adaptado de Szilard, 2004)

De acordo com Salomon (2001), diferentes abordagens para a análise de placas com enrijecedores podem ser utilizadas, destacando o modelo de placa ortotrópica, utilizado principalmente na obtenção de soluções por meios analíticos; e o modelo de sistema placa-enrijecedor, bastante utilizado nos métodos numéricos.

Com relação ao modelo ortotrópico, a placa e os enrijecedores são tratados como materiais

anisotrópicos que apresentam três planos mutualmente perpendiculares em relação às suas propriedades elásticas, ou seja, são ortogonalmente anisotrópicos (as propriedades do material variam quando medidas por diferentes direções). Além disso, as placas enrijecidas fabricadas com materiais isotrópicos também podem ser analisadas como um modelo ortotrópico. Para isso, os enrijecedores devem ser dispostos próximos entre si e a estrutura ser tratada como um modelo homogêneo ortotrópico de modo que a placa apresente uma espessura constante e os enrijecedores sejam uma camada adicional que foi anexada à placa original (Ventsel e Krauthammer, 2001; Shanmugam e Wang, 2006).

Para considerar a flexão deste modelo, de acordo com Szilard (2004), deve-se assumir que o número de constantes elásticas independentes coincida com os eixos de coordenadas x e y e que se situem no plano médio da placa. Desse modo, têm-se as seguintes constantes elásticas: Módulo de elasticidade longitudinal E_x (na direção x) e E_y (na direção y) e o Coeficiente de Poisson v_x (na direção x) e v_y (na direção y). Assim, é obtido um novo conjunto de equações constitutivas (relações tensão-deformação) que reflitam as propriedades ortotrópica desse modelo, expostos na Eq. (2.39).

$$\begin{cases}
\sigma_{x} = \frac{E_{x}}{1 - v_{x} v_{y}} (\varepsilon_{x} + v_{y} \varepsilon_{y}) \\
\sigma_{y} = \frac{E_{y}}{1 - v_{x} v_{y}} (\varepsilon_{y} + v_{x} \varepsilon_{x}) \\
\tau = G_{xy} \gamma
\end{cases} (2.39)$$

onde G_{xy} é o módulo de cisalhamento dos materiais ortotrópico que pode ser expresso em termos de E_x e E_y , conforme pode ser visto na Eq. (2.40).

$$G_{xy} \approx \frac{\sqrt{E_x E_y}}{2(1 + \sqrt{v_x v_y})} \approx \frac{E}{2(1 + \sqrt{v_x v_y})}$$
(2.40)

Após, para obter os momentos fletores m_x e m_y e o momento de torção m_{xy} para o modelo ortotrópico deve ser substituído e integrado a Eq. (2.39) na Eq. (2.14). Consequentemente, são obtidas as seguintes equações:

$$m_{x} = D_{x} \left(\frac{\delta^{2} w}{\delta x^{2}} + v_{y} \frac{\delta^{2} w}{\delta y^{2}} \right)$$
 (2.41)

$$m_x = D_y \left(\frac{\delta^2 w}{\delta y^2} + v_x \frac{\delta^2 w}{\delta x^2} \right) \tag{2.42}$$

$$m_{xy} = -2D_t \frac{\delta^2 w}{\delta x \, \delta y} \tag{2.43}$$

onde D_x e D_y são a rigidez a flexão da placa ortotrópica nas direções x e y, respectivamente expostas na Eqs (2.44) e (2.45); e D_t é a rigidez a torção da placa ortotrópica exposta na Eq. (2.46).

$$D_x = \frac{E_x h^3}{12(1 - v_x v_y)} \tag{2.44}$$

$$D_{y} = \frac{E_{y}h^{3}}{12(1 - v_{x}v_{y})} \tag{2.45}$$

$$D_t = G_{xy} \frac{h^3}{12} (2.46)$$

Portanto, para a obtenção da equação governante do modelo ortotrópico das placas a flexão, deve-se substituir as Eqs. (2.41), (2.42) e (2.43) na Eq. (2.7). Desse modo, é obtida a seguinte equação:

$$D_x \frac{\partial^4 w(x,y)}{\partial x^4} + 2B \frac{\partial^4 w(x,y)}{\partial x^2 \partial y^2} + D_y \frac{\partial^4 w(x,y)}{\partial y^4} = p_z(x,y)$$
 (2.47)

onde B é a rigidez à torção efetiva do modelo ortotrópico das placas expresso na Eq. (2.48).

$$B = \frac{1}{2} (v_y D_x + v_x D_y + 4D_t)$$
 (2.48)

Um exemplo de aplicação pode ser encontrado em de Melo (2016), Kurrer (2018) e em Donin e Machado (2018).

3. MODELAGEM COMPUTACIONAL

A modelagem é a representação de uma construção e funcionamento de um sistema que deve permitir ao analista prever os efeitos de mudança, de forma que esse modelo apresente uma aproximação com a realidade e incorpore a maioria das complexidades encontradas no problema proposto. A obtenção de um bom modelo ocorre quando há um balanço entre realidade e simplicidade, em que é importante realizar uma verificação ou validação através de técnicas que simulem as condições conhecidas de entrada com as de saída do sistema (Maria, 1997).

A simulação numérica, por sua vez, pode ser definida como uma técnica para conduzir experimentos envolvendo certos tipos de modelos matemáticos e lógicos num certo período. É a partir dela que ocorre a coleta de informações que possibilita: compreender melhor o sistema analisado e aprimora-lo; entender a interação entre suas variáveis e perceber qual delas alcança o efeito desejado; e, de expor o sistema a novos ambientes e observar seu comportamento (Singh, 2009).

De acordo com Maria (1997), algumas etapas devem ser seguidas para desenvolver uma análise por um sistema numérico (Fig. 3.1), tais como:

- a) Identificação do problema físico e a definição do objetivo da análise;
- b) Formulação matemática, que tende a envolver as condições de contorno e o problema como um todo (ou parcial quando se estiver considerando a condição de contorno de simetria);
- c) Coleta e processamento das informações obtidas pelo sistema real, tais como as variáveis de entrada (por exemplo, coeficiente de Poisson ou módulo de elasticidade);
- d) Implementação da formulação e desenvolvimento do modelo, através da aplicação das informações obtidas previamente por métodos analíticos ou numéricos;
- e) Verificação e/ou validação do modelo, no intuito de avaliar a confiabilidade quanto aos resultados gerados. A avaliação pode ocorrer através da comparação dos resultados do modelo numérico com resultados obtidos por meios analíticos ou de outros modelos que já tenham sido verificados ou validados.
- f) Estabelecer condições experimentais para cada simulação, isto é, alterar as características do problema, pois será possível obter uma gama de resultados e ver qual deles aperfeiçoa a característica procurada.

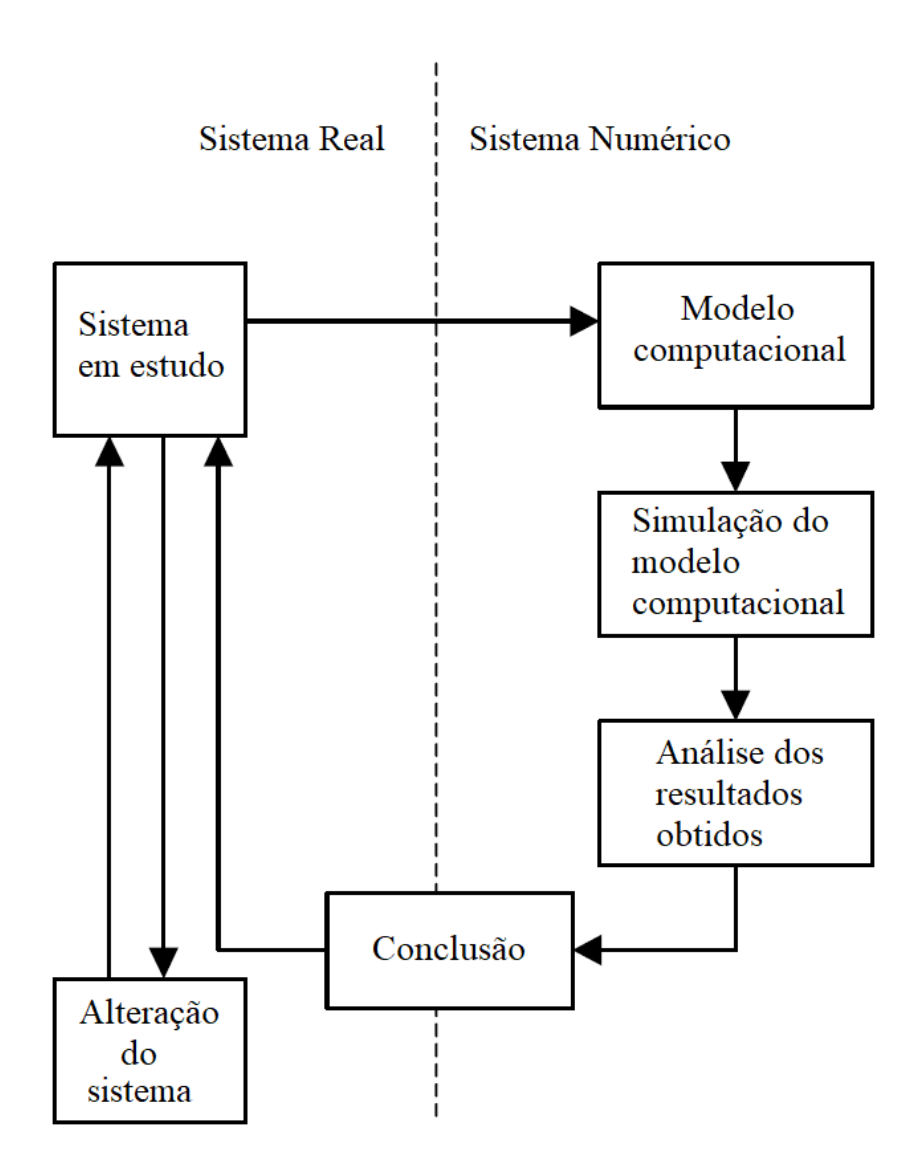


Figura 3.1. – Etapas de uma análise por um sistema numérico (Fonte: Maria, 1997)

3.1. Método dos elementos finitos

3.1.1. Introdução

A análise pelo método dos elementos finitos (MEF) é uma técnica numérica em que todas as complexidades do problema são mantidas de acordo com o problema proposto, obtendo, no final, um valor aproximado. O método, por apresentar uma grande flexibilidade e diversidade na sua aplicação, tem sido amplamente utilizado por diversos campos de pesquisa nas engenharias (Tab. 3.1). De forma que, pelo avanço tecnológico dos hardwares, a queda do valor dos computadores e o surgimento de softwares comerciais (STAAD-PRO, GT-STRUDEL, NASTRAN, NISA e ANSYS); estes tiveram uma grande contribuição na disseminação de sua utilização (Bhavikatti, 2005).

Tabela 3.1. Aplicações do MEF nas áreas de pesquisa das engenharias envolvendo problemas de equilíbrio (adaptado de RAO, 2011).

| Área de estudo | Problemas de equilíbrio | | | |
|--|--|--|--|--|
| Estruturas na engenharia civil | Análise estática de treliças, placas, cascas, shear wall, pontes e estruturas de concreto. | | | |
| Estruturas de aeronave | Análise estática de asas de aeronaves, fuselagens, barbatanas, foguetes, espaçonaves. Distribuição de temperatura em sólidos e fluidos. | | | |
| Condução de calor | | | | |
| Geomecânica | Análise de escavações, paredes de retenção, aberturas subterrâneas, juntas de rocha e problemas de interação solo-estrutura; Análise de tensão nos solos, barragens e fundações de máquinas. | | | |
| Hidráulica e engenharia de recursos hídricos | Análise de fluxos potenciais, fluxos de superfície livres, fluxos de camada limite, fluxos viscosos, problemas aerodinâmicos transônicos; Análise de estruturas hidráulicas e barragens. | | | |
| Engenharia nuclear | Análise de vasos de pressão nuclear e estruturas de contenção; distribuição de temperatura no estado estacionário nos componentes do reator. | | | |
| Engenharia biomédica | Análise de estresse de globos oculares, ossos e dentes; capacidade de suporte de carga dos sistemas de implante e prótese; Mecânica das válvulas cardíacas. | | | |
| Design mecânico | Problemas de concentração de tensão; Análise de tensões de vasos de pressão, pistões, materiais compósitos, conexões e engrenagens. | | | |
| Maquinário elétrico e eletromagnético | Análise no estado estacionário de máquinas síncronas e de indução, corrente de Foucault e perdas de núcleo em máquinas elétricas, magnetostática. | | | |

De acordo com Zienkiewicz e Taylor (2000) e Rao (2011), o MEF pode ser definido como um método numérico de aproximação para problemas contínuos, no qual este seja dividido em um número finito de partes (elementos), cujo comportamento é especificado por uma série de parâmetros e que a solução do sistema, com a montagem dos elementos, segue precisamente as mesmas regras aplicadas num sistema discreto padrão. Em outras palavras, a sua solução só ocorrerá a partir da montagem da matriz global dos elementos que permitirá a solução nodal e, por consequência, a obtenção dos valores de deslocamento e tensão sofridos por cada elemento. Para casos que envolvam problemas de comportamento linear elástico, a matriz global é representada

$$[K] \cdot \{u\} = \{F\}$$
 (3.1)

onde [K] é a matriz de rigidez global da estrutura, $\{u\}$ é o vetor dos deslocamentos nodais e $\{F\}$ representa o vetor das forças nodais requeridas para equilibrar qualquer carga concentrada ou distribuída atuando sobre o domínio computacional discretizado.

Ainda, a Fig. 3.2 demonstra diversos métodos que contribuíram ao surgimento do MEF.

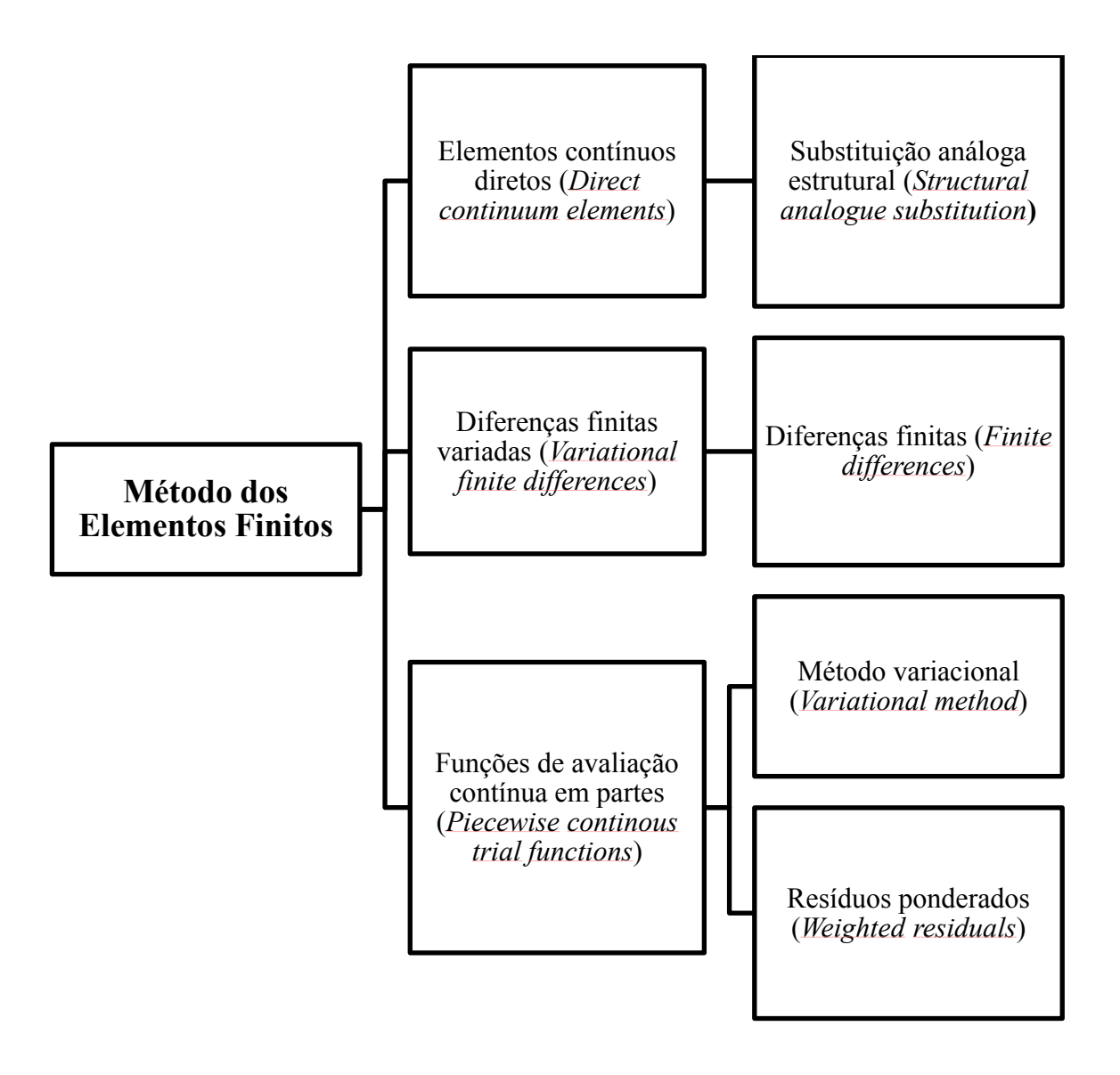


Figura 3.2. – Processo evolutivo do MEF (Fonte: adaptado de Zienkiewicz e Taylor, 2000)

Segundo Moaveni (1999), algumas etapas devem ser seguidas para que ocorra a análise pelo MEF, tais como:

a) Criação e discretização da solução do domínio em elementos finitos, onde ocorre a

- divisão do problema em nós e elementos;
- b) Admite-se que a função de interpolação ou de forma reflita o comportamento físico do elemento e que a função aproximada contínua represente a solução do elemento;
- c) Desenvolvimento das equações para um elemento;
- d) Montagem dos elementos, para representar o problema como um todo, ou seja, construção da matriz global.
- e) Aplicação das condições de contorno, das condições iniciais e do carregamento.
- f) Solução simultânea de um conjunto linear ou não linear de equações algébricas, no intuito de obter os resultados nodais (como deslocamento em diferentes nós ou valores de temperatura em casos de transferência de calor);
- g) Obtenção de outras informações, tais como tensão ou fluxo de calor.

As etapas de 'a' até 'e' representam a etapa de pré-processamento; enquanto que a etapa 'f' é a etapa da solução (processamento); e, 'g' a etapa de pós-processamento.

Segundo Rao (2011), há alguns pontos que podem afetar o resultado ou o tempo de processamento computacional do problema, sendo eles:

- a) O tipo de elemento adotado, dependendo da geometria do domínio em estudo, poderá afetar a acurácia, fazendo com que a utilização de dois ou mais tipos de elementos seja necessária.
- b) O tamanho do elemento também afetará na acurácia, de modo que quanto menor for seu tamanho, maior será o número de elementos finitos utilizados na discretização do domínio computacional e, consequentemente, maior será a precisão dos resultados; mas maior será o tempo de processamento computacional necessário para desenvolver as simulações. Também, testes que avaliem o número mínimo de elementos que se fazem necessário devido à baixa variação de resultado que os modelos computacionais apresentam a partir de um determinado ponto, caracterizando, assim, a estabilização de um teste de convergência de malha.
- c) Se a configuração do corpo e as condições externas forem simétricas, pode-se considerar apenas metade ou 1/4 do problema em estudo através da utilização da condição de contorno de simetria. A simetria deve ser aplicada sobre a geometria e o carregamento na análise; e sua aplicação faz com que os deslocamentos fora do plano e as rotações no plano sejam definidos como zero, isto é, quando esta condição de contorno se encontra paralela ao eixo y, os deslocamentos e rotações sofridas em x devem ser nulas no local de sua aplicação, e quando ela se encontra paralela ao

eixo x, os deslocamentos e rotações em y que são nulos.

De acordo com Bhavikatti (2005), o MEF, quando comparado com outros métodos clássicos, apresenta as seguintes vantagens:

- a) Em situações que o problema não é isotrópico, soluções obtidas por metodologias clássicas se tornam de difícil solução, a ponto que poucos pesquisadores tiveram sucesso no problema que tratavam.
- Estruturas compostas de dois ou mais materiais podem ser facilmente resolvidas pelo MEF.
- c) Problemas de não linearidade geométrica e de material não podem ser resolvidas por métodos clássicos, em contra partida, no método dos elementos finitos não há dificuldade.
- d) Métodos clássicos trabalham com hipóteses quando deparados com a solução das seguintes complexidades: geometria, condições de contorno e carregamento; enquanto que a utilização do MEF trata o problema conforme é proposto.

Portanto, percebe-se que MEF é vantajoso em relação às metodologias clássicas apenas em situações que o problema proposto apresenta uma variedade de complexidades que não possam ser resolvido pelas metodologias clássicas sem realizar suposições que alterem suas características. Além disso, os métodos clássicos são muitas vezes utilizados para realizar a verificação ou validação dos programas que utilizam o MEF.

3.1.2. Elemento SHELL281 e Software ANSYS 18.2 Versão Acadêmica

O elemento de casca SHELL281 (Fig 3.3), encontrado no software ANSYS, foi adotado para o desenvolvimento dos modelos computacionais apresentados nesta dissertação. Segundo ANSYS (2017), o elemento é adequado para análise de estruturas do tipo cascas e placas que apresentem uma espessura fina. Ele é composto por oito nós, onde em cada nó há seis graus de liberdade (três de translação, nas direções x, y, z; e três de rotação, em torno dos eixos de x, y, z).

Com relação a sua utilização, o SHELL281 pode ser aplicado a problemas lineares que envolvam grandes rotações e/ou que estejam sujeitos a esforços não lineares. Também, há a percepção da alteração da espessura nas análises não lineares; tanto quanto os efeitos gerados por pressões distribuídas num determinado tempo. Outra aplicação de uso deste elemento está na modelagem das camadas dos compósitos ou na construção de estruturas sanduíche, em que a precisão ocorrerá pela Teoria de Mindlin-Reissner.

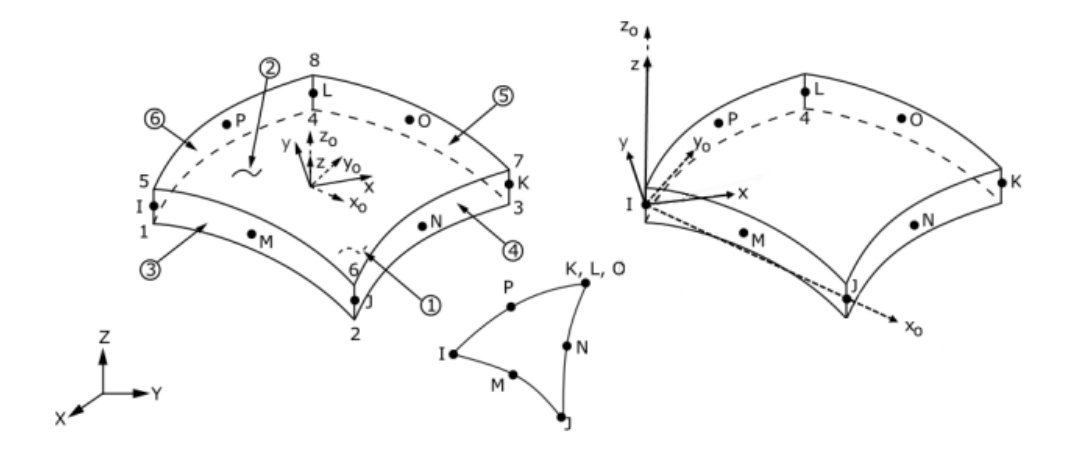


Figura 3.3. – Elemento finito SHELL281 (Fonte: ANSYS, 2017)

De acordo com Stolarski, Nakasone & Yoshimoto (2018), o software ANSYS, baseado no MEF e utilizado para gerar os diversos modelos numéricos aqui apresentados, é um programa que pode ser utilizado para resolver numericamente uma ampla variedade de problemas mecânicos que envolvam análises estruturais estáticas ou dinâmicas, ambas podendo ser lineares ou não lineares; problemas de transferências de calor ou de escoamento de fluido; problemas de acústica; problemas eletromagnéticos; entre outros.

4. TEORIA CONSTRUTAL E A TÉCNICA DA BUSCA EXAUSTIVA

Na natureza, nada se move a menos que seja forçado, empurrado ou puxado. O poder por trás desse movimento é gerado por bilhões de "motores" naturais que consomem "combustíveis" em muitas formas, como os alimentos para os animais, a gasolina para os veículos, o aquecimento solar para a circulação atmosférica e o fluxo de água ao redor do globo. Este movimento gerado reduz instantaneamente sua magnitude – dissipando-a em "freios" – enquanto penetra e se desloca em seu ambiente que resiste durante todo o processo de seu movimento. Os motores e os freios são dois fenômenos naturais tão antigos quanto à própria Terra. Este é um fenômeno distinto e um princípio da física chamado de Teoria Construtal (Bejan, 2016).

De acordo com Reis (2006), a Teoria Construtal demonstra que todos os sistemas de fluxo existem com um propósito (ou objetivo, ou uma função). Na natureza, os fluxos ocorrem em uma ampla gama de escalas com o objetivo de reduzir os gradientes existentes (temperatura, pressão). Em estruturas projetadas e vivas, os fluxos de calor e massa ocorrem pela mesma razão, e, ao dissipar a energia mínima, reduzem a necessidade de alimento ou combustível e fazem com que todos esses sistemas sejam mais adequados. O objetivo do sistema está presente juntamente com as restrições globais fixas, que podem incluir o espaço alocado ao sistema, ao material, às componentes disponíveis e às faixas de temperatura, pressão ou tensão permitidas. Cabe ao projetista do sistema reunir todos estas componentes (graus de liberdade e restrições) e aperfeiçoar o arranjo para alcançar a performance máxima. Desta forma, ele "constrói" a arquitetura (design ou geometria) de fluxo ideal.

Segundo Bejan e Lorente (2008), uma característica do método é que a arquitetura do fluxo é deduzida, não assumida antecipadamente conforme ocorre com outros procedimentos de otimização que se baseiam em variáveis operacionais. Diferentemente destes outros métodos, a otimização pela Teoria Construtal foca na construção da arquitetura de fluxo interna e externa. Isso significa que um sistema de fluxo tem esbeltez *Sv* (*svelteness*), que é a propriedade geométrica global definida como:

$$Sv = \frac{Escala\ de\ comprimento\ de\ fluxo\ externo}{Escala\ de\ comprimento\ de\ fluxo\ interno} \tag{4.1}$$

A Lei Construtal, lei base da Teoria Construtal, trata da previsão do design (a configuração do fluxo) e sua evolução no tempo. Também, é uma forma de ver, pois ela ensina que a evolução do

sistema de fluxo pode ser observada em todas as escalas de tempo através da seguinte afirmação: "Para que um sistema de fluxo de tamanho finito persista no tempo (para viver), sua configuração deve mudar com o tempo, de modo que facilite o acesso às suas correntes (fluido, energia, espécie, etc.)". Isto é, ela não é apenas um princípio do qual a forma geométrica e a estrutura são deduzidas na natureza, também um método de engenharia (Design Construtal) utilizado para otimizar os caminhos dos fluxos através de sistemas abertos de tamanho finito. A Lei Construtal indica que, se um sistema está livre para se transformar em restrições globais, a melhor arquitetura de fluxo é aquela que minimiza as resistências de fluxo global ou maximiza o acesso ao fluxo global. Um resultado básico da Teoria Construtal é que a arquitetura do fluxo interno e o formato do sistema não se desenvolvem por acaso, mas resultam da luta permanente por um melhor desempenho e, portanto, devem evoluir no tempo (Rocha, Lorente e Bejan, 2013).

A Teoria Construtal e a Lei Construtal são termos que cada vez mais são vistos na literatura científica. A razão é que um número crescente de pesquisadores utiliza o método para avaliar a influência da configuração geométrica no desempenho dos sistemas de fluxo na mecânica dos fluidos: em determinar qual a seção transversal que melhor minimiza a queda de pressão dos fluxos nos dutos, a melhor configuração dos canais vasculares quando tratando de fluxos turbulentos, entre outros; e, problemas de transferência de calor: na determinação da otimização de cavidades de resfriamento em sólidos condutores com geração uniforme de calor e a análise de diversas formas de cavidades (em forma C – elípticas, triangulares – em forma T e inclusive àquelas com maior nível de complexidade: cavidades em forma de H e T - Y). Entretanto, poucos estudos no campo da engenharia estrutural utilizando o método foram desenvolvidos até o presente momento. Uma forma de desenvolver uma análise nas estruturas mecânicas pela aplicação da Teoria Construtal é através da "Analogia de fluxo" devido a uma semelhança constatada nas configurações de fluxo ou escoamento com a distribuição das tensões nos componentes sólidos. Esta analogia, por permitir a redução das concentrações de tensões nos projetos estruturais, permite desenvolver estudos na área da mecânica de materiais com foco na avaliação geométrica estrutural por meio da Teoria Construtal (Reis, 2006; Rocha, Lorente e Bejan, 2013).

Com relação à técnica da Busca Exaustiva (ou Busca por Força Bruta), é o método de pesquisa estocástica mais simples disponível. O método refere-se a qualquer algoritmo de busca que sistematicamente tenta soluções possíveis, uma após a outra, até encontrar uma que seja aceitável ou até que atinja um número máximo de tentativas pré-definidas. Embora o método pareça pouco sofisticado, ele tem a vantagem de poder pesquisar qualquer função, mesmo uma que tenha um comportamento complexo e irregular. No entanto, quando este método obtém um ponto próximo ao

ótimo global, ele não melhora, pois, acaba gerando outros pontos ainda mais próximos. Em outras palavras, embora a técnica da Busca Exaustiva possa encontrar um ponto próximo do ótimo, é muito improvável que ele realmente encontre o ótimo global em si (Khoury e Harder, 2016).

No presente trabalho o método Constructal Design foi usado para definir o espaço de busca, ou seja, as diferentes configurações geométricas a serem analisadas. Já a técnica de Busca Exaustiva foi adotada para identificar entre as geometrias analisadas qual conduz a melhor performance.

4.1. Aplicação do Método Design Construtal no estudo de caso

A utilização do Método Design Construtal em conjunto com a técnica da Busca Exaustiva tem como propósito definir o espaço de busca através da alteração dos parâmetros geométricos, de modo que o volume do material não sofra nenhuma alteração. Para tanto, adotou-se uma placa não enrijecida como referência (Fig. 4.1), de comprimento a, largura b e espessura t onde uma fração de seu volume de material ϕ é transformada em enrijecedor a partir da diminuição de sua espessura, mantendo o comprimento e a largura com valores constantes (Fig. 4.2).

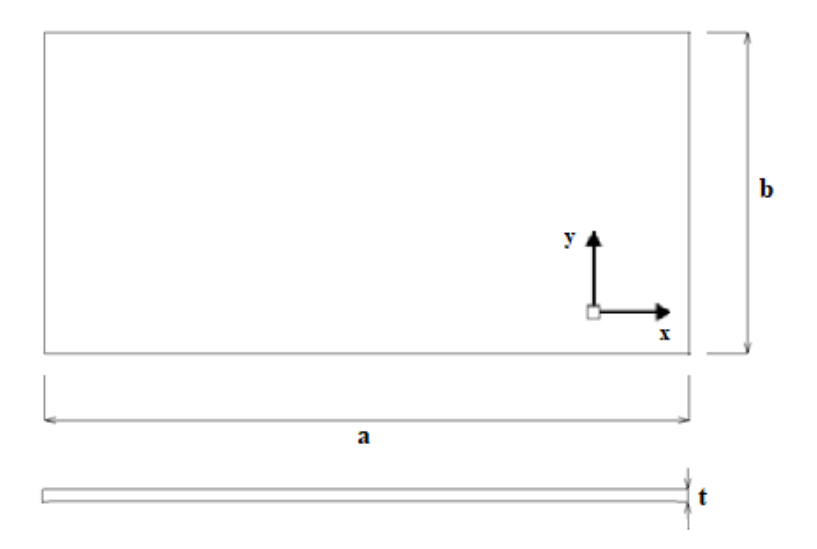


Figura 4.1. – Placa de referência

Consequentemente, todas as geometrias analisadas possuem a mesma quantidade de material, possibilitando uma avaliação comparativa do desempenho estrutural dessas placas. A melhoria do comportamento mecânico será considerada na definição da configuração geométrica que melhor minimiza a deflexão máxima e tensão máxima da placa enrijecida. Além disso, a fração de volume do material é um parâmetro de restrição do método Design Construtal e foi definida como:

$$\phi = \frac{V_s}{V_r} = \frac{N_{ls} (a h_s t_s) + N_{ts} \cdot [(b - N_{ts} t_s) h_s t_s]}{abt}$$
(4.2)

onde: V_s é o volume da placa transformado em enrijecedor, V_r é o volume total da placa de referência, N_{ls} é o número de enrijecedores longitudinais, N_{ts} é o número de enrijecedores transversais, h_s é a altura dos enrijecedores e t_s é a espessura dos enrijecedores. Quanto aos graus de liberdade, segundo Troina (2017), para os problemas que envolvem placas enrijecidas, é possível considerar: a relação de altura de enrijecedor por espessura de enrijecedor h_s/t_s , a quantidade de enrijecedores longitudinais N_{ls} e a quantidade de enrijecedores transversais N_{ts} .

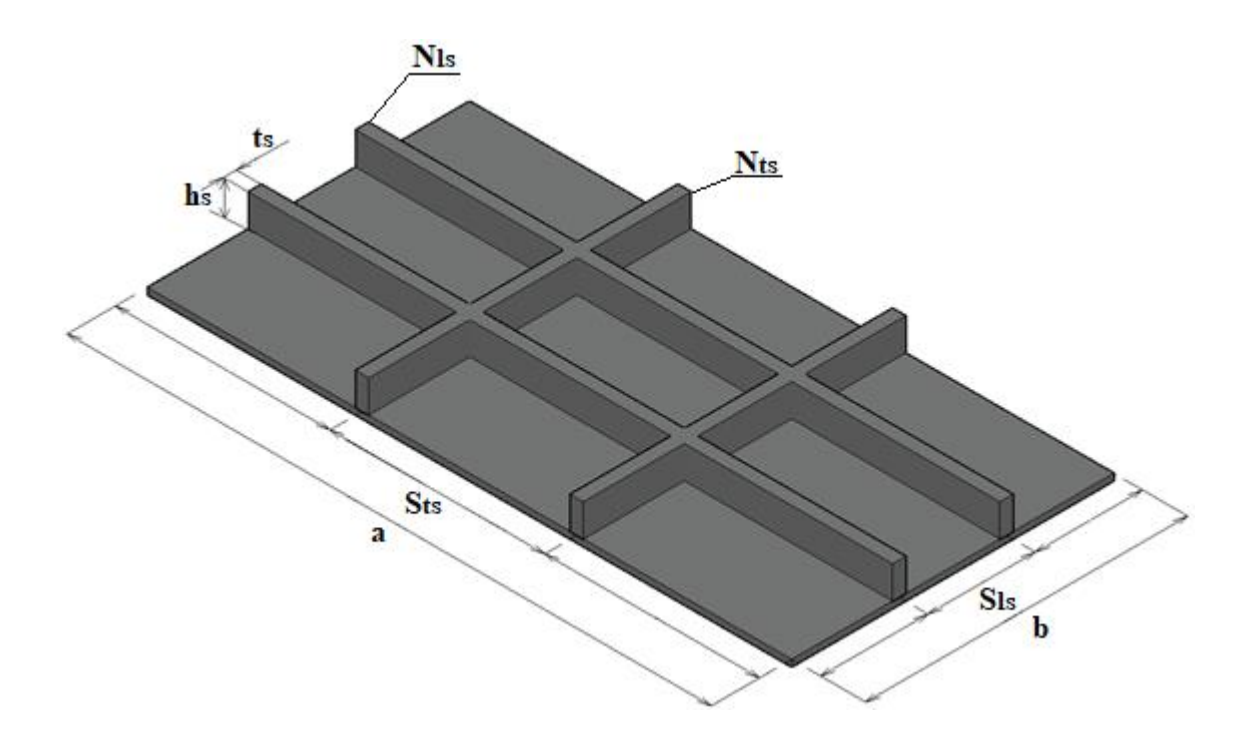


Figura 4.2. – Placa enrijecida com suas variáveis

Portanto, a análise envolveu placas formadas por 25 combinações de enrijecedores longitudinais e transversais (Fig. 4.3), obedecendo ao formato $P(N_{ls}, N_{ts})$, variando os seguintes graus de liberdade: $N_{ls} = 2$, 3, 4, 5, 6 e $N_{ts} = 2$, 3, 4, 5, 6. Em vista disto, foram analisadas as seguintes placas: P(2,2), P(2,3), P(2,4), P(2,5), P(2,6), P(3,2), P(3,3), P(3,4), P(3,5), P(3,6), P(4,2), P(4,3), P(4,4), P(4,5), P(4,6), P(5,2), P(5,3), P(5,4), P(5,5), P(5,6), P(6,2), P(6,3), P(6,4), P(6,5) e P(6,6). Sobre os enrijecedores, eles apresentam uma seção transversal retangular, espaçamentos longitudinais S_{ls} e espaçamentos transversais S_{ts} equidistantes representados nas Eqs. (4.3) e (4.4), respectivamente; e, foram adotados valores comerciais de espessuras de placas de aço. Ademais, são impostas duas restrições geométricas: a altura dos enrijecedores não pode ser maior do que 0,3 m,

no intuito de evitar desproporções geométricas entre a altura do enrijecedor e as dimensões laterais da placa; e a relação h_s/t_s deve ser maior do que 1 para evitar que a espessura do enrijecedor seja maior que sua altura, motivo este que descaracterizaria o enrijecedor que deve possuir altura maior do que sua espessura.

$$S_{ls} = \frac{b}{(N_{ls} + 1)} \tag{4.3}$$

$$S_{ts} = \frac{a}{(N_{ts} + 1)} \tag{4.4}$$

A respeito dos dados da placa de referência, foi adotado um comprimento de 2,00 m, largura de 1,00 m, espessura de 0,02 m, e é de aço estrutural A-36 com módulo de elasticidade de 200 GPa e coeficiente de Poisson de 0,3. A relação entre o volume de material transformado em enrijecedores e o volume da placa de referência é ϕ =0,3, ou seja, 30% do volume foram usados nos enrijecedores. A placa enrijecida foi considerada engastada nas quatro bordas, inclusive as bordas dos enrijecedores, e foi submetida a um carregamento transversal uniformemente distribuído de 10 kPa.

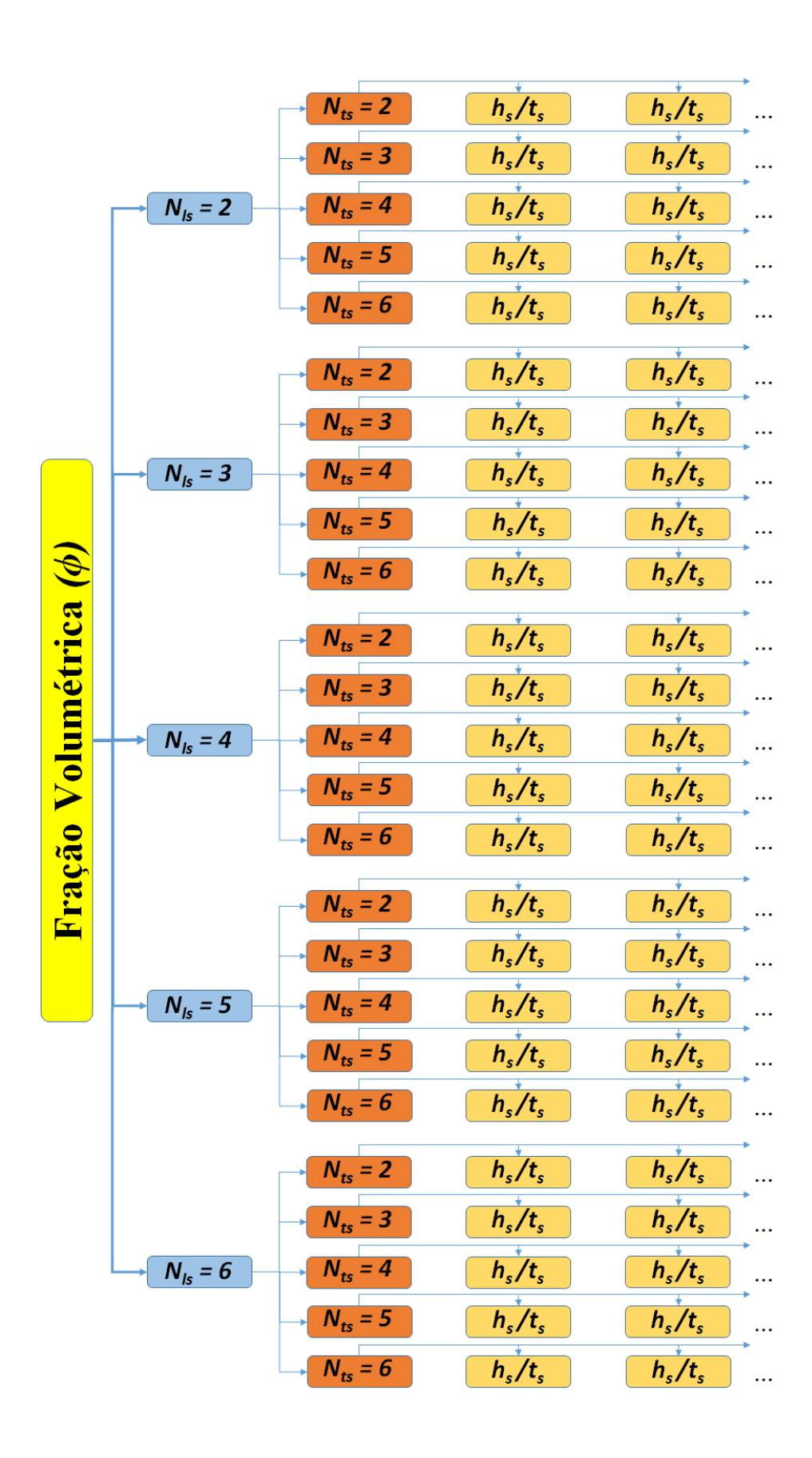


Figura 4.3. – Configurações geométricas geradas pelo Design Construtal (Fonte: Troina, 2017)

5. RESULTADOS E DISCUSSÕES

5.1. Verificação do modelo computacional

Para este propósito, quatro casos de placas enrijecidas elaboradas no software ANSYS 18.2 versão acadêmica serão utilizadas para compor o processo de verificação. Para os casos em que há a utilização da condição de contorno de apoio simples, nestes a verificação será dividida em dois momentos. No primeiro, onde é apenas verificada a deflexão da placa, o problema será tratado conforme os outros autores na literatura dispuseram, ou seja, sem alteração na geometria, nas propriedades dos materiais, nas condições de vinculação e na carga aplicada. Após, será considerada a condição de contorno de engaste nas quatro bordas e utilizado a condição de contorno de simetria nas simulações. Nesta etapa, será feito uma comparação dos resultados numéricos de deflexão e tensão de von Mises entre a placa completa em relação ao seu equivalente de 1/4 de placa com simetria. Ainda, será averiguado se o local por onde passa a simetria pode ou não influenciar no resultado: cortando nenhum enrijecedor, apenas um enrijecedor no sentido longitudinal, apenas um enrijecedor no sentido transversal, cortando um enrijecedor no sentido longitudinal e outro no sentido transversal.

Cabe destacar que o uso da condição de contorno de simetria permite reduzir o tempo de processamento e a utilização de uma malha mais refinada, uma vez que é possível considerar um domínio computacional com metade ou um quarto do problema quando este apresentar características simétricas em relação à geometria, ao carregamento, às condições de vinculação e às propriedades do material.

5.1.1. Placa retangular com enrijecedores em cruz

Os dados geométricos desta placa, expostos na Fig. 5.1, foram baseados em Rossowt e Ibrahimkhail (1978) e utilizados por Silva (2010) e Troina (2017) na verificação dos seus modelos computacionais. A placa foi submetida a um carregamento transversal uniforme de 0,006895 kN/cm²; como propriedades de material: apresenta um módulo de elasticidade de 20.268,27 kN/cm² e um coeficiente de Poison de 0,3; e, a condição de vinculação de apoio simples é aplicada sobre toda a borda da placa e a borda dos enrijecedores.

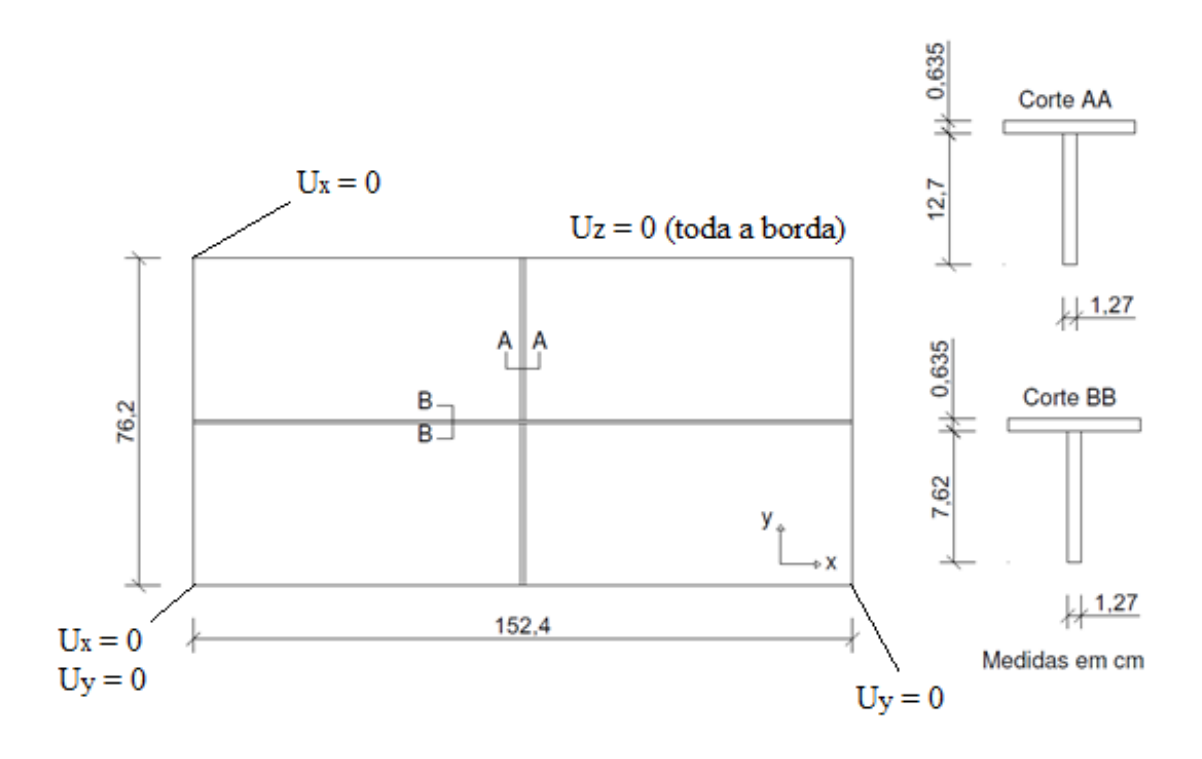


Figura 5.1. – Placa com enrijecedores em cruz (Fonte: adaptado de Silva, 2010)

Observando a Fig. 5.2, a verificação do modelo computacional baseado no elemento finito SHELL281 apresentou uma discrepância de 1,04% na análise de deflexão central da placa em relação ao modelo computacional apresentado por Troina (2017). Este modelo utilizou o elemento finito SOLID95 que pode tolerar formas irregulares sem perda significativa em sua precisão devido à presença de 20 nós com 3 graus de liberdade cada (translações nas direções x, y e z). Um motivo de ter ocorrido essa variação de resultados pode ser devido ao SOLID95 ser um elemento que considera todas as componentes do estado de tensão e deformação como um sistema tridimensional de um corpo sólido, enquanto que o elemento de casca SHELL281 possui algumas simplificações nas componentes do estado plano de tensão e deformação.

Com relação a maior diferença constatada, esta ocorreu em relação ao modelo computacional apresentado por Silva (2010) com uma discrepância de 28,77% na análise da deflexão central da placa apoiada. O modelo computacional utilizou o elemento finito SHELL63 para a modelagem da placa e o elemento BEAM44 para os enrijecedores. De acordo com Troina (2017), uma explicação dessa variação de resultados é devido a uma malha pouco refinada (860 elementos) ter sido utilizada por Silva (2010) em sua verificação. Além disso, uma mesma simulação realizada por Troina (2017) utilizando os mesmos elementos finitos que Silva (2010), mas com uma malha mais refinada (13.040 elementos finitos), constatou uma deflexão central de

0,267 mm; demonstrando uma diminuição significativa na diferença de resultado de 5,24% em relação ao elemento finito SHELL281 (Presente estudo).

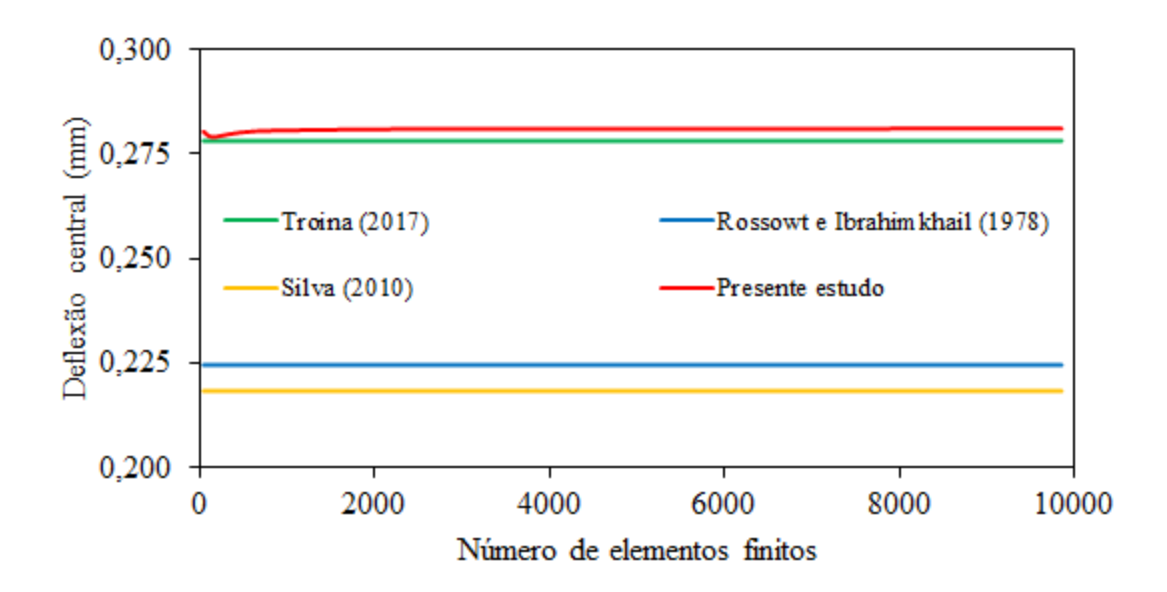


Figura 5.2. – Convergência de malha e verificação para a placa com enrijecedores em cruz

Após a verificação do modelo computacional em relação aos outros modelos encontrados na literatura, há a troca da condição de contorno de apoio simples para engaste aplicado em todas as bordas da placa e as bordas dos enrijecedores. Nesta etapa da verificação foi analisada a situação em que a condição de contorno de simetria passa no centro dos enrijecedores no sentido longitudinal e transversal da placa. O tamanho de elemento finito utilizado na comparação de resultados de deflexão e tensão de von Mises da placa inteira em relação a placa com simetria foi de 12 mm para ambos os domínios computacionais. Então, para a placa inteira, obteve-se um resultado de deflexão máxima de 0,835 mm e uma tensão máxima de von Mises equivalente a 114,355 MPa. Já, para a placa com simetria, a deflexão máxima equivale 0,841 mm e a tensão máxima de von Mises a 114,633 MPa. A diferença dos resultados, em ambas as análises, não foram maior do que 1%, comprovando que é possível considerar verificado o modelo computacional que emprega a condição de contorno de simetria.

5.1.2. Placa quadrada com dois enrijecedores ortogonais

As dimensões geométricas da placa quadrada com dois enrijecedores ortogonais foram expostas na Fig. 5.3. A placa foi submetida a um carregamento transversal uniforme de 0,0098 N/mm² e são consideradas as seguintes propriedades de material: um coeficiente de Poisson de 0,30

e um módulo de elasticidade de 210 GPa. Nesta verificação será comparado o modelo computacional baseado no elemento finito SHELL281 (Presente estudo) com os modelos numéricos utilizados por Salomon (2001).

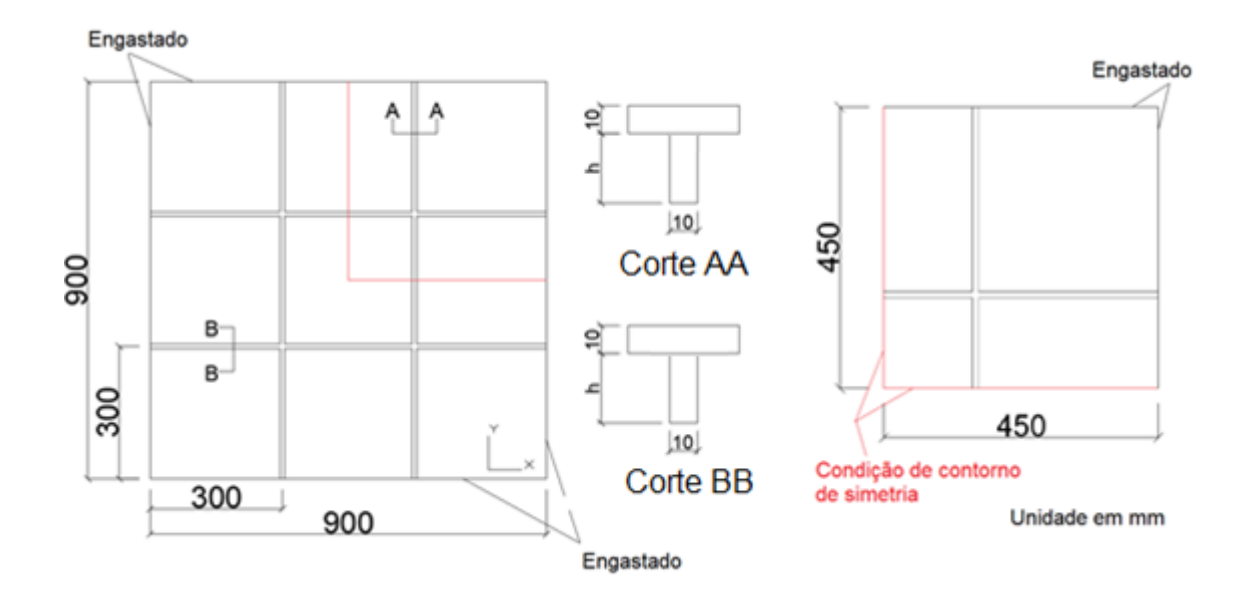


Figura 5.3. – Placa quadrada com enrijecedores ortogonais em relação aos eixos x e y (Fonte: adaptado de Salomon, 2001)

Conforme Salomon (2001) foi utilizado uma variação na altura dos enrijecedores h de 10 a 100 mm, com incremento de 10 mm, e a análise foi baseada nos resultados de deslocamento máximo e tensão de flexão dos enrijecedores (ou tensão na direção x atuando nos enrijecedores). Para isto, inicialmente, foi desenvolvido um teste de convergência de malha para uma placa completa e para 1/4 de placa com simetria, ambas utilizando o elemento finito SHELL281. O teste, como exemplo, é demonstrado nas Fig. 5.4 e Fig. 5.5 para o caso em que é usada uma altura de 100 mm.

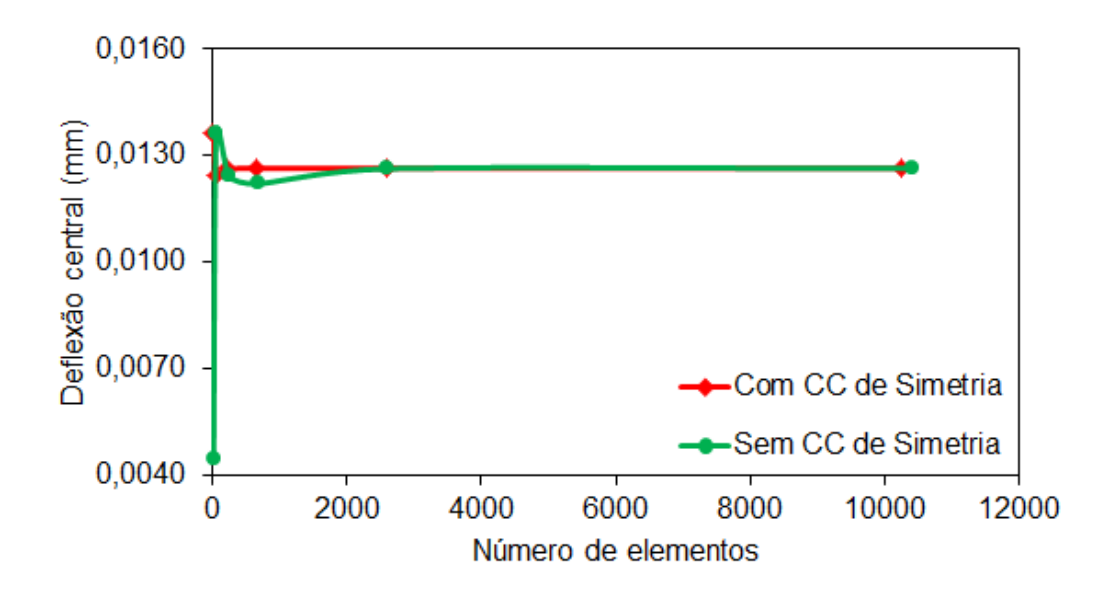


Figura 5.4. – Teste de convergência de malha para o deslocamento máximo para h = 100 mm

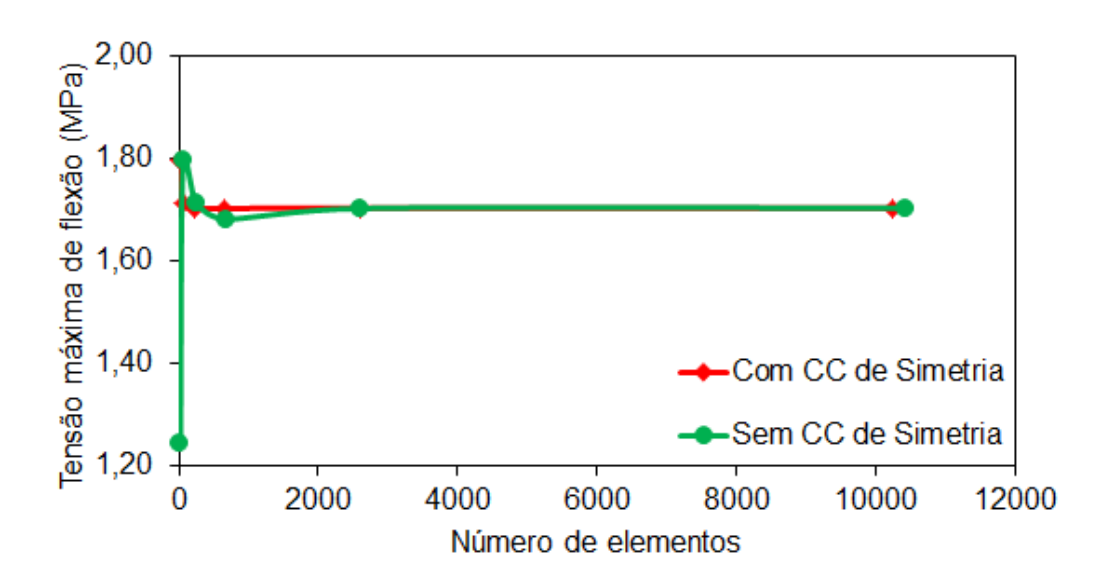


Figura 5.5. – Teste de convergência de malha para a tensão de flexão dos enrijecedores para h=100 mm

Observando a Fig. 5.4 a estabilização da análise da deflexão central ocorreu para a malha com 2604 elementos (tamanho de elemento de 22 mm) na placa inteira e para a malha com 216 elementos (tamanho de elemento de 44 mm) para a placa que emprega a condição de simetria. Com relação à análise da tensão de flexão, a Fig. 5.5 indica que a estabilização ocorreu para uma malha com 10416 elementos para a placa inteira e com 2604 elementos para a placa com simetria. Em

ambos os casos, para a análise de tensão, o tamanho do elemento foi de 11 mm.

Testes de convergência de malha para os demais casos (h = 10; 20; 30; 40; 50; 60; 70; 80; e 90 mm) foram realizados de maneira análoga ao apresentado para o caso com h = 100 mm (ver Figs. 5.4 e 5.5). Os resultados obtidos nos testes de convergência de malha para todos os casos considerados são então apresentados nas Tab. 5.1, envolvendo a variação da altura do enrijecedor, tem seu tamanho de elemento para a placa completa e o seu equivalente com simetria na Tab. 5.1.

Tabela 5.1. Tamanho do elemento simulado para a placa completa e a placa com simetria

| h (mm) | Tamanho do elemento (mm) | Número de elementos | | w (mm) | | σ_{xx} dos enrijecedores (MPa) | |
|--------|--------------------------------|---------------------|-----------------|--------------|-----------------|---------------------------------------|-----------------|
| | | Sem simetria | Com Simetria | Sem simetria | Com Simetria | Sem simetria | Com Simetria |
| 10 | 9,50 | 9984 | 2496 | 0,3287 | 0,3287 | 14,7522 | 14,7522 |
| 20 | 9,50 | 10368 | 2592 | 0,1860 | 0,1860 | 14,1192 | 14,1192 |
| 30 | 9,75 | 10137 | 2688 | 0,1004 | 0,1005 | 10,2734 | 10,2786 |
| 40 | 9,80 | 10509 | 2784 | 0,0592 | 0,0592 | 7,2464 | 7,2502 |
| 50 | 10,00 | 9900 | 2475 | 0,0387 | 0,0387 | 5,2686 | 5,2686 |
| 60 | 10,25 | 10260 | 2565 | 0,0276 | 0,0276 | 3,9757 | 3,9757 |
| 70 | 10,50 | 10005 | 2655 | 0,0211 | 0,0212 | 3,0996 | 3,1018 |
| 80 | 10,50 | 10353 | 2745 | 0,0171 | 0,0171 | 2,4856 | 2,4874 |
| 90 | 11,00 | 10080 | 2520 | 0,0145 | 0,0145 | 2,0399 | 2,0399 |
| 100 | 11,00 | 10416 | 2604 | 0,0126 | 0,0126 | 1,7038 | 1,7038 |

Após a realização dos testes de convergência de malha, os resultados numéricos independentes de malha obtidos foram comparados aos apresentados por Salomon (2001), visando realizar a verificação do modelo computacional proposto. Portanto, na Fig. 5.6 são comparados os resultados para a deflexão central obtido no presente estudo utilizando condição de contorno de simetria (1/4 de placa) com os de Salomon (2001). Da mesma maneira, na Fig. 5.7 os resultados de tensão máxima são mostrados.

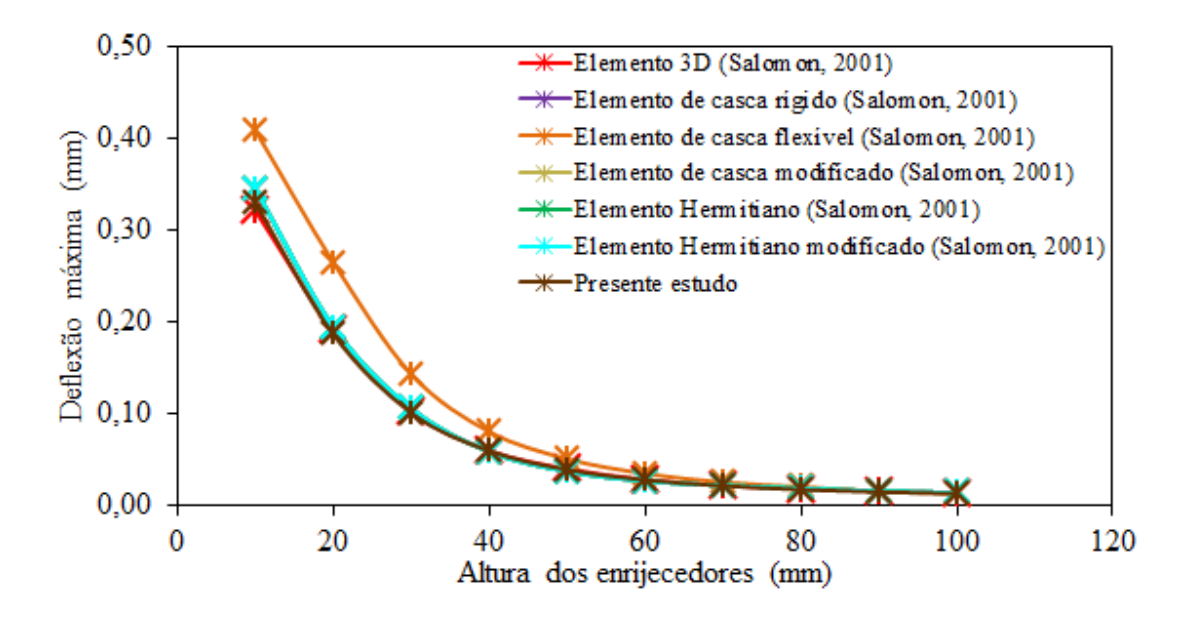


Figura 5.6. - Comparativo dos resultados numéricos de deflexão máxima

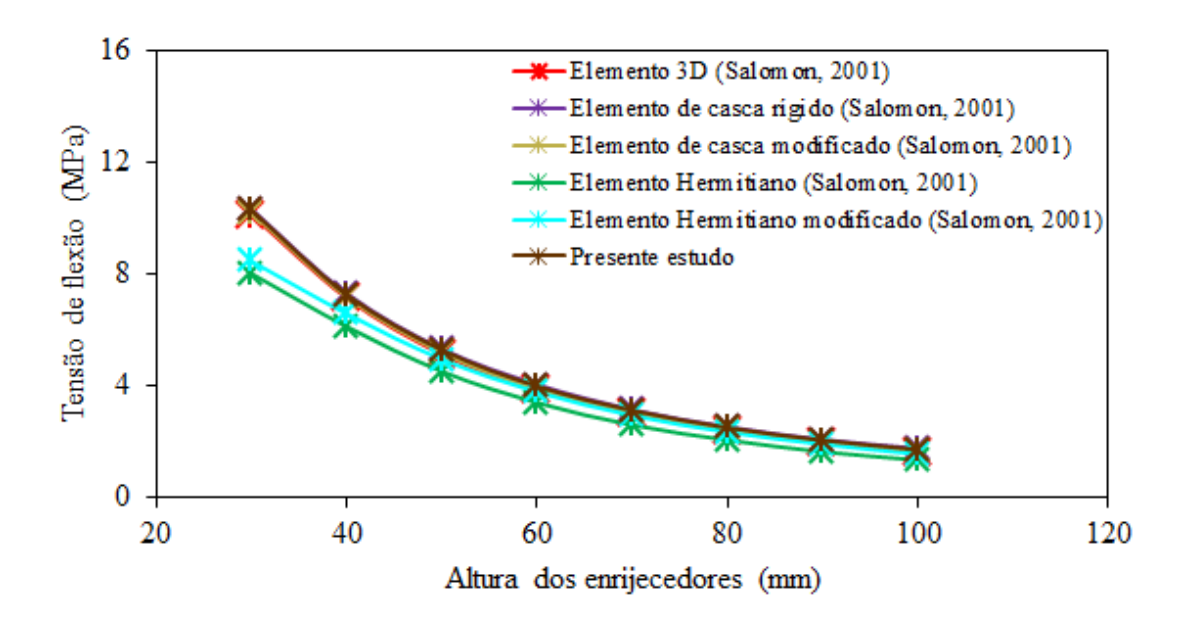


Figura 5.7. – Comparativo dos resultados numéricos da tensão de flexão dos enrijecedores

As Figs. 5.6 e 5.7 indicam que os resultados de deflexão e tensão, respectivamente, obtidos no presente estudo possuem boa concordância com os resultados apresentados por Salomon (2001). Dentre os modelos computacionais adotados em seu estudo o mais preciso é o com elemento 3D. Então, usando o modelo 3D como referência, pode-se constatar uma precisão de 99,41% para a altura de 40 mm, e 93,22% para a altura de 90 mm. Já, para a análise da tensão de flexão, o modelo de casca flexível não foi utilizado pelo autor. Logo, a comparação entre o modelo SHELL281

(Presente estudo) e o modelo 3D, constatou-se uma variação de tensão de 5,35% para a altura de 100 mm.

Após a verificação do modelo computacional baseado no elemento SHELL281 em relação aos modelos abordados por Salomon (2001), há a verificação da influência do local onde é aplicado condição de contorno de simetria. Nesta verificação a simetria passa por nenhum enrijecedor e, conforme pode ser observado nas Tab. 5.1, para a análise de deflexão não ocorreu nenhuma variação de resultado entre a placa inteira e a placa que considera a condição de contorno de simetria. Com relação à análise da tensão de von Mises, os resultados obtidos quando comparados tamanhos de elementos semelhantes (11 mm) também não ocorre nenhuma variação de resultado (5,5890 MPa para h = 100 mm) entre o modelo computacional que considera a placa inteira e o modelo que utiliza simetria. Assim, também é possível considerar verificado o modelo computacional que emprega a condição de contorno de simetria.

5.1.3. Placa com três enrijecedores longitudinais e quatro transversais

Os dados geométricos desta placa foram baseados na placa de referência de Troina (2017). Isto é, a placa apresenta um comprimento de 2,00 m, largura de 1,00 m, espessura de 0,02 m, e é de aço estrutural A-36 com módulo de elasticidade de 200 GPa e coeficiente de Poisson de 0,3. Foi submetida a um carregamento transversal uniformemente distribuído de 10 kPa e a aplicação da condição de vinculação de apoio simples é aplicada sobre toda a borda da placa e nas extremidades dos enrijecedores. A relação entre o volume de material transformado em enrijecedores e o volume da placa de referência é ϕ =0,3, ou seja, 30% do volume foram usados nos enrijecedores.

Inicialmente, um teste de convergência de malha para a placa com $h_s/t_s=53,4905$ será apresentado para a placa completa na intenção de determinar qual o tamanho mínimo de elemento finito que atenda a estabilização dos resultados das análises da deflexão e tensão de von Mises. Conforme pode ser observado na Fig. 5.8, o teste atingiu estabilização para a análise de deflexão com uma malha de 2466 elementos (tamanho de 46 mm) e necessita de um maior refinamento em sua malha (tamanho de elementos menores que 23 mm) para a análise da tensão de von Mises. Contudo, pela utilização de uma versão acadêmica do software ANSYS 18.2 há um limitante de 32.000 nós por simulação. Logo, pela incerteza da discrepância dos resultados da tensão de von Mises, o tamanho de elemento finito de 23 mm será adotado para esta verificação por ser o menor tamanho possível de ser simulado.

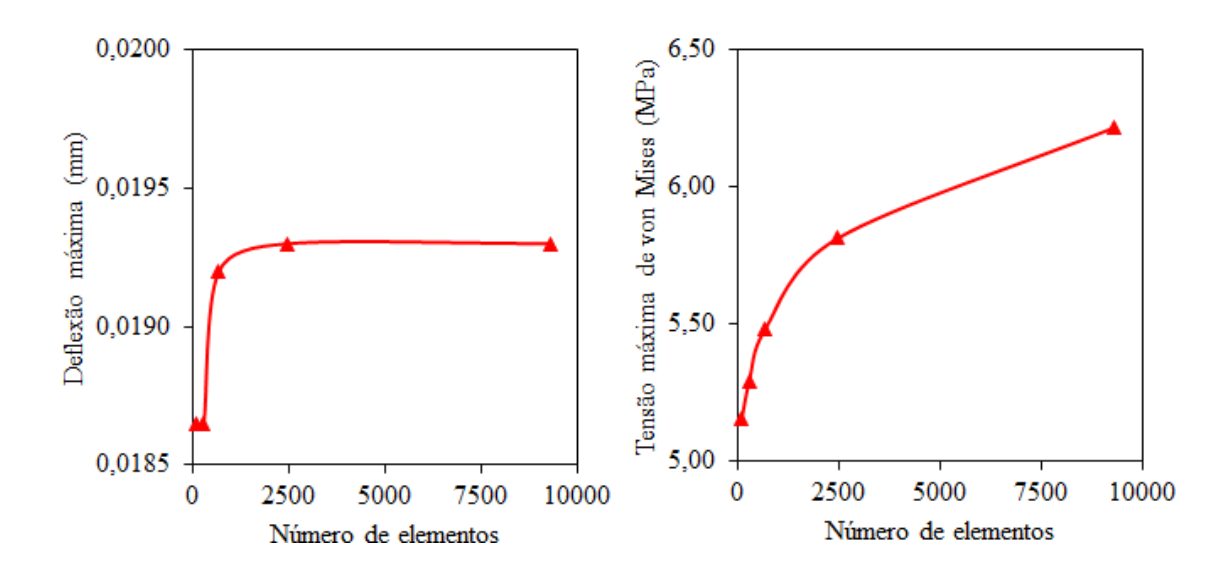


Figura 5.8. – Teste de convergência de malha para a placa com três enrijecedores longitudinais e quatro transversais com $h_s/t_s = 53,4905$

Na sequência, a Fig. 5.9 faz um comparativo entre os modelos numéricos baseado nos elementos finitos SHELL281 (Presente estudo) em relação ao modelo SOLID95 utilizado por Troina (2017). Nesta etapa da verificação, conforme pode ser percebido, demonstrou resultados bastante coerentes com o modelo computacional encontrado na literatura, pois a menor diferença entre os deslocamentos foi de 1,05% encontrado no h_s/t_s igual a 53,4905. Já, a maior diferença foi de 6,46% para o h_s/t_s igual a 1,2337.

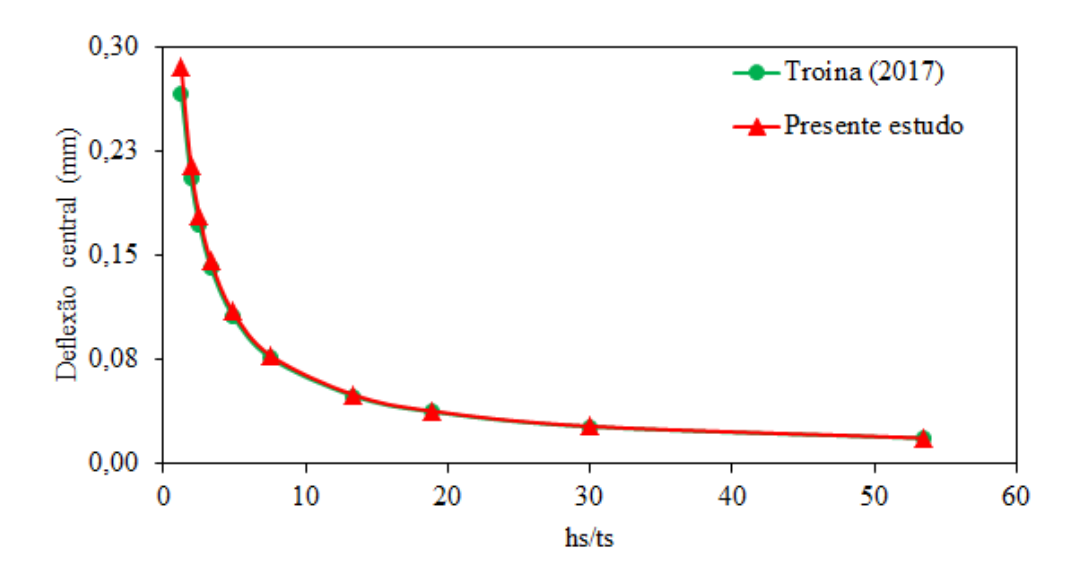


Figura 5.9. – Comparativo dos resultados numéricos da deflexão central da placa com três enrijecedores longitudinais e quatro transversais em relação à variação do grau de liberdade h_s/t_s

Com relação à influência do local onde é aplicada a condição de contorno de simetria, nesta etapa é averiguado se o local em que a simetria passa, cortando apenas um enrijecedor no sentido longitudinal, tem influência sobre os resultados. Para a geração dos resultados de deflexão e tensão, ocorreu a mudança da condição de vinculação de apoio simples para engaste em toda a borda da placa e dos enrijecedores. Os resultados numéricos obtidos para a placa inteira e 1/4 de placa com simetria e $h_s/t_s=53,4905$ foram idênticos, ou seja, ambas as simulações demonstraram uma deflexão máxima de 0,0096 mm e uma tensão de von Mises de 6,6266 MPa. Assim, conforme ocorreu nas outras verificações, os modelos computacionais que empregam a condição de contorno de simetria apenas no sentido longitudinal também podem ser considerado como verificado.

5.1.4. Placa com quatro enrijecedores longitudinais e cinco transversais

Os dados geométricos desta placa também foram baseados na placa de referência utilizada por Troina (2017). De forma análoga a placa com três enrijecedores longitudinais e quatro transversais, um teste de convergência de malha para a placa com $h_s/t_s = 91,7305$ será apresentado para a placa completa na intenção de determinar qual o tamanho mínimo de elemento finito que atenda a estabilização dos resultados das análises da deflexão e tensão de von Mises.

Observado na Fig. 5.10, o teste atingiu estabilização para a análise de deflexão com uma malha de 678 elementos (tamanho de 100 mm) e necessita de um maior refinamento em sua malha (tamanho de elementos menores que 25 mm) para a análise da tensão de von Mises. No entanto, pela utilização de uma versão acadêmica do software ANSYS 18.2 e pela incerteza da discrepância dos resultados da tensão de von Mises, o tamanho de elemento finito de 25 mm será adotado para esta verificação por ser o menor tamanho possível de ser simulado.

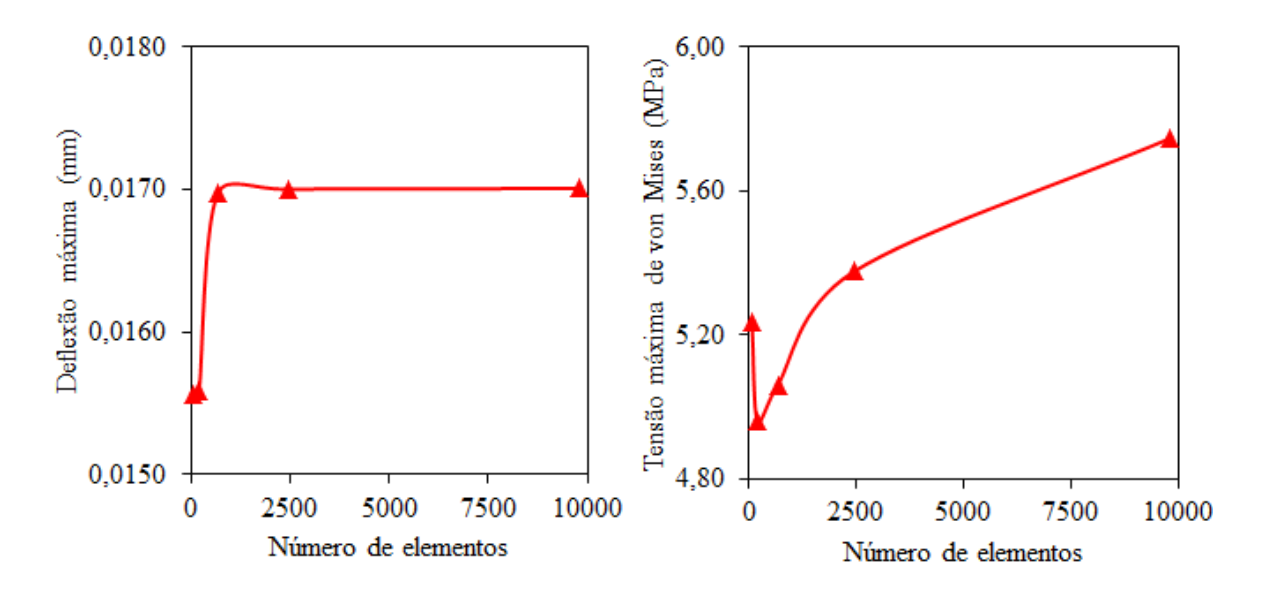


Figura 5.10. – Teste de convergência de malha para a placa com quatro enrijecedores longitudinais e cinco transversais com $h_s/t_s = 91,7305$

Após, a Fig. 5.11 faz um comparativo entre os modelos numéricos baseados nos elementos finitos SHELL281 (Presente estudo) em relação ao modelo com elemento finito SOLID95 utilizado por Troina (2017). A verificação demonstrou resultados bastante próximos com o modelo computacional encontrado na literatura, pois a menor diferença entre os deslocamentos foi de 1,14% encontrado no h_s/t_s = 91,7305 e a maior diferença foi de 6,04% para o h_s/t_s = 1,4890.

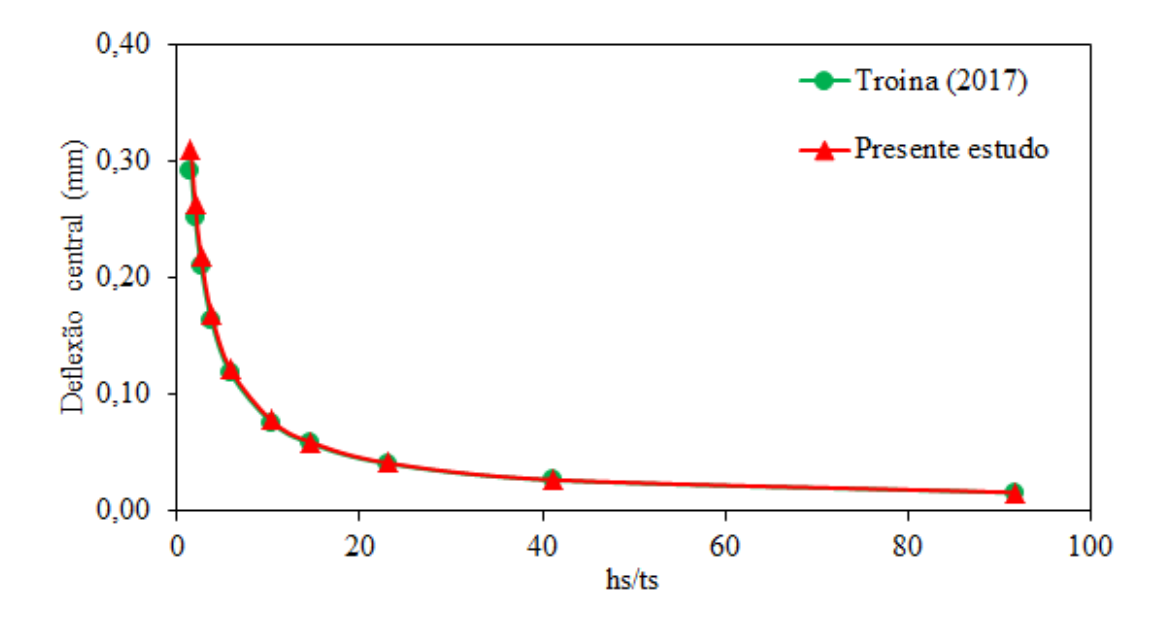


Figura 5.11. – Comparativo dos resultados numéricos da deflexão central da placa com quatro enrijecedores longitudinais e cinco transversais em relação à variação h_s/t_s

Na sequência, é averiguado se o local em que a condição de contorno de simetria é aplicada (cortando apenas um enrijecedor no sentido transversal) apresenta influência sobre os resultados de deflexão e tensão da placa com quatro enrijecedores longitudinais e cinco transversais com h_s/t_s = 91,7305. Para isto, conforme ocorreu na placa com três enrijecedores longitudinais e quatro transversais, uma mudança da condição de vinculação de apoio simples para engaste foi realizada. Então, ambas as simulações da placa inteira e 1/4 de placa com simetria demonstraram um resultado de deflexão máxima equivalendo a 0,0085 mm e uma diferença entre os resultados da tensão de von Mises menor que 0,1% (6,8190 MPa para a placa completa e 6,8191 MPa para a placa com simetria). Deste modo, conforme ocorreu nas outras verificações, o modelo computacional que emprega a condição de contorno de simetria apenas no sentido transversal também pode ser considerado verificado.

5.2. Teste de convergência de malha

O teste de convergência de malha foi desenvolvido na geometria da placa enrijecida com maior complexidade geométrica analisada nesta dissertação, ou seja, à placa com seis enrijecedores longitudinais e seis transversais P(6,6) com h_s/t_s igual a 66,3476. Na Fig. 5.12 é apresentado o domínio computacional desta placa, de modo que a Fig. 5.12 (a) representa o domínio discretizado da placa completa e a Fig. 5.12 (b) o domínio considerando a condição de contorno de simetria, isto é, somente 1/4 da placa da Fig. 5.12 (a).

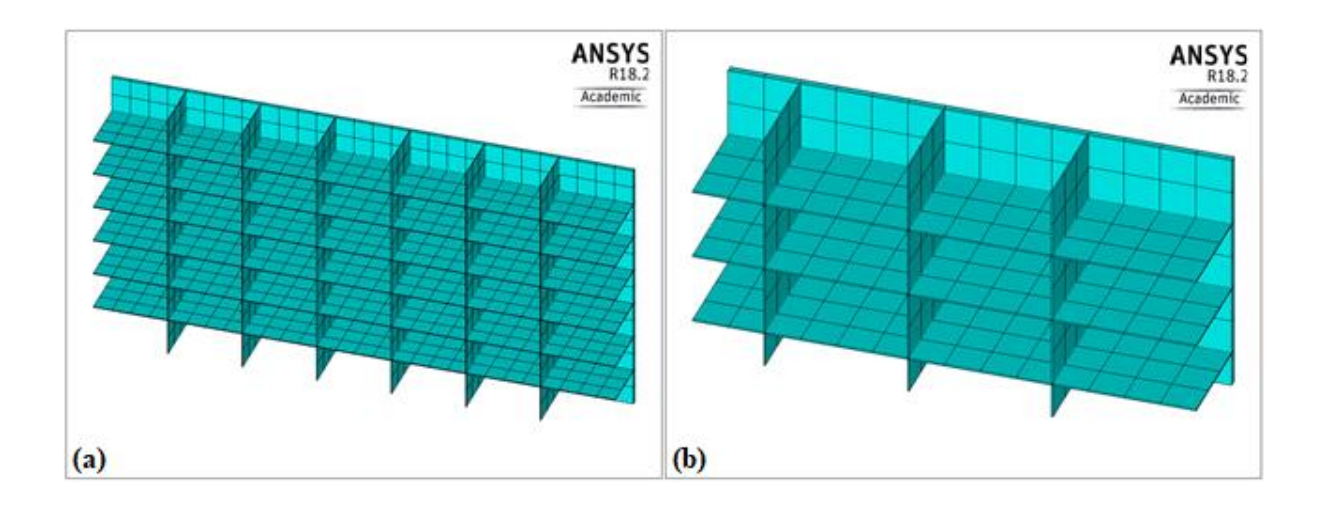


Figura 5.12. – Placa com enrijecedores P(6,6) com $h_s/t_s = 66,3476$: (a) domínio computacional da placa completa, e (b) domínio considerando 1/4 da placa

Na sequência, a Fig. 5.13 apresenta o teste de convergência de malha dos resultados

numéricos obtidos para uma análise de deflexão máxima e de tensão máxima de von Mises da placa P(6,6) com h_s/t_s igual a 66,3476 em que é considerado a condição de contorno de simetria. Observando a Figura 5.13, contatou-se que para a análise da deflexão foi possível determinar a solução de independência de malha, conforme pode ser observado na Fig. 5.13 (a). A malha utilizada necessitou de 91 elementos com tamanho de 384 mm. Já, para a análise da tensão de von Mises, os resultados obtidos indicam uma necessidade da utilização de malhas mais refinadas devido a não ocorrência da estabilização do teste. Entretanto, o software ANSYS 18.2 versão acadêmica limita as simulações a um uso máximo de 32.000 nós por simulação. Para este caso, elementos finitos menores do que 12 mm (10332 elementos) ultrapassam o limite de nós imposto pelo programa.

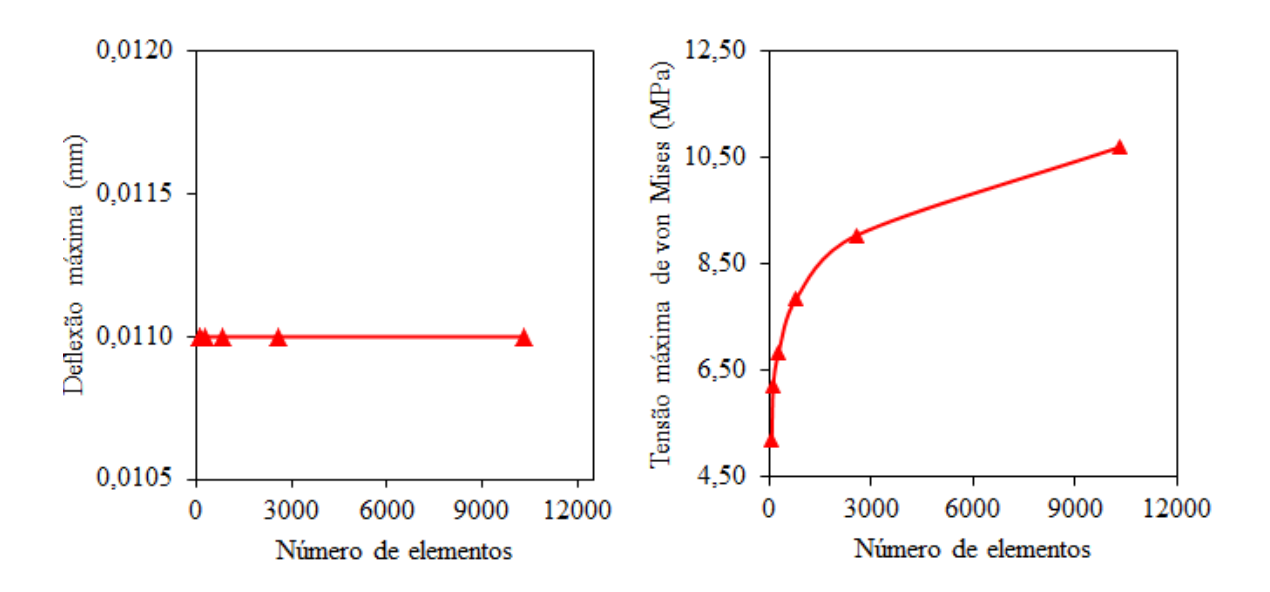


Figura 5.13. – Teste de convergência de malha para: (a) deflexão máxima e (b) tensão de von Mises da placa P(6,6) com h_s/t_s igual a 66,3476 com simetria

Consequentemente, outros testes de convergência de malha foram realizados para as demais geometrias $P(N_{ls}, N_{ts})$, onde varia os seguintes graus de liberdade: número de enrijecedores longitudinais $N_{ls} = 2, 3, 4, 5, 6$ e número de enrijecedores transversais $N_{ts} = 2, 3, 4, 5, 6$. O motivo é devido a não ocorrência da estabilização do teste de convergência malha para a análise da tensão da placa P(6,6) com h_s/t_s igual a 66,3476 com simetria. Nestes testes, expostos no Apêndice A, optaram-se em escolher sempre o menor tamanho de elemento possível devido à incerteza da discrepância dos resultados numéricos obtidos na análise da tensão de von Mises.

5.3. Aplicação do modelo computacional com simetria no estudo de caso

Após a verificação do modelo computacional SHELL281 empregando a condição de contorno de simetria e da realização do teste de convergência de malha, o estudo de caso foi simulado numericamente de modo que foi empregado o modelo computacional utilizando a condição de contorno de simetria. Após a simulação das 25 configurações geométricas de placas com enrijecedores, houve a elaboração de gráficos de dispersão de pontos com valores das deflexões máximas e tensões máximas de von Mises para cada combinação gerada $P(N_{ls}, N_{ts})$ em função do grau de liberdade h_s/t_s . Os resultados foram expostos nas Figs. 5.14, 5.15, 5.16, 5.17, 5.18. (para análise de deflexão máxima w das placas enrijecidas), 5.19, 5.20, 5.21, 5.22 e 5.23 (para análise da tensão máxima de von Mises σ_{vM} das placas enrijecidas); e, a Tab. 5.2 expõe cada configuração geométrica com seu respectivo tamanho de elemento simulado.

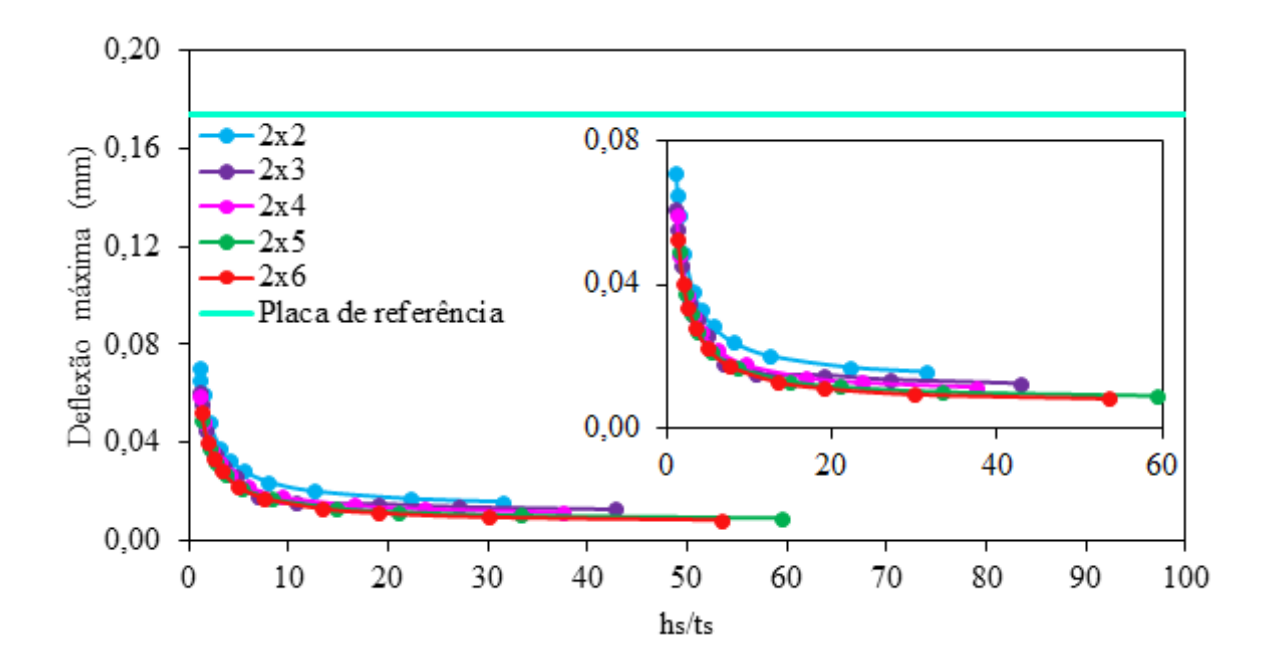


Figura 5.14. – Variações da deflexão máxima em função de h_s/t_s para $N_{ls}=2$

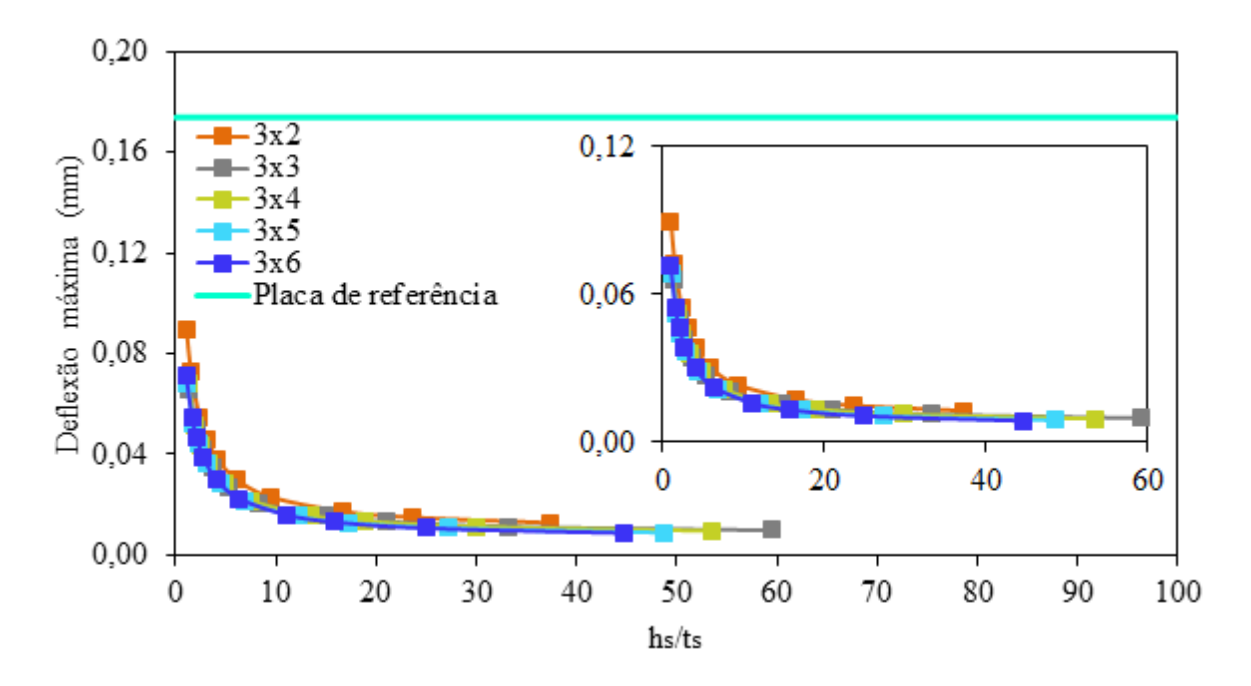


Figura 5.15. – Variações da deflexão máxima em função de h_s/t_s para $N_{ls}=3$

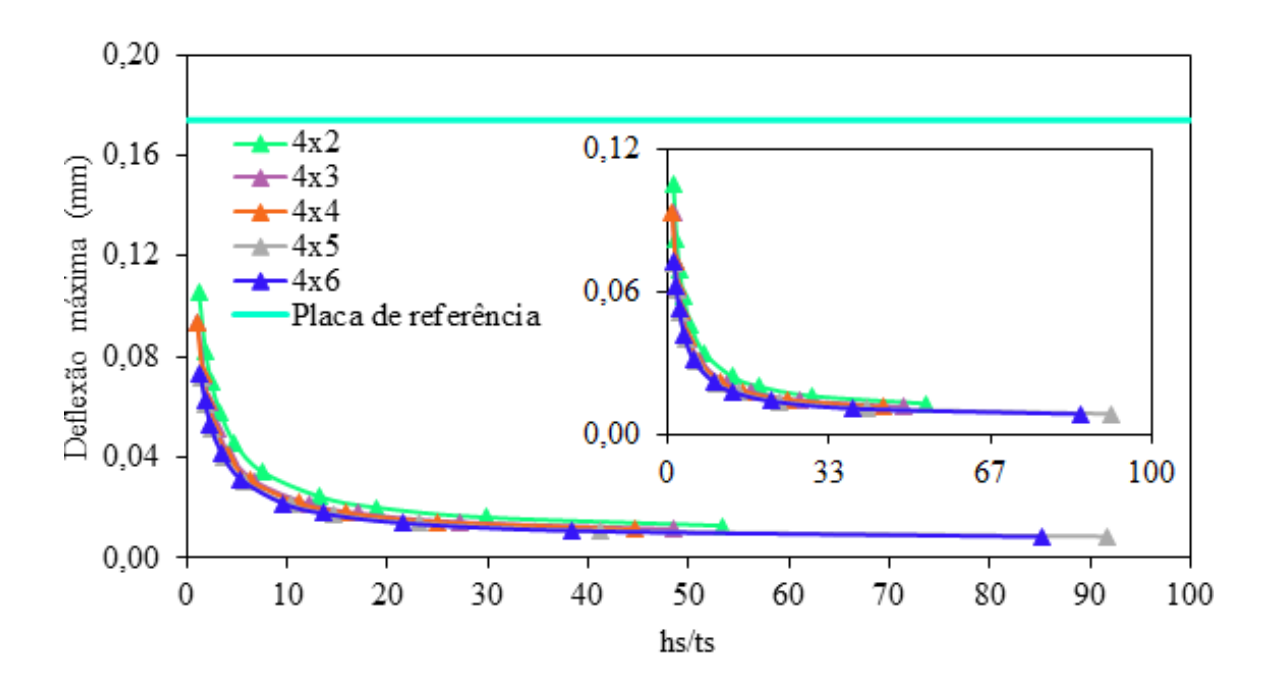


Figura 5.16. – Variações da deflexão máxima em função de h_s/t_s para $N_{ls}=4$

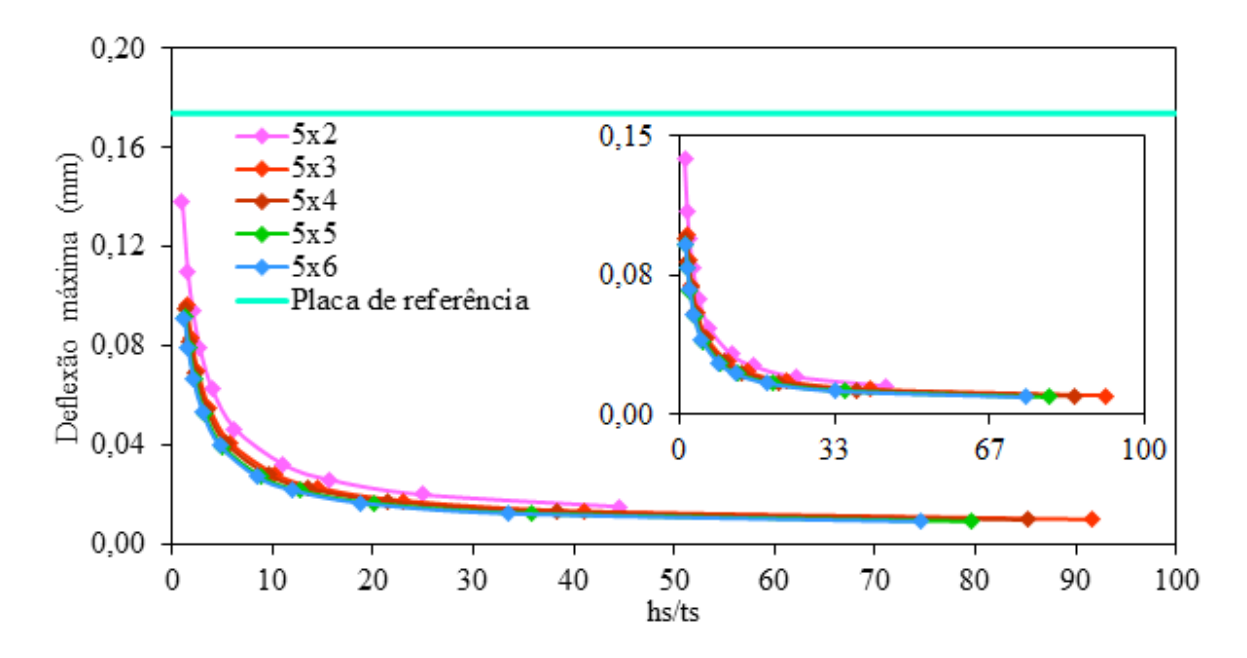


Figura 5.17. – Variações da deflexão máxima em função de h_s/t_s para $N_{ls}=5$

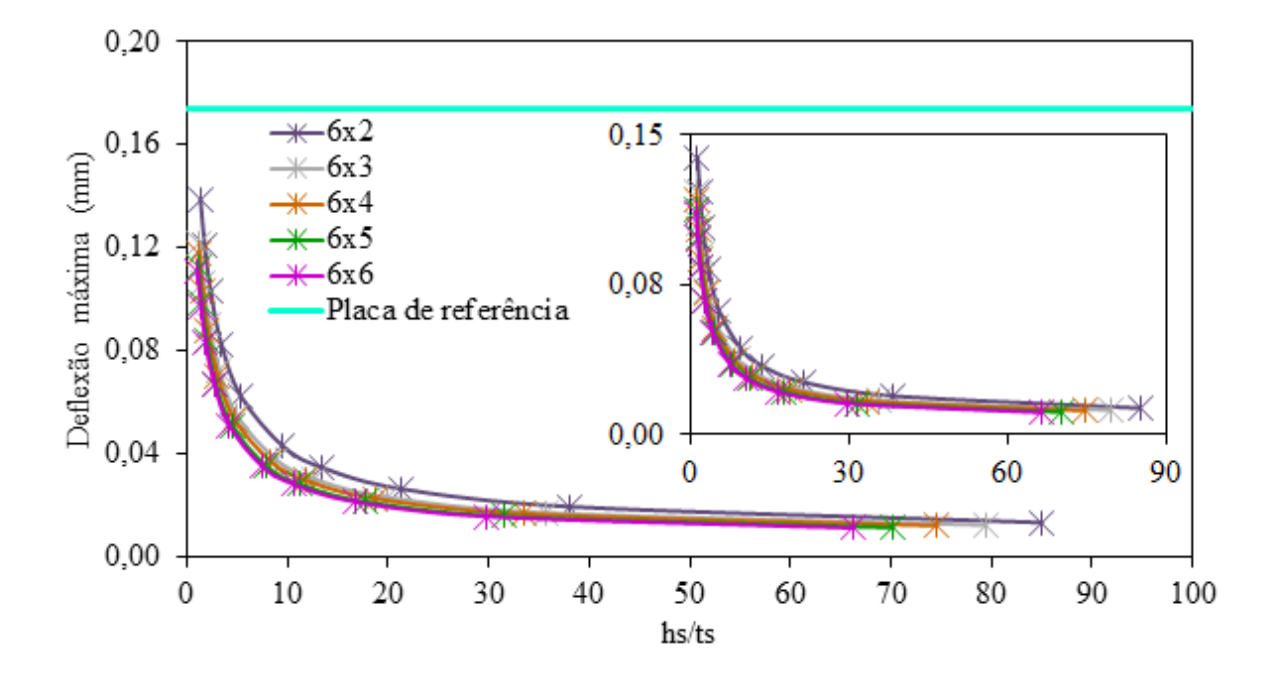


Figura 5.18. – Variações da deflexão máxima em função de h_s/t_s para $N_{ls}=6$

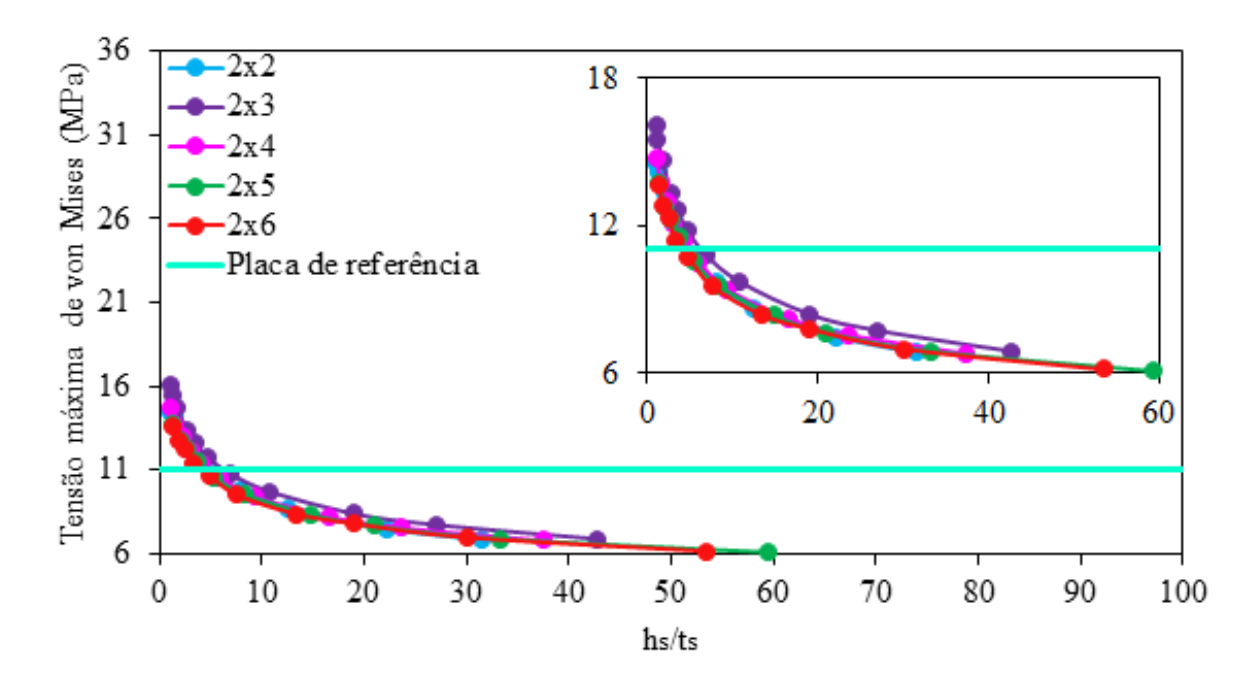


Figura 5.19. – Variações da tensão máxima de von Mises em função de h_s/t_s para $N_{ls}=2$

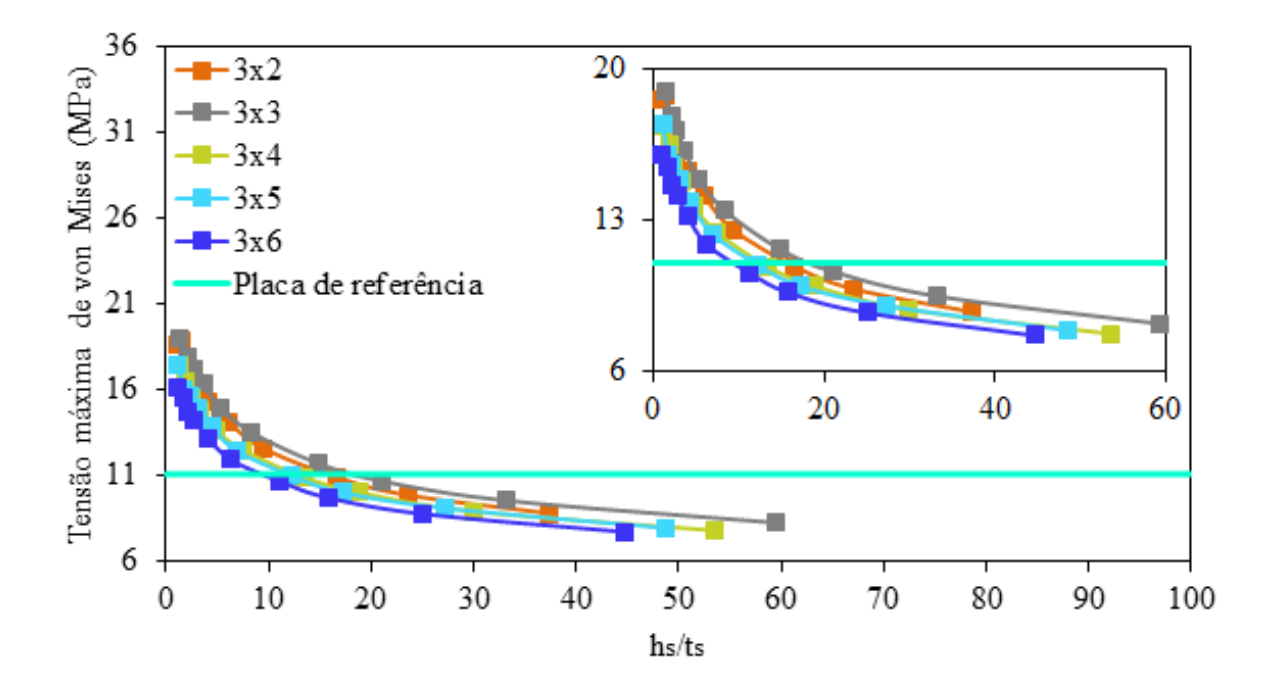


Figura 5.20. – Variações da tensão máxima de von Mises em função de h_s/t_s para $N_{ls}=3$

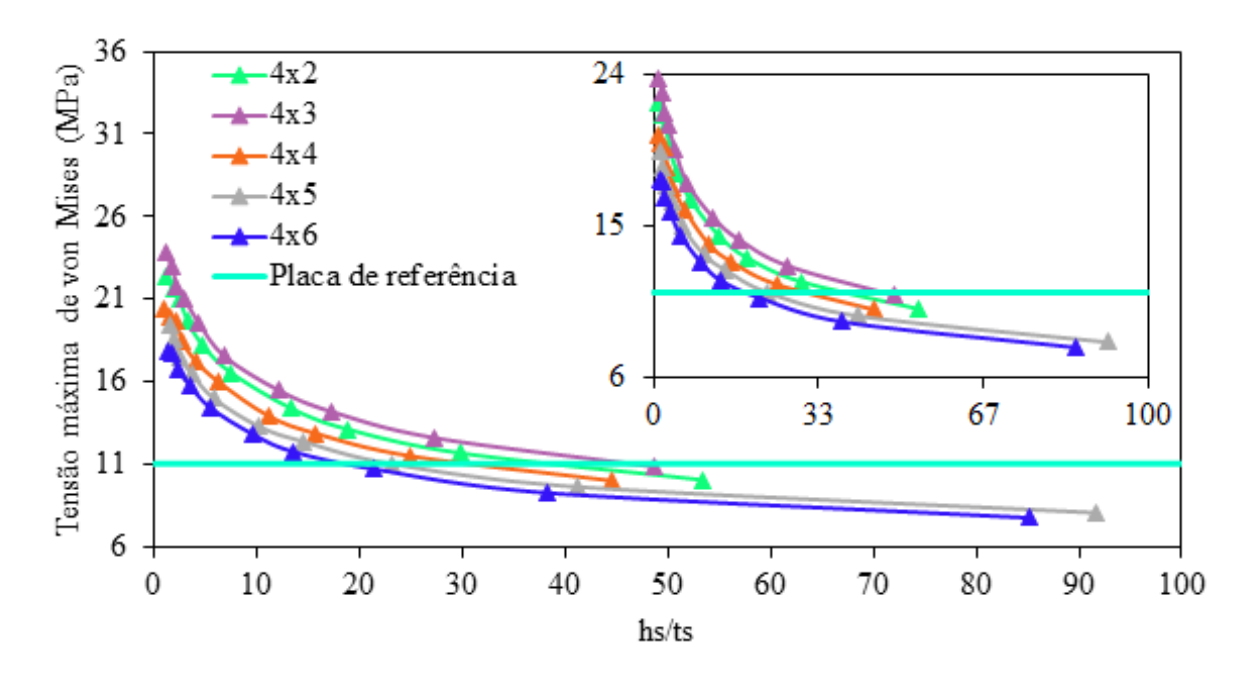


Figura 5.21. – Variações da tensão máxima de von Mises em função de h_s/t_s para $N_{ls}=4$

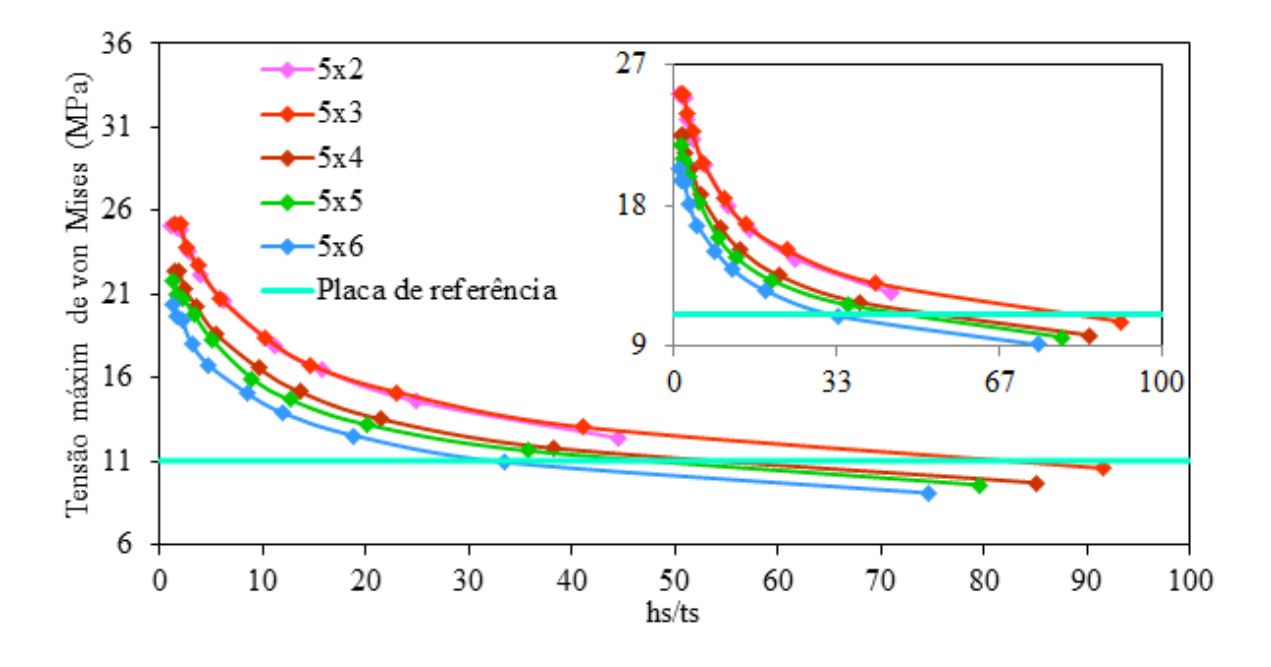


Figura 5.22. – Variações da tensão máxima de von Mises em função de h_s/t_s para $N_{ls}=5$

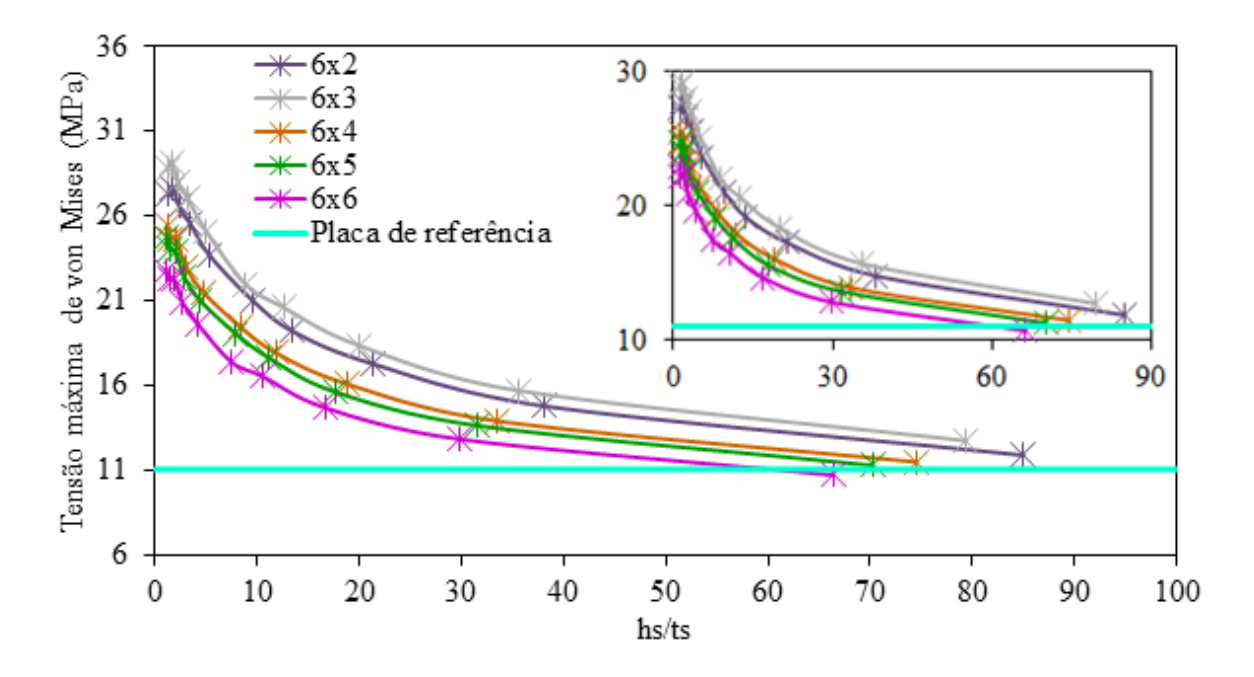


Figura 5.23. – Variações da tensão máxima de von Mises em função de h_s/t_s para $N_{ls}=6$

Tabela 5.2. Tamanho do elemento finito SHELL281 utilizado em cada $P(N_{ls}, N_{ts})$.

| $P(N_{ls}, N_{ts})$ | Tamanho de elemento (mm) |
|---------------------|--------------------------|
| P(2,2) | 9,50 |
| P(2,3) | 10,25 |
| P(2,4) | 10,00 |
| P(2,5) | 11,25 |
| P(2,6) | 10,75 |
| P(3,2) | 10,50 |
| P(3,3) | 11,50 |
| P(3,4) | 11,50 |
| P(3,5) | 11,50 |
| P(3,6) | 11,75 |
| P(4,2) | 11,00 |
| P(4,3) | 11,00 |
| P(4,4) | 11,00 |
| P(4,5) | 12,50 |
| P(4,6) | 12,35 |
| P(5,2) | 11,25 |
| P(5,3) | 13,00 |
| P(5,4) | 12,75 |
| P(5,5) | 12,85 |
| P(5,6) | 12,85 |
| P(6,2) | 12,00 |
| P(6,3) | 12,25 |
| P(6,4) | 12,25 |
| P(6,5) | 12,50 |
| P(6,6) | 12,00 |

Além disso, foi simulada numericamente e verificada por meios analíticos a deflexão central da placa de referência sem enrijecedor. Para a verificação foi utilizada a equação da deflexão central para placas engastadas, exposta na Tab. 2.1, e obtido um resultado de 0,1734 mm. Para a simulação no software ANSYS 18.2 versão acadêmica foi utilizado uma malha de 10296 elementos com tamanho de 7 mm e foi obtido um deslocamento central e máximo de 0,1739 mm e uma tensão máxima de von Mises igual a 11,0468 MPa. Conforme pode ser observado, o resultado analítico de Timoshenko e Woinowsky-Krieger (1959) foi 0,29% menor do que o valor numérico, demonstrando uma boa concordância entre os dois resultados.

Com relação aos resultados expostos nas Figs. 5.14 a 5.18 percebeu-se que a transformação de 30% de material da placa de referência em enrijecedores sempre conduz a uma melhoria em relação à deflexão, ou seja, todas as placas enrijecidas e engastadas nas suas bordas possuem deflexão máxima menor do que a placa de referência. Já para a tensão máxima de von Mises (Figs. 5.19 a 5.23), pode-se notar que configurações geométricas com valores de h_s/t_s maiores que aproximadamente 5 (Fig. 5.19), 10 (Fig. 5.20), 30 (Fig. 5.21), 45 (Fig. 5.22) e 65 (Fig. 5.23) apresentam comportamento mecânico superior à placa de referência e atingem tensões com magnitudes inferiores. Porém, para valores de h_s/t_s menores que estes valores, ocorreram um aumento na tensão máxima e, consequentemente, uma piora no comportamento mecânico. Outro aspecto constatado é que à medida que o valor de h_s/t_s aumenta, a deflexão (Figs. 5.14 a 5.18) e a tensão de von Mises (Fig. 5.19 a 5.23) das placas enrijecidas diminuem. Uma explicação para isto, de acordo com o que foi observado por Troina (2017), pode ser devido a um aumento do momento de inércia da seção transversal das novas estruturas formadas.

Na sequência a Tab. 5.3 mostra as melhores configurações geométrica para cada $P(N_{ls}, N_{ts})$, ou seja, as placas enrijecidas que melhor minimizaram a deflexão e a tensão de von Mises de cada combinação de enrijecedores longitudinais e transversais abordadas neste estudo.

Tabela 5.3. Melhores configurações geométricas que minimizaram as deflexões e as tensões.

| Placa | Número de elementos | h_s/t_s | w (mm) | $\sigma_{vM}(MPa)$ |
|--------|------------------------|-----------|--------|--------------------|
| P(2,2) | 10206 | 31,4176 | 0,0158 | 6,8348 |
| P(2,3) | 10398 | 42,7470 | 0,0126 | 6,8799 |
| P(2,4) | 9948 | 37,4378 | 0,0115 | 6,7789 |
| P(2,5) | 9900 | 59,4087 | 0,0091 | 6,0782 |
| P(2,6) | 10512 | 53,4905 | 0,0083 | 6,1451 |
| P(3,2) | 10128 | 37,3781 | 0,0128 | 8,7677 |
| P(3,3) | 10472 | 59,3771 | 0,0098 | 8,2325 |
| P(3,4) | 10124 | 53,4905 | 0,0096 | 7,7748 |
| P(3,5) | 10254 | 48,6658 | 0,0089 | 7,9187 |
| P(3,6) | 9970 | 44,6394 | 0,0087 | 7,6923 |
| P(4,2) | 10314 | 53,3885 | 0,0128 | 10,0742 |
| P(4,3) | 10564 | 48,6024 | 0,0114 | 10,8693 |
| P(4,4) | 10550 | 44,6038 | 0,0114 | 10,0198 |
| P(4,5) | 10080 | 91,7305 | 0,0085 | 8,0793 |
| P(4,6) | 10446 | 85,2262 | 0,0084 | 7,7685 |
| P(5,2) | 10035 | 44,4975 | 0,0154 | 12,3992 |
| P(5,3) | 10218 | 91,6179 | 0,0103 | 10,5903 |
| P(5,4) | 10488 | 85,1484 | 0,0101 | 9,7187 |
| P(5,5) | 10062 | 79,5323 | 0,0095 | 9,5940 |
| P(5,6) | 10287 | 74,6112 | 0,0093 | 9,1071 |
| P(6,2) | 10290 | 84,9932 | 0,0132 | 11,8790 |
| P(6,3) | 10374 | 79,4138 | 0,0122 | 12,7369 |
| P(6,4) | 10350 | 74,5218 | 0,0120 | 11,4844 |
| P(6,5) | 10044 | 70,1976 | 0,0112 | 11,2828 |
| P(6,6) | 10332 | 66,3476 | 0,0110 | 10,7066 |

Observando a Tab. 5.3, constatou-se que a placa enrijecida P(2,6) com h_s/t_s igual a 53,4905 apresentou a melhor minimização do resultado numérico da deflexão máxima obtida pelo modelo computacional desenvolvido no software ANSYS 18.2 versão acadêmica. O valor da deflexão foi 95,23% menor do que a deflexão máxima obtida pela placa de referência sem enrijecedor e em relação aos melhores resultados do grau de liberdade $N_{ls} = 3,4,5,6$, obteve-se as seguintes variações:

- P(2,6) com $h_s/t_s = 53,4905$ foi 4,60% menor do que a placa P(3,6) com $h_s/t_s = 44,6394$ (menor deflexão alcançada pelo grau de liberdade $N_{ls} = 3$).
- P(2,6) com $h_s/t_s = 53,4905$ foi 1,19% menor do que a placa P(4,6) com $h_s/t_s = 85,2262$ (menor deflexão alcançada pelo grau de liberdade $N_{ls} = 4$).
- P(2,6) com $h_s/t_s = 53,4905$ foi 10,75% menor do que a placa P(5,6) com $h_s/t_s = 74,6112$ (menor deflexão alcançada pelo grau de liberdade $N_{ls} = 5$).
- P(2,6) com $h_s/t_s = 53,4905$ foi 24,55% menor do que a placa P(6,6) com $h_s/t_s = 66,3476$ (menor deflexão alcançada pelo grau de liberdade $N_{ls} = 6$).

A respeito da análise da tensão, a placa enrijecida P(2,5) com $h_s/t_s = 59,4087$ foi a melhor combinação geométrica que minimizou a tensão de von Mises. O seu resultado numérico foi 44,98% inferior em relação à tensão sofrida pela placa sem enrijecedor e em relação aos melhores resultados do grau de liberdade $N_{ls} = 3,4,5,6$ para esta análise, obteve-se as seguintes variações:

- P(2,5) com $h_s/t_s = 59,4087$ foi 20,98% menor do que a placa P(3,6) com $h_s/t_s = 44,6394$ (menor tensão alcançada pelo grau de liberdade $N_{ls} = 3$).
- P(2,5) com $h_s/t_s = 59,4087$ foi 21,76% menor do que a placa P(4,6) com $h_s/t_s = 85,2262$ (menor tensão alcançada pelo grau de liberdade $N_{ls} = 4$).
- P(2,5) com $h_s/t_s = 59,4087$ foi 33,26% menor do que a placa P(5,6) com $h_s/t_s = 74,6112$ (menor tensão alcançada pelo grau de liberdade $N_{ls} = 5$).
- P(2,5) com $h_s/t_s = 59,4087$ foi 43,23% menor do que a placa P(6,6) com $h_s/t_s = 66,3476$ (menor tensão alcançada pelo grau de liberdade $N_{ls} = 6$).

Logo, ao analisar a influência do grau de liberdade N_{ts} (número de enrijecedores transversais), para os casos estudados, se notou que quando há seu aumento, de uma forma em geral, ocorre a diminuição da deflexão máxima e a diminuição da tensão máxima de von Mises das placas enrijecidas, conforme pode ser constatado na Fig. 5.24 e 5.25, respectivamente.

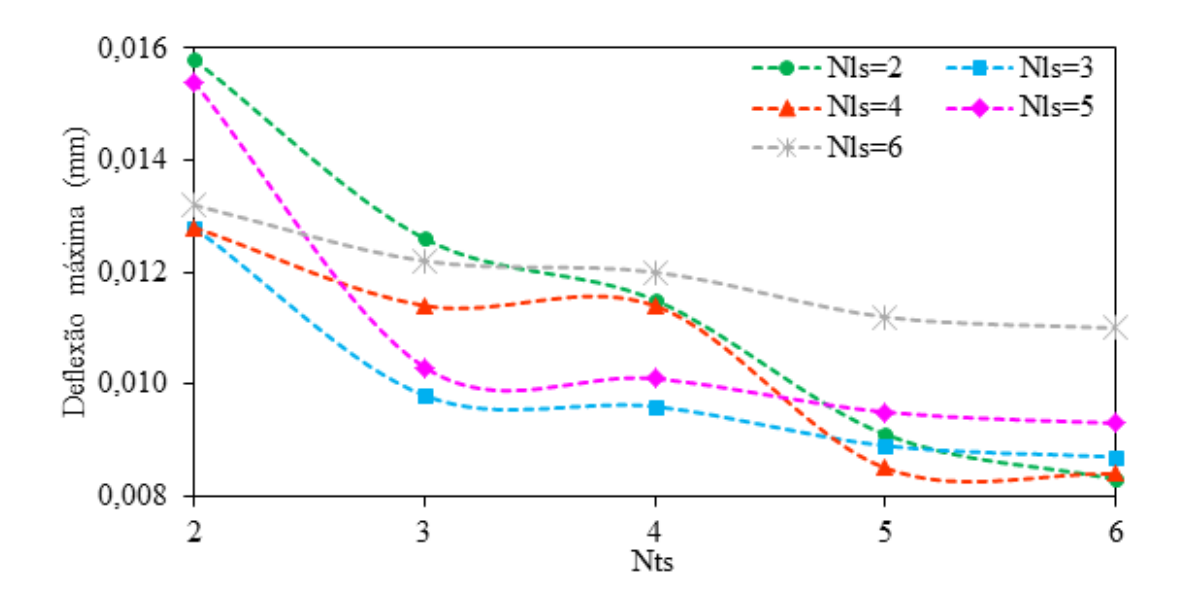


Figura 5.24. — Variações da deflexão máxima em função de N_{ts}

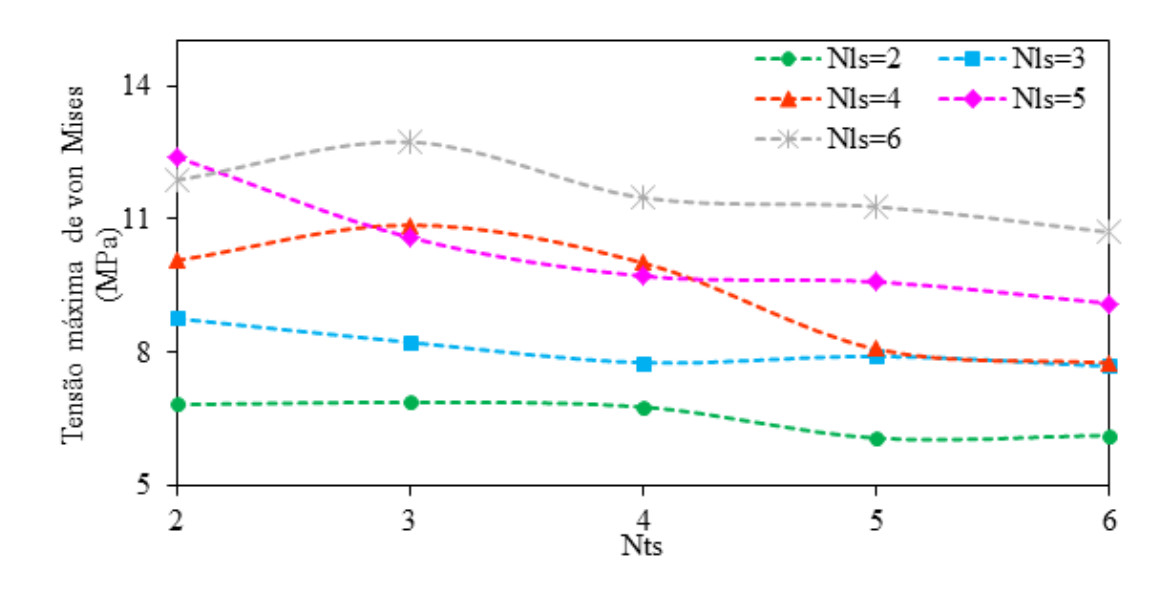


Figura 5.25. – Variações da tensão máxima de von Mises em função de N_{ts}

Por fim, uma avaliação qualitativa da forma defletida (Figs. 5.26, 5.27 e 5.28) e da distribuição de tensão (Figs. 5.29, 5.30 e 5.31) foram realizadas a partir dos resultados obtidos com o modelo computacional que emprega a condição de contorno de simetria em relação ao modelo que considera a placa inteira. Para isso, foi comparada a placa enrijecida P(2,6) com $h_s/t_s = 53,4905$ (melhor configuração geométrica defletida) em relação à placa P(6,2) com $h_s/t_s = 1,3581$ (pior configuração geométrica defletida), a placa P(2,5) com $P_s/t_s = 59,4087$ (melhor configuração geométrica para a tensão de von Mises) em relação a placa P(6,3) com $P_s/t_s = 1,2790$ (pior

configuração geométrica para a para a tensão de von Mises) e foi considerado a placa de referência para ambas as avaliações. Ainda, com relação às Figs. 5.26 a 5.31 se encontram acima os modelos computacionais que consideraram as placas completa e abaixo os modelos que empregaram a condição de contorno de simetria.

Observando as Figs. 5.26 a 5.31, é notada que as placas que utilizam a simetria demonstram uma boa semelhança na sua forma defletida. Já, para a distribuição de tensão, embora ainda seja bastante semelhante à placa com simetria em relação à placa inteira, esta característica não se manteve em virtude da placa que considera a condição de contorno de simetria utilizar uma malha bem mais refinada que a usada na placa inteira, ou seja, teoricamente o resultado mais acurado seria o modelo computacional que emprega a condição de simetria por apresentar uma malha com um maior número de elementos finitos.

Também, é notado que a variação da altura dos enrijecedores nas placas apresenta certo padrão na distribuição dos deslocamentos e das tensões. Por exemplo, a placa P(6,2) com $h_s/t_s = 1,3581$ (Fig. 5.27) tem o comportamento de deflexão mais global no centro da placa. De modo que a sua forma defletida é bastante semelhante à de uma placa que não contem nenhum enrijecedor em sua estrutura, conforme pode ser comparado a Fig. 5.26; e, a placa P(6,3) com h_s/t_s igual a 1,2790 (Fig. 5.30) demonstrou uma melhor distribuição das tensões ao longo de sua estrutura do que a placa de referência (Fig. 5.29). Entretanto, ocorreu uma maior concentração de tensão nos enrijecedores, de modo que sua magnitude máxima foi superior à placa não enrijecida, demonstrando uma piora em seu comportamento estrutural.

Enquanto que as placas P(2,6) com $h_s/t_s = 53,4905$ (Fig. 5.28) e P(2,5) com h_s/t_s igual a 59,4087 (Fig. 5.31) tem regiões confinadas entre os enrijecedores que se comportam como pequenas placas totalmente engastadas nas quatro bordas. Assim, demonstram uma melhora na rigidez e resistência estrutural pela maior influência dos enrijecedores e uma melhor distribuição dos deslocamentos e das tensões ao longo de sua estrutura do que as demais placas utilizadas nesta avaliação.

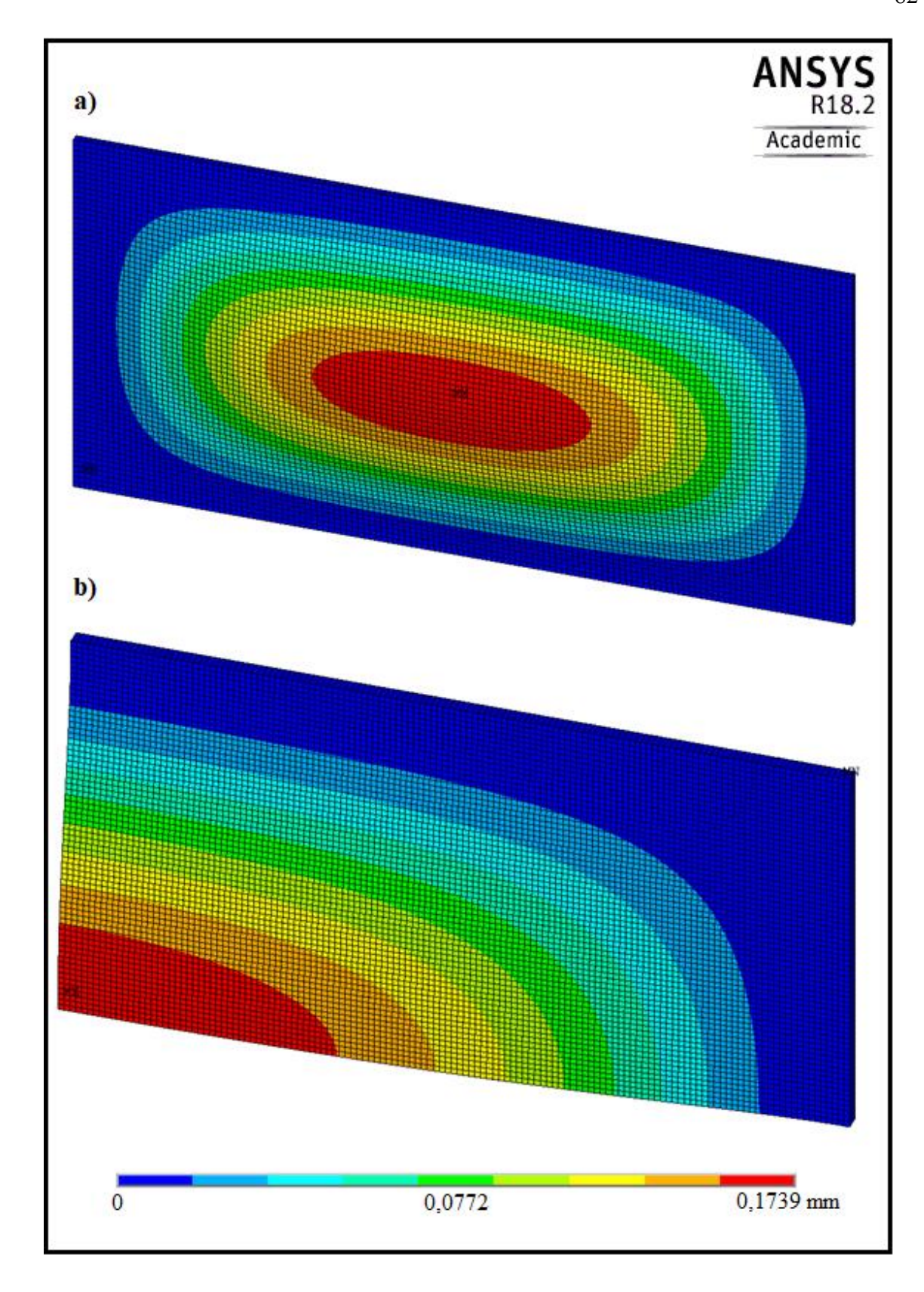


Figura 5.26. – Forma defletida da placa de referência sem enrijecedor a) inteira e b) considerando a condição de contorno de simetria

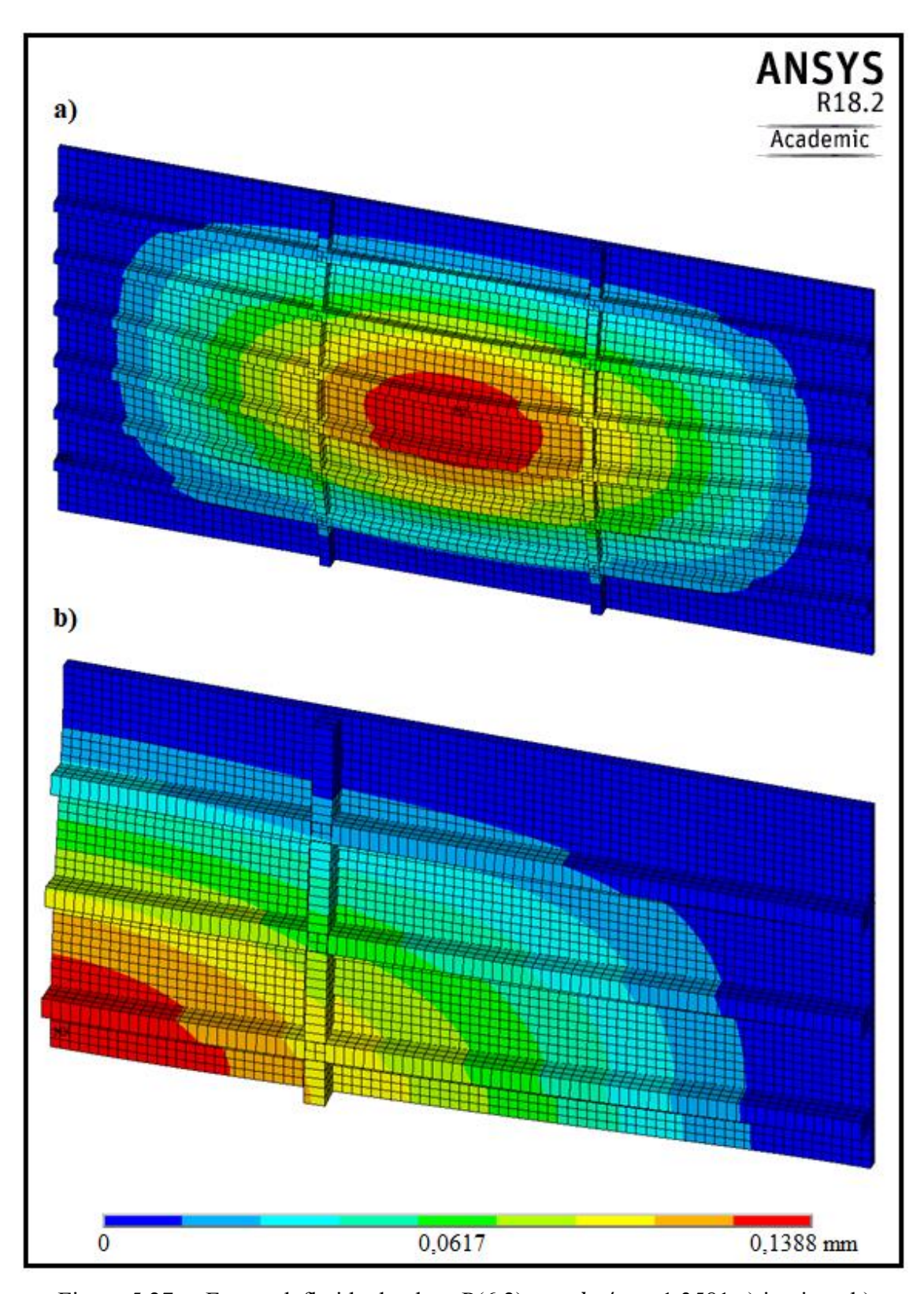


Figura 5.27. – Forma defletida da placa P(6,2) com $h_s/t_s = 1,3581$ a) inteira e b) considerando a condição de contorno de simetria

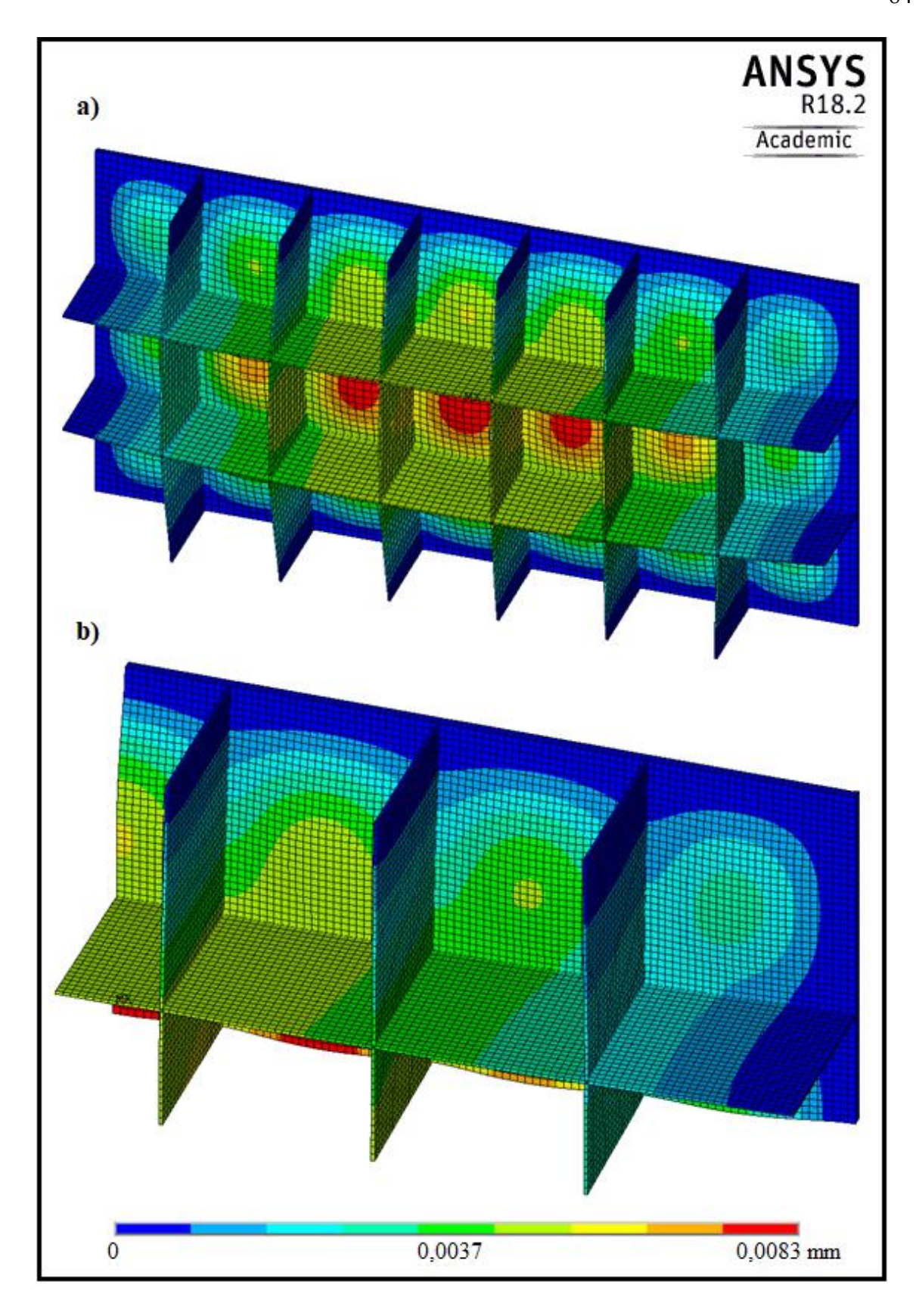


Figura 5.28. – Forma defletida da placa P(2,6) com $h_s/t_s = 53,4905$ a) inteira e b) considerando a condição de contorno de simetria

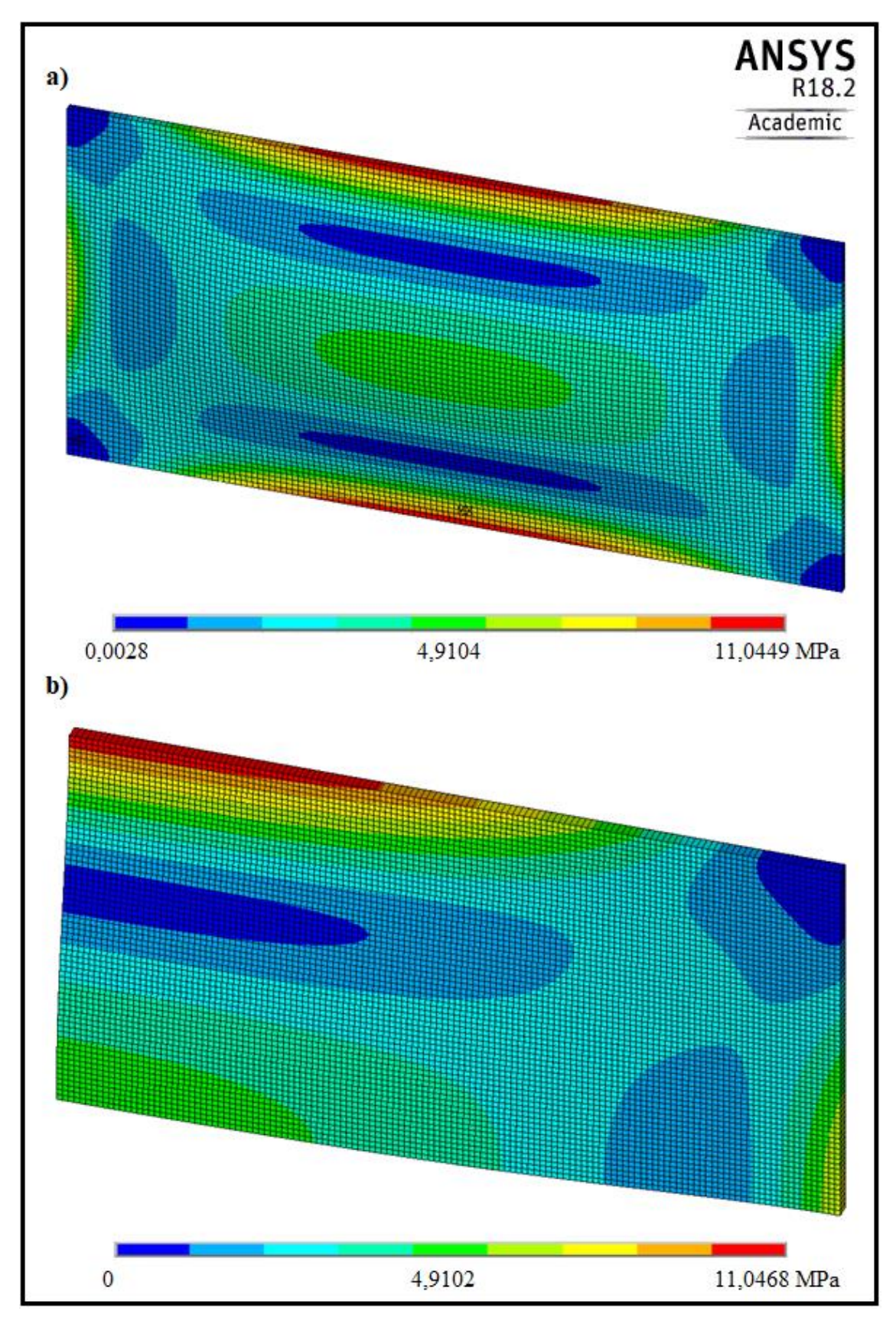


Figura 5.29. – Distribuição de tensões da placa de referência sem enrijecedor a) inteira e b) considerando a condição de contorno de simetria

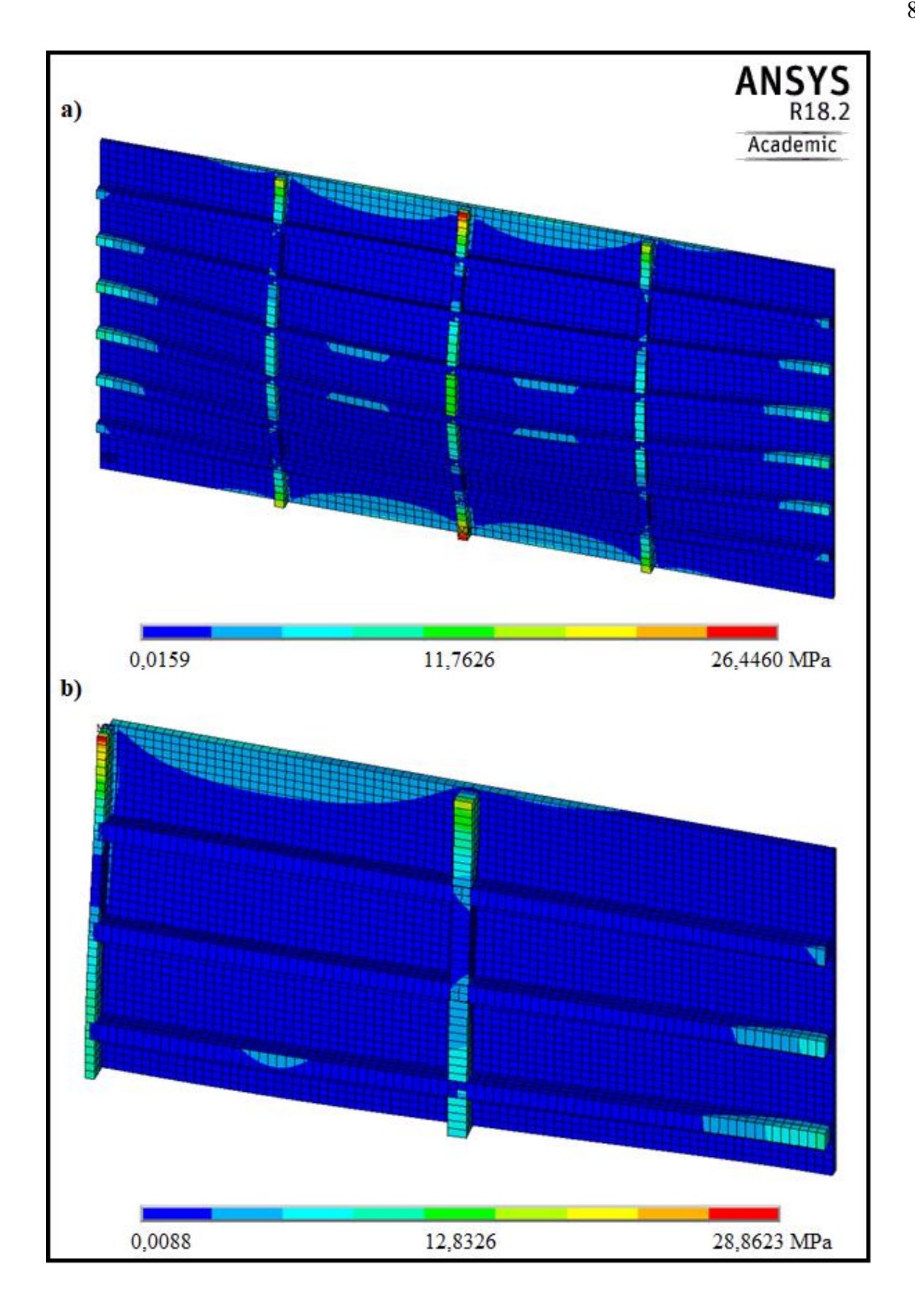


Figura 5.30. – Distribuição de tensões da placa P(6,3) com $h_s/t_s = 1,2790$ a) inteira e b) considerando a condição de contorno de simetria

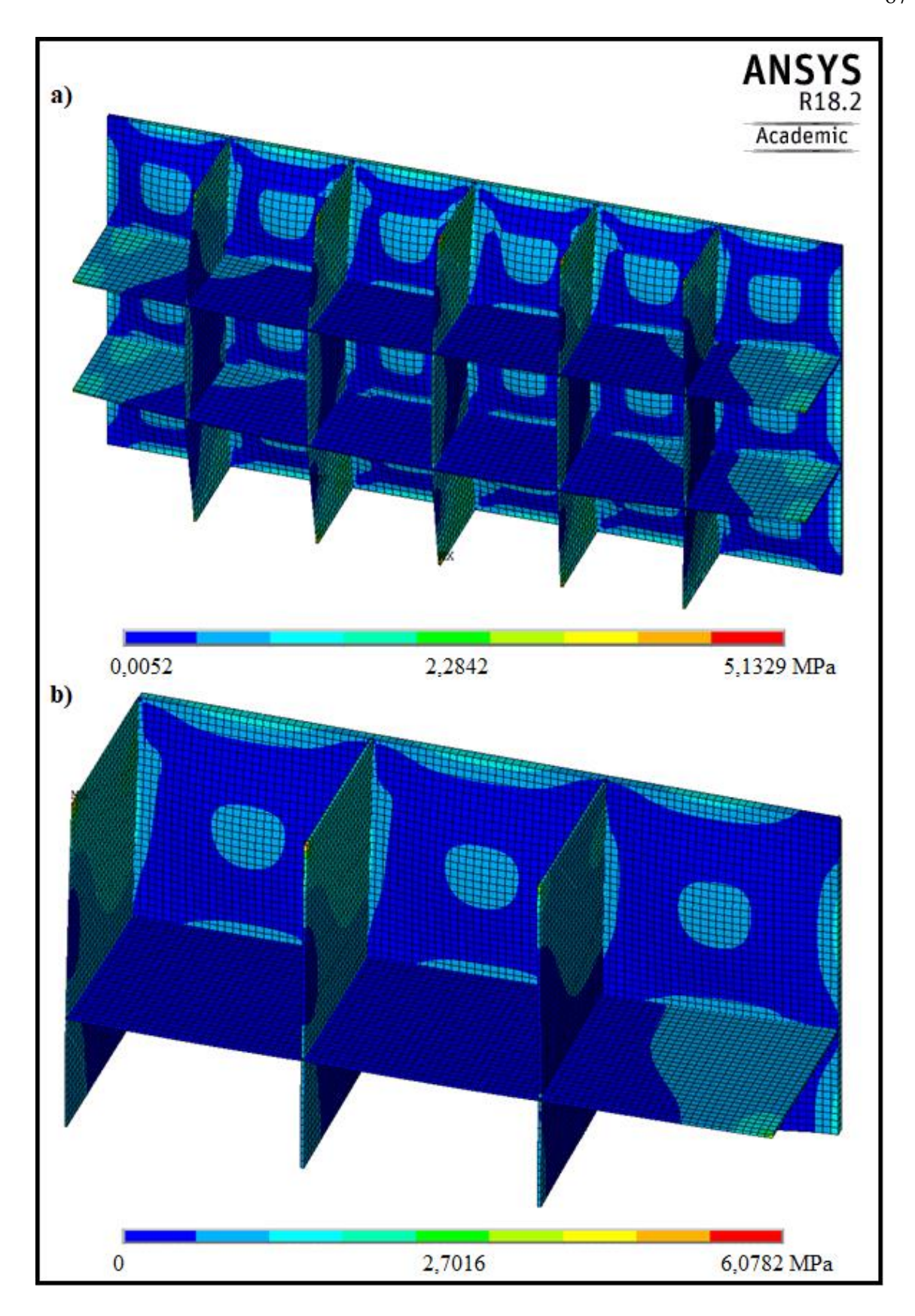


Figura 5.31. – Distribuição de tensões da placa P(2,5) com $h_s/t_s = 59,4087$ a) inteira e b) considerando a condição de contorno de simetria

6. CONCLUSÃO

A utilização do software ANSYS 18.2 versão acadêmica e o emprego do modelo computacional desenvolvido baseado no elemento finito SHELL281 com a condição de contorno de simetria possibilitaram a realização do estudo proposto. Para isso, diferentes configurações geométricas de placas com enrijecedores foram geradas a partir da aplicação do método Design Construtal em conjunto com a técnica da Busca Exaustiva. A aplicação deste método possibilitou determinar a melhor configuração geométrica de placa enrijecida que minimizasse a deflexão máxima e tensão máxima de von Mises. Para este propósito, parâmetros geométricos característicos de placas enrijecidas foram estudados.

O estudo possibilitou determinar um ganho de tempo no processamento computacional das simulações que utilizam a condição de contorno de simetria em 1/4 de placa na análise da deflexão, porque elas reduzem o domínio computacional do problema e, como consequência, necessitam de menos elementos finitos para sua discretização espacial. Por exemplo, a placa P(6,6) com h_s/t_s = 66,3476, apresentou uma redução de tempo no processamento computacional de 75,38% devido à placa com simetria necessitar de apenas 1 s para solucionar as equações de 2583 elementos; enquanto que a placa que considera o domínio computacional como inteiro necessitou de 4,06 s para solucionar as equações de 10.332 elementos finitos, isto para um mesmo tamanho de elemento finito. A respeito da memória RAM, alocada para solucionar estas equações, a placa sem simetria utilizou 747,25 MB; e, o domínio computacional que considera 1/4 de placa com simetria, necessitou de apenas 162,30 MB, demonstrando, assim, uma redução de 78,28%. Estas informações são válidas para um computador que apresenta um processador Intel ® Core TM i7-3770 CPU com uma frequência de 3,40 GHz e duas memórias RAM de 8GB, uma com uma frequência de 1333 MHz e outra com 1600 MHz.

A respeito da análise das tensões, considerando a análise linear-elástica realizada, os resultados obtidos indicaram a necessidade de continuidade do teste de convergência de malha, ou seja, a utilização de malhas mais refinadas. Porém, a versão acadêmica do software ANSYS 18.2 limita as simulações a um uso máximo de 32.000 nós. Malhas com tamanhos de elementos finitos menores do que os adotados no modelo com simetria ultrapassam esse limite de nós. Também, notou-se que a condição de contorno de simetria possibilita a utilização de malhas mais refinadas com relação às simulações que consideram a placa inteira no software ANSYS versão acadêmica. Esse é um aspecto importante, uma vez que a versão acadêmica do ANSYS possui uma limitação em relação ao refinamento de malha.

Com relação ao estudo de caso, demonstrou-se que a transformação de 30% do volume de uma placa sem enrijecedor em enrijecedores longitudinais e transversais acarreta, de uma maneira geral, numa melhoria do desempenho mecânico estrutural. Além disso, foi demonstrado que, além do número de enrijecedores longitudinais N_{ls} e enrijecedores transversais N_{ts} , a relação altura de enrijecedor por espessura de enrijecedor h_s/t_s teve uma forte influência na rigidez e na resistência das placas. O motivo é que foi constatado na análise da tensão que não foram todos os casos abordados que apresentaram uma resistência mecânica superior à placa de referência. Por exemplo, h_s/t_s menores que aproximadamente 5 (placas com $N_{ls}=2$), 10 (placas com $N_{ls}=3$), 30 (placas com $N_{ls}=4$), 45 (placas com $N_{ls}=5$) e 65 (placas com $N_{ls}=6$) apresentam uma piora na sua resistência mecânica. O pior caso desta análise foi à placa P(6,3) com $h_s/t_s=1,2790$, pois foi detectada uma tensão 161,27% acima do valor da tensão máxima obtida pela placa de referência. Assim, a análise das diferentes configurações geométricas com mesmo volume de material provou que o aumento do número de enrijecedores nem sempre implica em redução da tensão das placas, evidenciando a importância da avaliação geométrica nesse tipo de componente estrutural.

Ao analisar a influência do grau de liberdade N_{ts} , para os casos estudados, se notou que quando há seu aumento, de uma forma em geral, ocorre à diminuição da deflexão máxima e a diminuição da tensão máxima de von Mises das placas enrijecidas. Característica esta que não se repete ao grau de liberdade N_{ls} na análise da tensão de von Mises, pois foi observado que o seu aumento provoca uma piora no comportamento mecânico das placas enrijecidas.

A respeito das melhores configurações geométricas, a placa enrijecida que melhor minimizou a deflexão máxima foi à placa P(2,6) com $h_s/t_s=53,4905$ devido a uma redução de 95,23% em relação ao valor obtido pela placa de referência sem enrijecedores e uma redução de 94,02% em relação à placa P(6,2) com $h_s/t_s=1,3581$ (pior configuração geométrica defletida). Para a análise da tensão, a placa P(2,5) com $h_s/t_s=59,4087$ apresentou a melhor minimização do resultado numérico obtido da tensão máxima de von Mises, pois foi alcançado uma valor de tensão 44,98% menor do que o atingido pela placa de referência sem enrijecedor e 78,94% menor do que a tensão da placa P(6,3) com $h_s/t_s=1,2790$ (pior configuração geométrica da tensão de von Mises).

Portanto, foi possível desenvolver e verificar um modelo computacional que utiliza a condição de contorno de simetria para a análise de deflexão e análise de tensão das placas enrijecidas. Ademais, foi utilizado o Método Design Construtal, em conjunto com a modelagem computacional, na área da mecânica dos sólidos devido à possibilidade de determinar quais os parâmetros geométricos que melhor minimizam as deflexões e tensões geradas por um carregamento transversal.

6.1. Proposta de continuidade

Como proposta de continuidade desse trabalho para realização de pesquisas futuras, são feitas as seguintes sugestões:

- 1. Considerar diferentes frações de volumétricas $\phi > 0.30$ para avaliar a influência da fração volumétrica a ser transformada em enrijecedores transversais e longitudinais na análise de deflexão e de tensão.
- 2. Considerar diferentes combinações de placas $P(N_{ls}, N_{ts})$.
- 3. Considerar a utilização de um modelo computacional elasto-plástico para o comportamento do material, permitindo a determinação da tensão última nas placas enrijecidas.
- 4. Realizar um estudo considerando diferentes seções transversais para os enrijecedores no objetivo de investigar mais graus de liberdade no comportamento estrutural das placas.
- 5. Considerar diferentes espaçamentos entre os enrijecedores.
- 6. Utilizar diferentes condições de vinculação nas placas com enrijecedores ao considerar a condição de contorno de simetria.
- 7. Aplicar o Método Design Construtal com outros métodos computacionais, como por exemplo, com o Algoritmo Genético, Redes Neurais e Redes neuronebulosas; no objetivo de fazer novos dimensionamentos e otimizações do comportamento estrutural das placas enrijecidas.

7. REFERÊNCIAS

- ANSYS, Inc. ANSYS® Academic Research Mechanical, Release 18.2, Help System, Coupled Field Analysis Guide.
- BANAI, L.; PEDATZUR, O.; Computer implementation of an orthotropic plate model for quick estimation of the maximum deflection of stiffened plates. **Ships and offshores structures**, **1:4**, pp 323-333, 2010.
- BATHE, K. J.; Finite Element Procedures. Watertown, MA, 2014.
- BEDAIR, O. K.; Analysis of stiffened plates under lateral loading using sequential quadratic programming (SQP). **Computers & Structures, Vol. 62**, No. 1, pp 63-80, 1997.
- BEJAN, A.; LORENTE, S.; Design with Constructal Theory. Wiley, Hoboken, 2008.
- BEJAN, A.; The Physics of Life: the evolution of everything. St. Martin Press, New York, 2016.
- BELLEI, I. H.; Edifícios Industriais em aço (2ª ed.). São Paulo, 1998.
- BHASKAR, K.; PYDAH, A.; An elasticity approach for simply-supported isotropic and orthotropic stiffened plates. **International Journal of Mechanical Sciences**, **89**, pp 21-30, 2014.
- BHASKAR, K.; VARADAN, T. K.; **Plates Theories and Applications**. Ane Books Pvt. Ltd., New Delhi, India, 2013.
- BHAVIKATTI, S. S.; Finite Element Analysis. New Age International (P) Ltd, New Delhi, India, 2005.
- DE MELO, H. S., 2016. Um estudo comparativo entre métodos analíticos clássicos e numérico (MEF) para o cálculo de tabuleiro de pontes em grelhas. Dissertação de mestrado em Estruturas e Construção Civil, Departamento de Engenharia Civil e Ambiental, Universidade de Brasília.
- DONIN, C.; MACHADO, G. G.; Análise de modelos para a distribuição de ações em pontes rodoviárias dotada de múltiplas vigas utilizando o método dos elementos finitos. Revista Engenharia Estudo e Pesquisa Associação Brasileira de Pontes e Estruturas (ABPE), 48, pp 34-41, 2018.
- KHOURY, R.; HARDER, D.W. Numerical Methods and Modelling for Engineering. Springer International Publishing, 2016.
- KOLLI, M.; CHANDRASHEKHARA, K.; Finite element analysis of stiffened laminated plates under transverse loading. **Composites Science and Technology**, **56**, pp 1355-1361, 1996.
- KURRER, K.; The History of the Theory of Structures: Searching for Equilibrium. Wilhelm Ernst & Sohn, Berlin, Germany.

- LAW, A.M; KELTON, W.D.; Simulation Modeling and Analysis. McGraw-Hill, Singapore, 1991.
- LIU, G. R.; QUEK, S. S.; The finite Method: A Practical Course. Butterworth-Heinemann, Oxford, 2003.
- MARIA, A.; Introduction to modeling and simulation. Winter Simulation Conference **Proceedings**, pp 7-13, 1997.
- MOAVENI, S. Finite Element Analysis Theory and Application with ANSYS, Prentice-Hall inc., New Jersey, 1999.
- O'LEARY, J. R.; HARARI, I.; Finite Element Analysis of Stiffened Plates. Computers & Structures, Vol. 21, No. 5, pp 973-985, 1885.
- OROZCO, J. C. G., 2009. Contribuição ao estudo de painéis reforçados: comparação entre o método da chapa ortotrópica e o método dos elementos finitos. Dissertação de mestrado em Engenharia, Escola Politécnica, Universidade de São Paulo.
- PYDAH, A.; BHASKAR, K.; Accurate discrete modelling of stiffened isotropic and orthotropic rectangular plates. **Thin-Walled Structures**, **97**, pp 266-278, 2015.
- RAO, S. S.; The Finite Element Method in Engineering. Elsevier Inc., Burlington, 2011.
- REDDY, J. N.; Theory and Analysis of Elastic Plates and Shells. Taylor and Francis Group, 2007.
- REIS, A. H. Constructal theory: from engineering to physics, and how systems flow develop shape and structure. **Applied Mechanics Reviews, v. 59**, p. 269-281, 2006.
- ROCHA, L. A. O.; LORENTE, S.; BEJAN, A.; Constructal Law and the Unifying Principle of Design. Springer Science+Business Media, New York, 2013.
- ROSSOWT, M. P.; IBRAHIMKHAIL, A. K.; Constraint Method Analysis of Stiffened Plates. **Computers & Structures**, Vol. 8, pp 51-60, 1978.
- SALOMON, A.; An evaluation of finite element models of stiffened plates, 2001. Dissertação de mestrado em Engenharia Oceânica, de Massachusetts Institute of Technology.
- SAPOUNTZAKIS, E. J.; DIKAROS, I. C.; Large deflection analysis of plates stiffened by parallel beams. **Engineering Structures**, **35**, pp 254-271, 2012.
- SAPOUNTZAKIS, E. J.; KATSIKADELIS, J. T.; Analysis of plates reinforced with beams. **Computational Mechanics**, **26**, pp 66-74, 2000.
- SAPOUNTZAKIS, E. J.; MOKOS, V. G.; An improvement model for the analysis of plates stiffened by parallel beams with deformable connection. **Computers and Structures**, **86**, pp 2166-2181, 2008.

- SCHADE, H. A.; Design curves for cross-stiffened plating. **Transactions of SNAME, v. 49**, p. 154–182, 1941.
- SCHADE, H. A.; The effective breadth of stiffened plating under bending loads. **Transactions of SNAME**, v. 59, p. 127–141, 1951.
- SCHADE, H. A.; The orthogonally stiffened plate under uniform lateral load. Journal of **Applied Mechanics**, v. 7(4), p. 139–158, 1940
- SHANMUGAM, N. E.; WANG, C.M.; Analysis and design of plated structures. Woodhead Publishing Limited, Abington Hall, Cambridge, England, 2006.
- SILVA, H. B. S., 2010. **Análise numérica da influência da excentricidade na ligação placa-viga em pavimentos usuais de edifícios**. Dissertação de mestrado em Engenharia de Estruturas, Escola de Engenharia, Universidade Federal de São Carlos.
- SINGH, V. P.; **System Modeling and Simulation**. New Age International (P) Ltd., Publishers, New Delhi, 2009.
- STOLARSKI, T.; NAKASONE, Y.; YOSHIMOTO, S.; Engineering Analysis with ANSYS Software (2nd ed.). The Boulevard, Langford Lane, Kidlington, Oxford OX5 1GB, United Kingdom, 2018.
- SZILARD, R.; Theories and Applications of Plate Analysis: Classical Numerical and Engineering Methods. John Wiley & Sons, Inc., Hoboken, New Jersey, 2004.
- TIMOSHENKO, S.; WOINOWSKY-KRIEGER, S. Theory of plates and shells. McGraw Hill, 1959.
- TROINA, G. da S.; Modelagem computacional e Método Design Construtal aplicados à otimização geométrica de placas finas de aço com enrijecedores submetidas a carregamento transversal uniforme, 2017. Dissertação de mestrado em engenharia Oceânica, Escola de Engenharia, Universidade Federal do Rio Grande.
- VAZ, L. E.; Método dos elementos finitos em análise de estruturas (1ª ed.). Rio de Janeiro, 2011.
- VELLASCO, P. C. G.; DE LIMA, L. R. O.; DE ANDRADES, S. A. L.; VELLASCO, M. M. B. R.; DA SILVA, A. P. S.; Modelagem de estruturas de aço e mistas (1ª ed.). Rio de Janeiro, 2014.
- VENTSEL, E.; KRAUTHAMMER, T.; Thin Plates and Shells Theory, Analysis and Applications. Marcel Dekker, Inc., 2001.
- ZIENKIEWWICZ, O. C.; TAYLOR, R. L.; The Finite Element Method Volume 1: The basis. Butterworth-Heinemann, Oxford, 2000.

APÊNDICE A – Teste de convergência de malha das placas enrijecidas $P(N_{ls}, N_{ts})$

Tabela A.1. Teste de convergência de malha para a configuração geométrica P(2,2).

| Tamanho do elemento (mm) | Número de elementos | w (mm) | σ_{vM} (MPa) |
|--------------------------|---------------------|--------|---------------------|
| 304 | 27 | 0,015 | 2,942 |
| 152 | 84 | 0,016 | 3,570 |
| 76 | 231 | 0,016 | 4,294 |
| 38 | 699 | 0,016 | 4,947 |
| 19 | 2592 | 0,016 | 5,830 |
| 9,50 | 10206 | 0,016 | 6,8348 |

Tabela A.2. Teste de convergência de malha para a configuração geométrica P(2,3).

| Tamanho do elemento (mm) | Número de elementos | w (mm) | σ_{vM} (MPa) |
|--------------------------|---------------------|--------|---------------------|
| 328 | 22 | 0,014 | 2,873 |
| 164 | 88 | 0,012 | 3,547 |
| 82 | 254 | 0,013 | 4,292 |
| 41 | 782 | 0,013 | 4,964 |
| 20,50 | 2806 | 0,013 | 5,873 |
| 10,25 | 10398 | 0,013 | 6,8799 |

Tabela A.3. Teste de convergência de malha para a configuração geométrica P(2,4).

| Tamanho do elemento (mm) | Número de elementos | w (mm) | σ_{vM} (MPa) |
|--------------------------|---------------------|--------|---------------------|
| 320 | 26 | 0,012 | 2,953 |
| 160 | 104 | 0,011 | 3,627 |
| 80 | 234 | 0,012 | 4,066 |
| 40 | 705 | 0,012 | 4,862 |
| 20 | 2598 | 0,012 | 5,750 |
| 10 | 9948 | 0,012 | 6,7789 |

Tabela A.4. Teste de convergência de malha para a configuração geométrica P(2,5).

| Tamanho do elemento (mm) | Número de elementos | w (mm) | σ_{vM} (MPa) |
|--------------------------|---------------------|--------|---------------------|
| 360 | 21 | 0,006 | 2,646 |
| 180 | 48 | 0,010 | 3,073 |
| 90 | 192 | 0,009 | 3,763 |
| 45 | 708 | 0,009 | 4,392 |
| 22,50 | 2601 | 0,009 | 5,150 |
| 11,25 | 9900 | 0,009 | 6,0782 |

Tabela A.5. Teste de convergência de malha para a configuração geométrica P(2,6).

| Tamanho do elemento (mm) | Número de elementos | w (mm) | σ_{vM} (MPa) |
|--------------------------|---------------------|--------|---------------------|
| 344 | 37 | 0,009 | 2,675 |
| 172 | 53 | 0,009 | 3,172 |
| 86 | 180 | 0,008 | 3,623 |
| 43 | 720 | 0,008 | 4,363 |
| 21,50 | 2628 | 0,008 | 5,192 |
| 10,75 | 10512 | 0,008 | 6,1451 |

Tabela A.6. Teste de convergência de malha para a configuração geométrica P(3,2).

| Tamanho do elemento (mm) | Número de elementos | w (mm) | σ_{vM} (MPa) |
|--------------------------|---------------------|--------|---------------------|
| 336 | 14 | 0,011 | 3,694 |
| 168 | 56 | 0,013 | 4,707 |
| 84 | 162 | 0,013 | 5,269 |
| 42 | 648 | 0,013 | 6,315 |
| 21 | 2592 | 0,013 | 7,485 |
| 10,50 | 10128 | 0,013 | 8,7677 |

Tabela A.7. Teste de convergência de malha para a configuração geométrica P(3,3).

| Tamanho do elemento (mm) | Número de elementos | w (mm) | σ_{vM} (MPa) |
|--------------------------|---------------------|--------|---------------------|
| 368 | 20 | 0,008 | 3,371 |
| 184 | 64 | 0,010 | 4,272 |
| 92 | 213 | 0,010 | 5,148 |
| 46 | 740 | 0,010 | 6,005 |
| 23 | 2684 | 0,010 | 7,006 |
| 11,50 | 10472 | 0,010 | 8,2325 |

Tabela A.8. Teste de convergência de malha para a configuração geométrica P(3,4).

| Tamanho do elemento (mm) | Número de elementos | w (mm) | σ_{vM} (MPa) |
|--------------------------|---------------------|--------|---------------------|
| 368 | 24 | 0,008 | 3,270 |
| 184 | 96 | 0,010 | 4,146 |
| 92 | 216 | 0,009 | 4,653 |
| 46 | 744 | 0,010 | 5,600 |
| 23 | 2598 | 0,010 | 6,627 |
| 11,50 | 10124 | 0,010 | 7,7748 |

Tabela A.9. Teste de convergência de malha para a configuração geométrica P(3,5).

| Tamanho do elemento (mm) | Número de elementos | w (mm) | σ_{vM} (MPa) |
|--------------------------|---------------------|--------|---------------------|
| 368 | 18 | 0,007 | 3,368 |
| 184 | 72 | 0,009 | 4,325 |
| 92 | 198 | 0,009 | 4,840 |
| 46 | 792 | 0,009 | 5,807 |
| 23 | 2706 | 0,009 | 6,751 |
| 11,50 | 10254 | 0,009 | 7,9187 |

Tabela A.10. Teste de convergência de malha para a configuração geométrica P(3,6).

| Tamanho do elemento (mm) | Número de elementos | w (mm) | σ_{vM} (MPa) |
|--------------------------|---------------------|--------|---------------------|
| 376 | 34 | 0,008 | 3,416 |
| 188 | 80 | 0,009 | 4,317 |
| 94 | 222 | 0,009 | 4,813 |
| 47 | 796 | 0,009 | 5,553 |
| 23,50 | 2718 | 0,009 | 6,568 |
| 11,75 | 9970 | 0,009 | 7,6923 |

Tabela A.11. Teste de convergência de malha para a configuração geométrica P(4,2).

| Tamanho do elemento (mm) | Número de elementos | w (mm) | σ_{vM} (MPa) |
|--------------------------|---------------------|--------|---------------------|
| 352 | 26 | 0,013 | 4,634 |
| 176 | 64 | 0,013 | 5,348 |
| 88 | 222 | 0,013 | 6,038 |
| 44 | 738 | 0,013 | 7,226 |
| 22 | 2652 | 0,013 | 8,524 |
| 11 | 10314 | 0,013 | 10,0742 |

Tabela A.12. Teste de convergência de malha para a configuração geométrica P(4,3).

| Tamanho do elemento (mm) | Número de elementos | w (mm) | σ_{vM} (MPa) |
|--------------------------|---------------------|--------|---------------------|
| 352 | 38 | 0,011 | 4,943 |
| 176 | 74 | 0,011 | 5,955 |
| 88 | 252 | 0,011 | 6,709 |
| 44 | 828 | 0,011 | 8,002 |
| 22 | 2712 | 0,011 | 9,269 |
| 11 | 10564 | 0,011 | 10,8693 |

Tabela A.13. Teste de convergência de malha para a configuração geométrica P(4,4).

| Tamanho do elemento (mm) | Número de elementos | w (mm) | σ_{vM} (MPa) |
|--------------------------|---------------------|--------|---------------------|
| 352 | 45 | 0,012 | 4,655 |
| 176 | 110 | 0,011 | 5,593 |
| 88 | 300 | 0,011 | 6,294 |
| 44 | 775 | 0,011 | 7,186 |
| 22 | 2750 | 0,011 | 8,476 |
| 11 | 10550 | 0,011 | 10,0198 |

Tabela A.14. Teste de convergência de malha para a configuração geométrica P(4,5).

| Tamanho do elemento (mm) | Número de elementos | w (mm) | σ_{vM} (MPa) |
|--------------------------|---------------------|--------|---------------------|
| 400 | 36 | 0,008 | 4,122 |
| 200 | 84 | 0,009 | 4,245 |
| 100 | 177 | 0,009 | 4,729 |
| 50 | 642 | 0,009 | 5,718 |
| 25 | 2568 | 0,009 | 6,819 |
| 12,50 | 10088 | 0,009 | 8,0793 |

Tabela A.15. Teste de convergência de malha para a configuração geométrica P(4,6).

| Tamanho do elemento (mm) | Número de elementos | w (mm) | σ_{vM} (MPa) |
|--------------------------|---------------------|--------|---------------------|
| 395,20 | 64 | 0,008 | 3,740 |
| 197,60 | 93 | 0,009 | 4,166 |
| 98,80 | 314 | 0,008 | 4,712 |
| 49,40 | 837 | 0,008 | 5,662 |
| 24,70 | 2799 | 0,008 | 6,584 |
| 12,35 | 10046 | 0,008 | 7,7685 |

Tabela A.16. Teste de convergência de malha para a configuração geométrica P(5,2).

| Tamanho do elemento (mm) | Número de elementos | w (mm) | σ_{vM} (MPa) |
|--------------------------|---------------------|--------|---------------------|
| 360 | 21 | 0,015 | 5,665 |
| 180 | 60 | 0,015 | 6,886 |
| 90 | 198 | 0,015 | 7,780 |
| 45 | 708 | 0,015 | 8,963 |
| 22,50 | 2670 | 0,015 | 10,635 |
| 11,25 | 10035 | 0,015 | 12,3992 |

Tabela A.17. Teste de convergência de malha para a configuração geométrica P(5,3).

| Tamanho do elemento (mm) | Número de elementos | w (mm) | σ_{vM} (MPa) |
|--------------------------|---------------------|--------|---------------------|
| 416 | 30 | 0,010 | 4,665 |
| 208 | 66 | 0,010 | 5,596 |
| 104 | 186 | 0,010 | 6,294 |
| 52 | 744 | 0,010 | 7,623 |
| 26 | 2784 | 0,010 | 9,045 |
| 13,00 | 10218 | 0,010 | 10,5903 |

Tabela A.18. Teste de convergência de malha para a configuração geométrica P(5,4).

| Tamanho do elemento (mm) | Número de elementos | w (mm) | σ_{vM} (MPa) |
|--------------------------|---------------------|--------|---------------------|
| 408 | 36 | 0,010 | 4,239 |
| 204 | 57 | 0,010 | 5,177 |
| 102 | 186 | 0,010 | 5,842 |
| 51 | 744 | 0,010 | 7,054 |
| 25,50 | 2622 | 0,010 | 8,206 |
| 12,75 | 10488 | 0,010 | 9,7187 |

Tabela A.19. Teste de convergência de malha para a configuração geométrica P(5,5).

| Tamanho do elemento (mm) | Número de elementos | w (mm) | σ_{vM} (MPa) |
|--------------------------|---------------------|--------|---------------------|
| 411,20 | 27 | 0,009 | 4,263 |
| 205,60 | 72 | 0,009 | 5,243 |
| 102,80 | 234 | 0,009 | 5,916 |
| 51,40 | 747 | 0,009 | 6,845 |
| 25,70 | 2619 | 0,009 | 8,126 |
| 12,85 | 10062 | 0,009 | 9,5940 |

Tabela A.20. Teste de convergência de malha para a configuração geométrica P(5,6).

| Tamanho do elemento (mm) | Número de elementos | w (mm) | σ_{vM} (MPa) |
|--------------------------|---------------------|--------|---------------------|
| 411,20 | 51 | 0,009 | 4,517 |
| 205,60 | 81 | 0,009 | 5,048 |
| 102,80 | 264 | 0,009 | 5,697 |
| 51,40 | 747 | 0,009 | 6,583 |
| 25,70 | 2772 | 0,009 | 7,798 |
| 12,85 | 10287 | 0,009 | 9,1071 |

Tabela A.21. Teste de convergência de malha para a configuração geométrica P(6,2).

| Tamanho do elemento (mm) | Número de elementos | w (mm) | σ_{vM} (MPa) |
|--------------------------|---------------------|--------|---------------------|
| 384 | 37 | 0,014 | 5,839 |
| 192 | 92 | 0,014 | 6,387 |
| 96 | 213 | 0,014 | 7,123 |
| 48 | 756 | 0,014 | 8,607 |
| 24 | 2646 | 0,014 | 10,123 |
| 12 | 10290 | 0,014 | 11,8790 |

Tabela A.22. Teste de convergência de malha para a configuração geométrica P(6,3).

| Tamanho do elemento (mm) | Número de elementos | w (mm) | σ_{vM} (MPa) |
|--------------------------|---------------------|--------|---------------------|
| 392 | 54 | 0,012 | 6,103 |
| 196 | 106 | 0,012 | 7,007 |
| 98 | 234 | 0,012 | 7,791 |
| 49 | 872 | 0,012 | 9,396 |
| 24,50 | 2730 | 0,012 | 10,850 |
| 12,25 | 10374 | 0,012 | 12,7369 |

Tabela A.23. Teste de convergência de malha para a configuração geométrica P(6,4).

| Tamanho do elemento (mm) | Número de elementos | w (mm) | σ_{vM} (MPa) |
|--------------------------|---------------------|--------|---------------------|
| 392 | 64 | 0,012 | 5,421 |
| 196 | 158 | 0,012 | 6,437 |
| 98 | 282 | 0,012 | 7,133 |
| 49 | 865 | 0,012 | 8,237 |
| 24,50 | 2715 | 0,012 | 9,703 |
| 12,25 | 10350 | 0,012 | 11,484 |

Tabela A.24. Teste de convergência de malha para a configuração geométrica P(6,5).

| Tamanho do elemento (mm) | Número de elementos | w (mm) | σ_{vM} (MPa) |
|--------------------------|---------------------|--------|---------------------|
| 400 | 51 | 0,011 | 5,498 |
| 200 | 120 | 0,011 | 6,495 |
| 100 | 255 | 0,011 | 7,168 |
| 50 | 819 | 0,011 | 8,270 |
| 25 | 2583 | 0,011 | 9,526 |
| 12,50 | 10044 | 0,011 | 11,283 |

Tabela A.25. Teste de convergência de malha para a configuração geométrica P(6,6).

| Tamanho do elemento (mm) | Número de elementos | w (mm) | σ_{vM} (MPa) |
|--------------------------|---------------------|--------|---------------------|
| 384 | 91 | 0,011 | 5,201 |
| 192 | 133 | 0,011 | 6,213 |
| 96 | 287 | 0,011 | 6,830 |
| 48 | 819 | 0,011 | 7,871 |
| 24 | 2583 | 0,011 | 9,049 |
| 12 | 10332 | 0,011 | 10,707 |

APÊNDICE B – Resultados numéricos obtidos para cada configuração geométrica

Tabela B.1. Resultados numéricos para a placa P(2,2) com simetria.

| Número de elementos | h_s/t_s | w (mm) | σ_{vM} (MPa) |
|---------------------|-----------|--------|---------------------|
| 10206 | 31,4176 | 0,0158 | 6,8348 |
| 9558 | 22,1622 | 0,0171 | 7,4783 |
| 8586 | 12,5059 | 0,0202 | 8,6337 |
| 8100 | 7,9958 | 0,0240 | 9,7317 |
| 7776 | 5,4900 | 0,0284 | 10,7519 |
| 7452 | 4,1191 | 0,0328 | 11,4478 |
| 7290 | 3,1534 | 0,0379 | 12,2178 |
| 6966 | 2,0206 | 0,0486 | 13,2957 |
| 6804 | 1,4137 | 0,0596 | 14,1013 |
| 6804 | 1,2057 | 0,0651 | 14,5104 |
| 6642 | 1,0409 | 0,0708 | 14,5284 |

Tabela B.2. Resultados numéricos para a placa P(2,3) com simetria.

| Número de elementos | h_s/t_s | w (mm) | σ_{vM} (MPa) |
|---------------------|-----------|--------|---------------------|
| 10398 | 42,7470 | 0,0126 | 6,8799 |
| 9398 | 26,9707 | 0,0137 | 7,7307 |
| 8598 | 19,0309 | 0,0149 | 8,3861 |
| 7798 | 10,7456 | 0,0152 | 9,7220 |
| 7198 | 6,8746 | 0,0179 | 10,8012 |
| 6798 | 4,7232 | 0,0258 | 11,7685 |
| 6598 | 3,5459 | 0,0301 | 12,6044 |
| 6398 | 2,7163 | 0,0349 | 13,3343 |
| 6198 | 1,7427 | 0,0451 | 14,6654 |
| 5998 | 1,2208 | 0,0555 | 15,5114 |
| 5998 | 1,0419 | 0,0608 | 16,0325 |

Tabela B.3. Resultados numéricos para a placa P(2,4) com simetria.

| Número de elementos | h_s/t_s | w (mm) | σ_{vM} (MPa) |
|---------------------|-----------|--------|---------------------|
| 9948 | 37,4378 | 0,0115 | 6,7789 |
| 8938 | 23,6265 | 0,0128 | 7,5459 |
| 8332 | 16,6749 | 0,0142 | 8,2009 |
| 7524 | 9,4196 | 0,0177 | 9,3908 |
| 7120 | 6,0292 | 0,0219 | 10,4964 |
| 6716 | 4,1444 | 0,0268 | 11,3493 |
| 6514 | 3,1127 | 0,0316 | 12,0790 |
| 6514 | 2,3856 | 0,0369 | 12,9857 |
| 6110 | 1,5320 | 0,0481 | 13,7598 |
| 6110 | 1,0743 | 0,0591 | 14,7366 |

Tabela B.4. Resultados numéricos para a placa P(2,5) com simetria.

| Número de elementos | h_s/t_s | w (mm) | σ_{vM} (MPa) |
|---------------------|-----------|--------|---------------------|
| 9900 | 59,4087 | 0,0091 | 6,0782 |
| 8325 | 33,3017 | 0,0102 | 6,8835 |
| 7425 | 21,0202 | 0,0116 | 7,6380 |
| 6975 | 14,8380 | 0,0131 | 8,3247 |
| 6300 | 8,3850 | 0,0170 | 9,5352 |
| 5850 | 5,3689 | 0,0215 | 10,5471 |
| 5625 | 3,6919 | 0,0268 | 11,5471 |
| 5400 | 2,7738 | 0,0319 | 12,2159 |
| 5175 | 2,1267 | 0,0375 | 12,7509 |
| 4950 | 1,3668 | 0,0492 | 13,7197 |

Tabela B.5. Resultados numéricos para a placa P(2,6) com simetria.

| Número de elementos | h_s/t_s | w (mm) | σ_{vM} (MPa) |
|---------------------|-----------|--------|---------------------|
| 10512 | 53,4905 | 0,0083 | 6,1451 |
| 9060 | 29,9886 | 0,0095 | 6,9798 |
| 8334 | 18,9317 | 0,0112 | 7,8069 |
| 7608 | 13,3657 | 0,0130 | 8,3729 |
| 6882 | 7,5552 | 0,0173 | 9,5239 |
| 6640 | 4,8390 | 0,0224 | 10,6941 |
| 6156 | 3,3285 | 0,0283 | 11,3733 |
| 6156 | 2,5015 | 0,0339 | 12,2893 |
| 5914 | 1,9185 | 0,0401 | 12,7786 |
| 5672 | 1,2337 | 0,0526 | 13,6289 |

Tabela B.6. Resultados numéricos para a placa P(3,2) com simetria.

| Número de elementos | h_s/t_s | w (mm) | σ_{vM} (MPa) |
|---------------------|-----------|--------|---------------------|
| 10128 | 37,3781 | 0,0128 | 8,7677 |
| 8928 | 23,5790 | 0,0150 | 9,8358 |
| 8448 | 16,6349 | 0,0174 | 10,8690 |
| 7488 | 9,3895 | 0,0232 | 12,5800 |
| 7008 | 6,0049 | 0,0302 | 14,1201 |
| 6528 | 4,1242 | 0,0383 | 15,2818 |
| 6288 | 3,0951 | 0,0462 | 16,2333 |
| 6048 | 2,3702 | 0,0549 | 16,9834 |
| 5808 | 1,5196 | 0,0727 | 18,7997 |
| 5568 | 1,0637 | 0,0897 | 18,6356 |

Tabela B.7. Resultados numéricos para a placa P(3,3) com simetria.

| Número de elementos | h_s/t_s | w (mm) | σ_{vM} (MPa) |
|---------------------|-----------|--------|---------------------|
| 10472 | 59,3771 | 0,0098 | 8,2325 |
| 8888 | 33,2780 | 0,0113 | 9,5061 |
| 7832 | 21,0013 | 0,0133 | 10,6543 |
| 7304 | 14,8222 | 0,0154 | 11,6857 |
| 6512 | 8,3730 | 0,0208 | 13,4717 |
| 5984 | 5,3593 | 0,0272 | 14,9146 |
| 5720 | 3,6839 | 0,0347 | 16,2812 |
| 5456 | 2,7668 | 0,0419 | 17,1650 |
| 5192 | 2,1205 | 0,0499 | 17,8262 |
| 4928 | 1,3618 | 0,0660 | 18,9699 |

Tabela B.8. Resultados numéricos para a placa P(3,4) com simetria.

| Número de elementos | h_s/t_s | w (mm) | σ_{vM} (MPa) |
|---------------------|-----------|--------|---------------------|
| 10124 | 53,4905 | 0,0096 | 7,7748 |
| 8516 | 29,9886 | 0,0113 | 8,8814 |
| 7712 | 18,9317 | 0,0135 | 9,9815 |
| 7176 | 13,3657 | 0,0158 | 10,8857 |
| 6372 | 7,5552 | 0,0216 | 12,4295 |
| 5836 | 4,8390 | 0,0284 | 13,6485 |
| 5568 | 3,3285 | 0,0362 | 14,8041 |
| 5300 | 2,5015 | 0,0437 | 15,5001 |
| 5300 | 1,9185 | 0,0518 | 16,4882 |
| 5032 | 1,2337 | 0,0681 | 17,4006 |

Tabela B.9. Resultados numéricos para a placa P(3,5) com simetria.

| Número de elementos | h_s/t_s | w (mm) | σ_{vM} (MPa) |
|---------------------|-----------|--------|---------------------|
| 10254 | 48,6658 | 0,0089 | 7,9187 |
| 8724 | 27,2909 | 0,0106 | 9,0655 |
| 7500 | 17,2335 | 0,0129 | 9,9775 |
| 7194 | 12,1698 | 0,0153 | 10,9793 |
| 6276 | 6,8828 | 0,0214 | 12,4059 |
| 5970 | 4,4108 | 0,0285 | 13,8333 |
| 5664 | 3,0357 | 0,0365 | 14,9456 |
| 5358 | 2,2826 | 0,0441 | 15,6090 |
| 5052 | 1,7516 | 0,0523 | 16,0348 |
| 5052 | 1,1277 | 0,0684 | 17,4606 |

Tabela B.10. Resultados numéricos para a placa P(3,6) com simetria.

| Número de elementos | h_s/t_s | w (mm) | σ _{vM} (MPa) |
|---------------------|-----------|--------|-----------------------|
| 9970 | 44,6394 | 0,0087 | 7,6923 |
| 8400 | 25,0385 | 0,0106 | 8,7328 |
| 7458 | 15,8148 | 0,0131 | 9,6754 |
| 7144 | 11,1704 | 0,0159 | 10,6143 |
| 6202 | 6,3204 | 0,0224 | 11,8852 |
| 5888 | 4,0522 | 0,0300 | 13,1769 |
| 5574 | 2,7903 | 0,0385 | 14,1365 |
| 5260 | 2,0990 | 0,0464 | 14,6342 |
| 5260 | 1,6114 | 0,0548 | 15,4928 |
| 4946 | 1,0384 | 0,0712 | 16,0849 |

Tabela B.11. Resultados numéricos para a placa P(4,2) com simetria.

| Número de elementos | h_s/t_s | w (mm) | σ_{vM} (MPa) |
|---------------------|-----------|--------|---------------------|
| 10314 | 53,3885 | 0,0128 | 10,0742 |
| 8898 | 29,9120 | 0,0161 | 11,6907 |
| 7954 | 18,8708 | 0,0201 | 13,1317 |
| 7482 | 13,3143 | 0,0243 | 14,4132 |
| 6774 | 7,5164 | 0,0343 | 16,5563 |
| 6302 | 4,8078 | 0,0456 | 18,1768 |
| 6066 | 3,3026 | 0,0581 | 19,6441 |
| 6066 | 2,4789 | 0,0696 | 21,0261 |
| 5830 | 1,8986 | 0,0819 | 21,5886 |
| 5594 | 1,2176 | 0,1054 | 22,3494 |

Tabela B.12. Resultados numéricos para a placa P(4,3) com simetria.

| Número de elementos | h_s/t_s | w (mm) | σ_{vM} (MPa) |
|---------------------|-----------|--------|---------------------|
| 10564 | 48,6024 | 0,0114 | 10,8693 |
| 9144 | 27,2433 | 0,0142 | 12,6208 |
| 8292 | 17,1955 | 0,0177 | 14,2215 |
| 7724 | 12,1378 | 0,0215 | 15,4971 |
| 6872 | 6,8587 | 0,0303 | 17,5537 |
| 6588 | 4,3913 | 0,0404 | 19,5410 |
| 6304 | 3,0195 | 0,0515 | 21,0030 |
| 6020 | 2,2685 | 0,0617 | 21,7885 |
| 6020 | 1,7391 | 0,0726 | 22,9809 |
| 5736 | 1,1176 | 0,0935 | 23,8489 |

Tabela B.13. Resultados numéricos para a placa P(4,4) com simetria.

| Número de elementos | h_s/t_s | w (mm) | σ_{vM} (MPa) |
|---------------------|-----------|--------|---------------------|
| 10550 | 44,6038 | 0,0114 | 10,0198 |
| 9100 | 25,0118 | 0,0143 | 11,5160 |
| 8230 | 15,7935 | 0,0180 | 12,8728 |
| 7650 | 11,1524 | 0,0218 | 13,9428 |
| 7070 | 6,3068 | 0,0309 | 15,9907 |
| 6490 | 4,0412 | 0,0411 | 17,2820 |
| 6200 | 2,7811 | 0,0522 | 18,4509 |
| 6200 | 2,0909 | 0,0623 | 19,6495 |
| 5910 | 1,6043 | 0,0731 | 19,9866 |
| 5620 | 1,0327 | 0,0935 | 20,4619 |

Tabela B.14. Resultados numéricos para a placa P(4,5) com simetria.

| Número de elementos | h_s/t_s | w (mm) | σ_{vM} (MPa) |
|---------------------|-----------|--------|---------------------|
| 10080 | 91,7305 | 0,0085 | 8,0793 |
| 7752 | 41,2132 | 0,0107 | 9,6503 |
| 6624 | 23,1182 | 0,0137 | 11,0410 |
| 6060 | 14,6028 | 0,0173 | 12,3794 |
| 5496 | 10,3149 | 0,0211 | 13,2743 |
| 4932 | 5,8371 | 0,0301 | 14,9949 |
| 4650 | 3,7428 | 0,0402 | 16,4562 |
| 4368 | 2,5776 | 0,0511 | 17,4274 |
| 4368 | 1,9392 | 0,0610 | 18,5468 |
| 4368 | 1,4890 | 0,0715 | 19,4736 |

Tabela B.15. Resultados numéricos para a placa P(4,6) com simetria.

| Número de elementos | $h_{\scriptscriptstyle S}/t_{\scriptscriptstyle S}$ | w (mm) | σ_{vM} (MPa) |
|---------------------|---|--------|---------------------|
| 10446 | 85,2262 | 0,0084 | 7,7685 |
| 8325 | 38,3016 | 0,0107 | 9,2868 |
| 7416 | 21,4911 | 0,0139 | 10,7233 |
| 6507 | 13,5791 | 0,0177 | 11,7717 |
| 6204 | 9,5945 | 0,0217 | 12,8431 |
| 5598 | 5,4326 | 0,0311 | 14,4623 |
| 5295 | 3,4855 | 0,0415 | 15,8217 |
| 4992 | 2,4018 | 0,0526 | 16,6996 |
| 4992 | 1,8080 | 0,0626 | 17,7088 |
| 4689 | 1,3891 | 0,0730 | 17,7981 |

Tabela B.16. Resultados numéricos para a placa P(5,2) com simetria.

| Número de elementos | h_s/t_s | w (mm) | σ_{vM} (MPa) |
|---------------------|-----------|--------|---------------------|
| 10035 | 44,4975 | 0,0154 | 12,3992 |
| 8775 | 24,9320 | 0,0203 | 14,5916 |
| 7830 | 15,7299 | 0,0262 | 16,4598 |
| 7200 | 11,0988 | 0,0324 | 17,9144 |
| 6570 | 6,2663 | 0,0468 | 20,5838 |
| 5940 | 4,0087 | 0,0627 | 22,1832 |
| 5625 | 2,7539 | 0,0794 | 23,5162 |
| 5625 | 2,0673 | 0,0944 | 24,8011 |
| 5310 | 1,5835 | 0,1098 | 25,0016 |
| 4995 | 1,0158 | 0,1381 | 25,0874 |

Tabela B.17. Resultados numéricos para a placa P(5,3) com simetria.

| Número de elementos | h_s/t_s | w (mm) | σ_{vM} (MPa) |
|---------------------|-----------|--------|---------------------|
| 10218 | 91,6179 | 0,0103 | 10,5903 |
| 8034 | 41,1375 | 0,0135 | 13,0438 |
| 6786 | 23,0613 | 0,0178 | 15,1336 |
| 5850 | 14,5575 | 0,0230 | 16,7806 |
| 5538 | 10,2767 | 0,0285 | 18,3930 |
| 4914 | 5,8082 | 0,0411 | 20,7740 |
| 4602 | 3,7195 | 0,0551 | 22,6834 |
| 4290 | 2,5581 | 0,0698 | 23,8431 |
| 4290 | 1,9222 | 0,0830 | 25,1666 |
| 3978 | 1,4740 | 0,0966 | 25,1632 |

Tabela B.18. Resultados numéricos para a placa P(5,4) com simetria.

| Número de elementos | h_s/t_s | w (mm) | σ_{vM} (MPa) |
|---------------------|-----------|--------|---------------------|
| 10488 | 85,1484 | 0,0101 | 9,7187 |
| 8220 | 38,2493 | 0,0134 | 11,7955 |
| 6924 | 21,4518 | 0,0176 | 13,5273 |
| 6276 | 13,5477 | 0,0228 | 15,1665 |
| 5952 | 9,5680 | 0,0283 | 16,5729 |
| 5304 | 5,4125 | 0,0408 | 18,6475 |
| 4980 | 3,4693 | 0,0545 | 20,3094 |
| 4656 | 2,3883 | 0,0690 | 21,3090 |
| 4656 | 1,7962 | 0,0817 | 22,4345 |
| 4332 | 1,3786 | 0,0949 | 22,4099 |

Tabela B.19. Resultados numéricos para a placa P(5,5) com simetria.

| Número de elementos | h_s/t_s | w (mm) | σ_{vM} (MPa) |
|---------------------|-----------|--------|---------------------|
| 10062 | 79,5323 | 0,0095 | 9,5940 |
| 7956 | 35,7400 | 0,0126 | 11,6372 |
| 6552 | 20,0523 | 0,0168 | 13,2064 |
| 5820 | 12,6689 | 0,0219 | 14,6791 |
| 5499 | 8,9507 | 0,0273 | 15,9470 |
| 5148 | 5,0673 | 0,0396 | 18,2552 |
| 4797 | 3,2506 | 0,0529 | 19,8110 |
| 4446 | 2,2396 | 0,0668 | 20,7513 |
| 4095 | 1,6856 | 0,0790 | 20,9526 |
| 4095 | 1,2948 | 0,0916 | 21,8088 |

Tabela B.20. Resultados numéricos para a placa P(5,6) com simetria.

| Número de elementos | h_s/t_s | w (mm) | σ_{vM} (MPa) |
|---------------------|-----------|--------|---------------------|
| 10287 | 74,6112 | 0,0093 | 9,1071 |
| 8037 | 33,5397 | 0,0126 | 10,9454 |
| 6966 | 18,8242 | 0,0169 | 12,5487 |
| 6228 | 11,8972 | 0,0222 | 13,9167 |
| 5859 | 8,4083 | 0,0276 | 15,0903 |
| 5121 | 4,7634 | 0,0400 | 16,7329 |
| 4752 | 3,0578 | 0,0533 | 18,0231 |
| 4752 | 2,1083 | 0,0672 | 19,4548 |
| 4383 | 1,5879 | 0,0793 | 19,6229 |
| 4383 | 1,2206 | 0,0916 | 20,3435 |

Tabela B.21. Resultados numéricos para a placa P(6,2) com simetria.

| Número de elementos | h_s/t_s | w (mm) | σ_{vM} (MPa) |
|---------------------|-----------|--------|---------------------|
| 10290 | 84,9932 | 0,0132 | 11,8790 |
| 8232 | 38,1450 | 0,0193 | 14,7832 |
| 7056 | 21,3735 | 0,0263 | 17,2597 |
| 6174 | 13,4853 | 0,0345 | 19,1979 |
| 5880 | 9,5155 | 0,0430 | 21,0428 |
| 5292 | 5,3728 | 0,0623 | 23,6512 |
| 4998 | 3,4373 | 0,0826 | 25,5800 |
| 4704 | 2,3616 | 0,1033 | 26,5702 |
| 4704 | 1,7729 | 0,1210 | 27,6668 |
| 4410 | 1,3581 | 0,1388 | 27,3286 |

Tabela B.22. Resultados numéricos para a placa P(6,3) com simetria.

| Número de elementos | h_s/t_s | w (mm) | σ_{vM} (MPa) |
|---------------------|-----------|--------|---------------------|
| 10374 | 79,4138 | 0,0122 | 12,7369 |
| 8064 | 35,6603 | 0,0170 | 15,6870 |
| 7074 | 19,9924 | 0,0230 | 18,3539 |
| 6414 | 12,6212 | 0,0301 | 20,6004 |
| 5754 | 8,9104 | 0,0376 | 21,9570 |
| 5424 | 5,0368 | 0,0543 | 25,0762 |
| 5094 | 3,2260 | 0,0721 | 27,0125 |
| 4764 | 2,2190 | 0,0903 | 28,0096 |
| 4764 | 1,6677 | 0,1060 | 29,1784 |
| 4434 | 1,2790 | 0,1218 | 28,8623 |

Tabela B.23. Resultados numéricos para a placa P(6,4) com simetria.

| Número de elementos | h_s/t_s | w (mm) | σ_{vM} (MPa) |
|---------------------|-----------|--------|---------------------|
| 10350 | 74,5218 | 0,0120 | 11,4844 |
| 7977 | 33,4795 | 0,0166 | 13,9040 |
| 6960 | 18,7789 | 0,0225 | 16,0885 |
| 6282 | 11,8611 | 0,0296 | 17,9159 |
| 5943 | 8,3778 | 0,0368 | 19,4488 |
| 5265 | 4,7403 | 0,0532 | 21,4985 |
| 4926 | 3,0391 | 0,0704 | 23,0124 |
| 4926 | 2,0927 | 0,0878 | 24,6614 |
| 4587 | 1,5742 | 0,1029 | 24,6673 |
| 4587 | 1,2085 | 0,1180 | 25,3751 |

Tabela B.24. Resultados numéricos para a placa P(6,5) com simetria.

| Número de elementos | h_s/t_s | w (mm) | σ_{vM} (MPa) |
|---------------------|-----------|--------|---------------------|
| 10044 | 70,1976 | 0,0112 | 11,2828 |
| 7830 | 31,5501 | 0,0156 | 13,6294 |
| 6723 | 17,7043 | 0,0213 | 15,6021 |
| 6354 | 11,1874 | 0,0281 | 17,6207 |
| 5985 | 7,9052 | 0,0351 | 19,0626 |
| 5247 | 4,4768 | 0,0508 | 20,9817 |
| 4878 | 2,8728 | 0,0673 | 22,3995 |
| 4878 | 1,9800 | 0,0839 | 23,9679 |
| 4509 | 1,4907 | 0,0982 | 23,9729 |
| 4509 | 1,1455 | 0,1125 | 24,6821 |

Tabela B.25. Resultados numéricos para a placa P(6,6) com simetria.

| Número de elementos | h_s/t_s | w (mm) | σ_{vM} (MPa) |
|---------------------|-----------|--------|---------------------|
| 10332 | 66,3476 | 0,0110 | 10,7066 |
| 8064 | 29,8309 | 0,0155 | 12,8262 |
| 6930 | 16,7460 | 0,0213 | 14,6665 |
| 6552 | 10,5860 | 0,0282 | 16,5167 |
| 5796 | 7,4831 | 0,0352 | 17,3899 |
| 5418 | 4,2411 | 0,0508 | 19,5868 |
| 5040 | 2,7236 | 0,0670 | 20,8624 |
| 5040 | 1,8787 | 0,0833 | 22,2366 |
| 4662 | 1,4156 | 0,0972 | 22,2266 |
| 4662 | 1,0886 | 0,1110 | 22,8035 |